

## **Búsqueda de nuevos fármacos contra la enfermedad de Huntington activos en dianas distintas a HTT.**

**Jorge Leal Cruz**

Máster en Bioinformática y Bioestadística  
Bioinformática farmacéutica

Tutor: Melchor Sanchez-Martinez

Profesor responsable de la asignatura: Marc Maceira Duch

05/01/2021



Esta obra está sujeta a una licencia de  
Reconocimiento-NoComercial-  
SinObraDerivada [3.0 España de Creative  
Commons](#)

## FICHA DEL TRABAJO FINAL

<b>Título del trabajo:</b>	<i>Búsqueda de nuevos fármacos contra la enfermedad de Huntington activos en dianas distintas a HTT.</i>
<b>Nombre del autor:</b>	<i>Jorge Leal Cruz</i>
<b>Nombre del consultor/a:</b>	<b><i>Melchor Sanchez-Martinez</i></b>
<b>Nombre del PRA:</b>	<b><i>Marc Maceira Duch</i></b>
<b>Fecha de entrega (mm/aaaa):</b>	<i>01/2021</i>
<b>Titulación::</b>	<i>Máster Bioinformatica y bioestadística</i>
<b>Área del Trabajo Final:</b>	<i>Bioinformatica Farmacéutica</i>
<b>Idioma del trabajo:</b>	<i>Español</i>
<b>Palabras clave</b>	<i>“Huntington”, “Cribado virtual”, “Farmacocinética”</i>

**Resumen del Trabajo (máximo 250 palabras):** *Con la finalidad, contexto de aplicación, metodología, resultados y conclusiones del trabajo.*

La enfermedad de Huntington es una enfermedad neurodegenerativa grave, para la cual no existe cura. Es una enfermedad genética que tiene su origen en el gen de la huntingtina.

Este trabajo tiene como finalidad encontrar moléculas que puedan ser utilizadas para el tratamiento de la enfermedad. En concreto, se busca moléculas que sirvan como inhibidores en proteínas relacionadas con la enfermedad de Huntington distintos a la Huntingtina.

Para ello se buscaron una serie de proteínas que tengan estudios que demuestren la relación con la enfermedad, creándose bases de datos a partir de inhibidores descritos para estas proteínas. Las proteínas elegidas fueron PDE10A y MAOA.

Posteriormente, se realiza un cribado virtual, para comprobar si se unen eficientemente a las proteínas diana.

Por último se analizaron las propiedades farmacocinéticas y la toxicidad de las moléculas seleccionadas, con el fin de cribar aquellas que puedan ser utilizadas como fármaco.

Gracias al trabajo realizado se han conseguido un total de 18 candidatos con mejores propiedades que los inhibidores conocidos para su estudio como fármaco para la enfermedad de Huntington,

**Abstract (in English, 250 words or less):**

Huntington's disease is a serious neurodegenerative disease, for which there is no cure. It is a genetic disease that has its origin in the huntingtin gene.

This work aims to find molecules that can be used to treat the disease. Specifically, we are looking for molecules that serve as inhibitors of proteins related to Huntington's disease other than Huntingtin.

To do this, a series of proteins that have studies that demonstrate the relationship with the disease were searched, creating databases from the inhibitors described for these proteins. The chosen proteins were PDE10A and MAOA.

Subsequently, a Cribado virtual is carried out, to check if they bind efficiently to the target proteins.

Finally, the pharmacokinetic properties and toxicity of the selected molecules were analyzed in order to screen those that can be used as a drug.

Thanks to the work carried out, a total of 18 candidates with better properties than known inhibitors have been obtained for their study as a drug for Huntington's disease,

## Índice

1. Introducción .....	1
1.1 Contexto y justificación del Trabajo .....	1
1.2 Objetivos del Trabajo .....	2
1.3 Enfoque y método seguido .....	2
1.4 Planificación del Trabajo .....	2
1.5 Breve sumario de productos obtenidos .....	3
1.6 Breve descripción de los otros capítulos de la memoria .....	4
2. Antecedentes bibliográficos.....	5
<b>Genética de la Enfermedad de Huntington</b> .....	5
<b>PDE10A</b> .....	5
<b>MAOA</b> .....	6
3. Materiales y métodos .....	7
3.1 Búsqueda de estructuras 3D .....	7
3.2 Análisis de las interacciones proteína-molécula.....	7
3.3 Creación de bases de datos.....	8
3.4 Cribado virtual .....	9
3.5 Análisis de la toxicidad de las moléculas .....	11
3.6 Análisis de las propiedades farmacocinéticas .....	12
4. Discusión de resultados .....	15
<b>4.1. - Obtener las estructuras de las proteínas:</b> .....	15
4.1.1.- Obtener la estructura de la proteína PDE10A.....	15
4.1.2.- Obtener la estructura de la proteína MAOA.....	15
<b>4.2.- Obtener las moléculas que se unan a las diversas proteínas:</b> .....	16
4.2.1.- Analizar cavidades en las estructuras proteicas.....	16
4.2.2.- Realizar cribado virtual con las cavidades encontradas.....	18
<b>4.3.- Analizar las propiedades de las moléculas obtenidas:</b> .....	27
4.3.1.- Analizar la toxicidad de las moléculas .....	28
4.3.2.- Analizar las propiedades farmacocinéticas de las moléculas .....	34
5. Conclusiones .....	48
6. Glosario .....	51
7. Bibliografía .....	52
8. Anexos .....	55

## **Lista de figuras**

- Figura 1: Posición del gen HTT en el cromosoma 4.
- Figura 2: Calendario con la planificación temporal.
- Figura 3: Posición del Gen PDE10A.<sup>13</sup>
- Figura 4: Posición del gen MAOA
- Figura 5: Web de RCSB PDB.
- Figura 6: Web de PLIP.
- Figura 7: Web de SwissSimilarity
- Figura 8: Interfaz del programa OpenBabel
- Figura 9: Base de datos en DataWarrior
- Figura 10: Web de MtOpenScreen.
- Figura 11: Interfaz del programa VEGA.
- Figura 12: Web de pkCSM.
- Figura 13: Estructura 3D 3WYM de la proteína PDE10A
- Figura 14: Estructura 3D 2BXR de la proteína MAOA
- Figura 15: Representación de las interacciones en PDE10A
- Figura 16: Representación de las interacciones en MAOA

## **Lista de tablas**

- Tabla 1: Interacciones en la proteína PDE10A.  
Tabla 2: Interacciones en la proteína MAOA.  
Tabla 3: Cantidad de entradas en cada paso de la creación de las bases de datos  
Tabla 4: Parámetros introducidos en el cribado virtual.  
Tabla 5: Mejores resultados base de datos Papaverine  
Tabla 6: Mejores resultados base de datos Mardepodect  
Tabla 7: Mejores resultados base de datos Balipodect  
Tabla 8: Mejores resultados base de datos AMG579  
Tabla 9: Mejores resultados base de datos Brofaramine  
Tabla 10: Mejores resultados base de datos Clorgyline  
Tabla 11: Mejores resultados base de datos Procarbazine  
Tabla 12: Interacciones ZINC00629173  
Tabla 13: Interacciones ZINC02824188  
Tabla 14: Resultados Test de toxicidad Pavaperine  
Tabla 15: Resultados Test de toxicidad Mardepodect  
Tabla 16: Resultados Test de toxicidad Balipodect  
Tabla 17: Resultados Test de toxicidad AMG579  
Tabla 18: Resultados Test de toxicidad Brofaramine  
Tabla 19: Resultados Test de toxicidad Clorgyline  
Tabla 20: Resultados Test de toxicidad Procarbazine  
Tabla 21: Moléculas seleccionadas tras el test de toxicidad  
Tabla 22: Resultados Test de AEDMET Papaverine  
Tabla 23: Resultados Test de AEDMET Mardepodect  
Tabla 24: Moléculas seleccionadas similares a Mardepodect  
Tabla 25: Resultados Test de AEDMET Balipodect  
Tabla 26: Moléculas seleccionadas similares a Balipodect  
Tabla 27: Resultados Test de AEDMET AMG579  
Tabla 28: Moléculas seleccionadas similares a AMG579  
Tabla 29: Resultados Test de AEDMET Brofaramine  
Tabla 30: Resultados Test de AED Clorgyline  
Tabla 31: Resultados Test de AEDMET Procarbazine  
Tabla 32: Moléculas seleccionadas similares a Procarbazine

# 1. Introducción

## 1.1 Contexto y justificación del Trabajo

La enfermedad de Huntington (EH) es una enfermedad neurodegenerativa grave, de carácter hereditario. Esta enfermedad se caracteriza principalmente por la aparición de movimientos incontrolados, así como problemas psiquiátricos como la demencia.

Esta enfermedad está provocada por la mutación del gen de la huntingtina (HTT o IT15) que se encuentra localizado en la posición 4p16.3 del cromosoma 4. Esta mutación en particular es la repetición del triplete CAG. Las personas que sufren EH presentan en este gen entre 36 y más de 100 repeticiones. A mayor número de repeticiones la probabilidad de sufrir esta enfermedad aumenta, así como de sufrirla a una edad más temprana.<sup>1</sup>



Figura 1: Posición del gen HTT en el cromosoma 4.<sup>2</sup>

La enfermedad comienza con síntomas muy leves, con movimientos erráticos, falta de memoria o problemas psicológicos. La enfermedad provoca la degeneración de las neuronas de los ganglios basales en primera instancia y posteriormente a la materia blanca, cortex cerebral e hipotálamo, agravándose los síntomas según avanza la enfermedad. Sin embargo, los pacientes no suelen morir debido a EH, sino a complicaciones derivadas de ella, tanto por los síntomas físicos como psíquicos.<sup>3</sup>

En la actualidad, la EH no tiene cura, y los pacientes que la sufren son tratados únicamente con medicamentos que solucionan los síntomas sufridos, con el fin de mejorar la calidad de vida del paciente. Por eso, encontrar una cura para esta enfermedad es de gran importancia. Al tratarse de una enfermedad genética, es lógico pensar que la solución a esta enfermedad puede encontrarse utilizando la terapia genética.<sup>1</sup>

Debido a que la enfermedad tiene su origen en este gen, el mayor número de estudios actualmente se centra en la modificación, inactivación o reducción del gen HTT. Pero, aunque esta enfermedad se deba a la mutación en el gen HTT, muchos más genes y proteínas se ven implicados en su desarrollo, por lo que el uso de terapias dirigidas contra otras dianas distintas a HTT es otro campo prometedor.<sup>4</sup>

Por ello en este trabajo nos centraremos en buscar fármacos que tengan como diana proteínas distintas a la Huntingtina y que influyan positivamente en la regulación de la enfermedad.

## **1.2 Objetivos del Trabajo**

### **1.- Obtener las estructuras de las proteínas:**

- 1.1.- Obtener la estructura de la proteína PDE10A
- 1.2.- Obtener la estructura de la proteína MAOA.

### **2.- Obtener las moléculas que se unan a las diversas proteínas:**

- 2.1.- Analizar cavidades en las estructuras proteicas.
- 2.2.- Realizar cribado virtual con las cavidades encontradas.

### **3.- Analizar las propiedades de las moléculas obtenidas:**

- 3.1.- Analizar la toxicidad de las moléculas.
- 3.2.- Analizar las propiedades farmacocinéticas de las moléculas.

## **1.3 Enfoque y método seguido**

En primer lugar se deben obtener las estructuras de las proteínas elegidas. Para ello se buscara en bases de datos de estructuras de proteínas como RSCPDB<sup>5</sup> o PDBEurope<sup>6</sup>. Se buscara a ser posible las estructuras con una mayor resolución y más completas.

Con la estructura de la proteína y conociendo la cavidad objetivo, se necesita seleccionar las moléculas pequeñas que se van a utilizar en el estudio. Si ya se dispone de inhibidores previamente descritos para las proteínas seleccionadas se buscaran moléculas similares con programas como Swiss similarity<sup>7</sup>. Gracias a esto se podrán crear bases de datos de un tamaño considerable que utilizar en los pasos posteriores.

Se analizara la interacción proteína-molécula utilizando MtiOpenScreen<sup>8</sup>. Tras este cribado virtual, los mejores candidatos de entre todas las moléculas utilizadas serán seleccionados.

Posteriormente se realizarán diversos test de toxicidad, con el fin de detectar su idoneidad y evitar el uso de sustancias carcinogénicas o toxicas. Para ello contamos con programas como Vega<sup>9</sup>.

Por último, se analizarían las propiedades farmacocinéticas de las moléculas utilizando pkCSM.<sup>10</sup>

De esta forma, se obtendrán una serie de moléculas candidatas para ser utilizadas para el tratamiento de la EH.

## **1.4 Planificación del Trabajo**

- 1.- Obtener las estructuras de las proteínas: 13/10/2020-19/10/2020
- 2.- Analizar cavidades en las estructuras proteicas: 20/10/2020-2/11/2020
- 3.- Realizar cribado virtual con las cavidades encontradas: 3/11/2020-11/12/2020
- 4.- Analizar la toxicidad de las moléculas: 17/11/2020-14/12/2020

- 5.- Analizar las propiedades farmacocinéticas de las moléculas:  
12/11/2020-14/12/2020  
 6.- Elaboración de la memoria: 15/12/2020-5/01/2021  
 7.- Elaboración de la presentación: 6/01/2021-8/01/2021

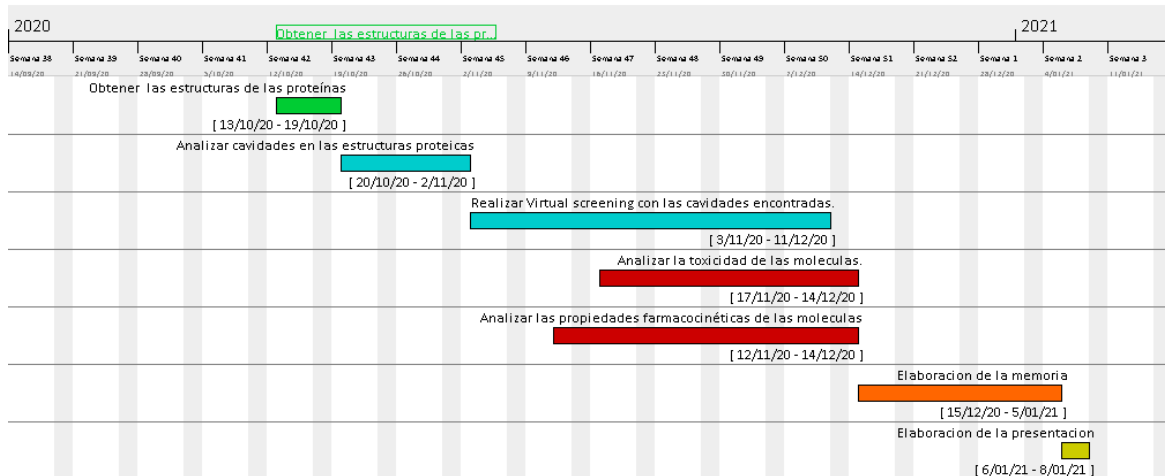


Figura 2: Calendario con la planificación temporal.

## 1.5 Breve sumario de productos obtenidos

### Memoria TFM

Bases de datos con estructuras 3D en formato sdf para el virtual cribado virtual:

- amgconf.sdf
- balidopectconf.sdf
- basededatosbrofarominebuena2.sdf
- basededatosbuenaMLG.sdf
- baseprocarbazinebuena2.sdf
- madepodectconfor.sdf
- papaverineconfor.sdf

### Resultados docking:

- AMG
- Balidopect
- Brofaramine
- Madecopect
- MLG
- Papaverine
- Procarbazine

### Resultados PLIP:

- AMG
- Balidopect
- Brofaramine
- Madecopect
- MLG

- Papaverine
- Procarbazine

Tablas de resultados de análisis ADMET

Estos datos pueden encontrarse en :

<https://drive.google.com/drive/folders/1Y5xN257K-ymnEslT8ce20JAKYOQ2OC1W?usp=sharing>

## **1.6 Breve descripción de los otros capítulos de la memoria**

- **Capítulo 2: Antecedentes bibliográficos**

Recopilación bibliográfica utilizada como base para el trabajo realizado.

- **Capítulo 3: Materiales y métodos**

Descripción de las técnicas utilizadas para llevar a cabo el trabajo

- **Capítulo 4: Discusión de resultados**

Descripción de los resultados obtenidos.

- **Capítulo 5: Conclusión**

- **Capítulo 6: Glosario**

- **Capítulo 7: Bibliografía**

- **Capítulo 8: Anexos**

## 2. Antecedentes bibliográficos

### Genética de la Enfermedad de Huntington

Debido a que la enfermedad tiene su origen en este gen, el mayor número de estudios actualmente se centra en la modificación, inactivación o reducción del gen HTT. Pero, aunque esta enfermedad se deba a la mutación en el gen HTT, muchos más genes y proteínas se ven implicados en su desarrollo, por lo que el uso de terapias dirigidas contra otras dianas distintas a HTT es otro campo muy prometedor.<sup>11</sup>

Algunos de los genes que participan de una u otra manera en la regulación de la EH también forman parte de sistemas de regulación de otras enfermedades neurodegenerativas como Parkinson y Alzheimer. En el artículo de Kawsar y colaboradores<sup>12</sup> se identifican 37 genes comunes a estas tres enfermedades. Por lo tanto, se decidió tomar como punto de partida estos genes, ya que la regulación de estos puede ser importante para la EH, sino para otras enfermedades neurodegenerativas.

En este trabajo se decidió utilizar los genes MAOA y PDE10A, responsables de las proteínas homónimas.

### PDE10A

El gen PDE10A se encuentra en el cromosoma 6 en la posición chr6:165,327,287-165,988,11(GRCh38/hg38) y es la responsable de la regulación de la proteína cAMP and cAMP-inhibited cGMP 3',5'-cyclic phosphodiesterase 10(PDE10A).

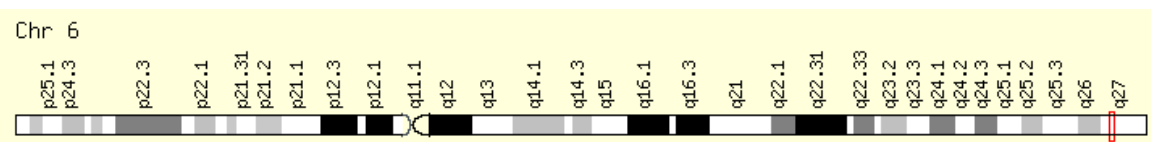


Figura 3: Posicion del Gen PDE10A.<sup>13</sup>

En estudios realizados por Giampà y colaboradores se demostró la relación entre la inhibición de la proteína PDE10A disminuía la gravedad de ciertos síntomas de la EH,<sup>14,15</sup> por lo que la utilización de esta proteína como diana de los tratamientos podría ser una buena idea.

Adicionalmente, se ha comprobado que se puede detectar un aumento de los niveles de esta proteína en los estadios previos a la aparición de los síntomas de la enfermedad,<sup>16</sup> lo que puede ser de ayuda para un diagnóstico temprano de la enfermedad y un tratamiento rápido.

Estudios realizados por Pfizer utilizando un inhibidor de esta proteína (Mardepodect) como fármaco para el tratamiento de la EH.<sup>17</sup> A pesar de que los estudios llegaron a la fase 2 de los estudios clínicos, finalmente fue abandonado por la falta de eficacia del inhibidor, ya que no se distinguían sus

resultados con respecto a los placebos. Sin embargo, los estudios previos presentaban resultados esperanzadores, por lo que la utilización de este tipo de inhibidores no queda descartada como fármacos para EH.

El uso del inhibidor Papaverine ha demostrado también la mejora de la memoria en modelos de ratón afectados por Huntington.<sup>18</sup>

Así mismo, el inhibidor Balipodect protege frente a la neurodegeneración y otros síntomas de esta enfermedad.<sup>18</sup>

Respecto al último de los inhibidores de PDE10A utilizados en este trabajo, AMG579,<sup>19</sup> no existen estudios de su actividad frente a Huntington, pero es un inhibidor muy potente de la proteína y por tanto un buen candidato para ser utilizado como fármaco.

## MAOA

El gen MAOA se encuentra en el cromosoma X en la posición chrX:43,654,907-43,746,824 (GRCh38/hg38) y es el responsable de la regulación de la proteína Monoamino monooxidasa A (MAOA o MAO-A).

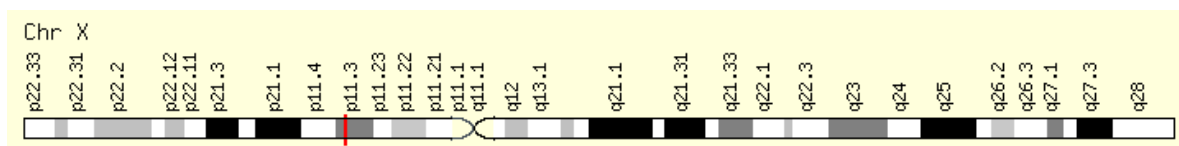


Figura 4: Posición del gen MAOA

La MAOA es una Flavoenzima cuya función es la degradación de neurotransmisores, como la dopamina y serotonina. Comparte un 70% de su estructura con la proteína MAOB, siendo las principales diferencias una cavidad más grande (unos 550 Armstrong) y una cola helicoidal que le permite unirse a la membrana mitocondrial.<sup>20</sup> Tal y como indica su clasificación como Flavoproteína, en su estructura se encuentra una molécula de FAD.

Esta proteína se encuentra sobreexpresada en ciertas enfermedades neurodegenerativas como el Parkinson.<sup>21</sup>

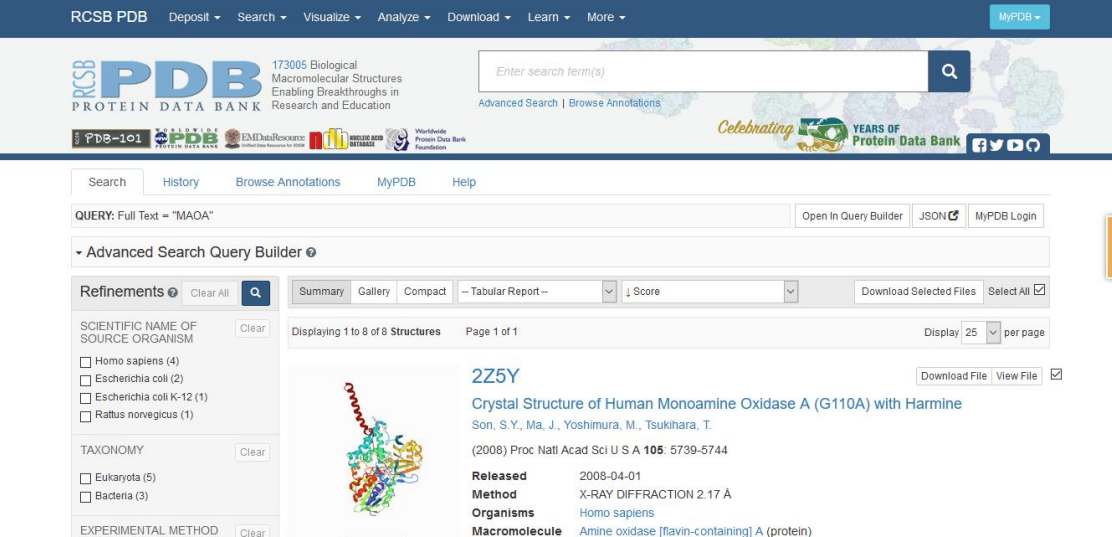
El uso de inhibidores de la proteína MAOA ha demostrado reducir la muerte neuronal producida por la enfermedad de Huntington<sup>22</sup>, así como la reducción de la enfermedad en modelos de ratón.<sup>23</sup>

Los inhibidores de MAOA Brofaromine y Procarbazine no tienen estudios relacionados con la EH, sin embargo, el inhibidor conocido como Clorgiline si ha demostrado ser efectivo en ratones.<sup>23</sup>

### 3. Materiales y métodos

#### 3.1 Búsqueda de estructuras 3D

Se utilizaron las páginas de la RCSB<sup>5</sup> y PDBEurope<sup>6</sup> para encontrar las estructuras tridimensionales de las proteínas PDE10A y MAOA.



The screenshot shows the RCSB PDB homepage with a search bar containing "MAOA". Below the search bar, a list of 8 structures is displayed, starting with entry 2Z5Y. The entry details are as follows:

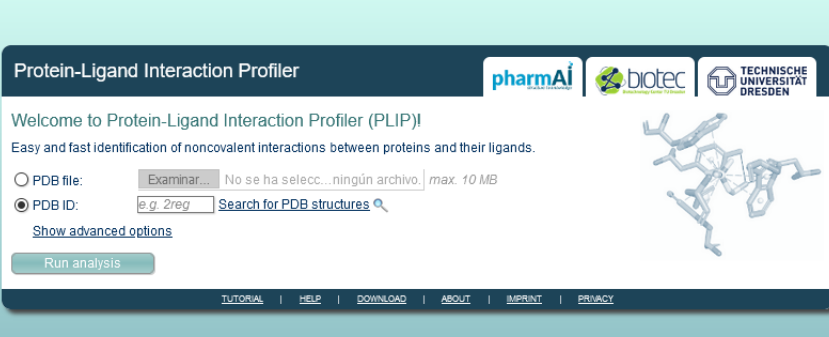
- 2Z5Y**
- Crystal Structure of Human Monoamine Oxidase A (G110A) with Harmine**
- Son, S.Y., Ma, J., Yoshimura, M., Tsukihara, T.
- (2008) Proc Natl Acad Sci U S A **105**: 5739-5744
- Released**: 2008-04-01
- Method**: X-RAY DIFFRACTION 2.17 Å
- Organisms**: Homo sapiens
- Macromolecule**: Amine oxidase [flavin-containing] A (protein)

Figura 5: Web de RCSB PDB.

Se seleccionaron las estructuras con una mejor resolución y, de ser posible, aquellas en las que encontramos un inhibidor conocido para ellas.

#### 3.2 Análisis de las interacciones proteína-molécula

Con el fin de analizar las interacciones presentes entre las proteínas y las distintas moléculas, tanto inhibidores conocidos en las estructuras 3D como los resultados del docking, se utilizó el programa Protein-Ligand Interaction Profiler (PLIP).<sup>24</sup> Se utilizaron tanto el programa en su versión web<sup>25</sup> como la versión instalable en Ubuntu.



The screenshot shows the PLIP web interface. It features a header with logos for pharmAI, biotec, and TECHNISCHE UNIVERSITÄT DRESDEN. The main area displays a 3D molecular model of a protein-ligand complex. Below the model, there are two input fields: "PDB file:" and "PDB ID:". The "PDB file:" field has a "Examinar..." button and a note "No se ha seleccionado ningún archivo. max. 10 MB". The "PDB ID:" field has a "e.g. 2reg" placeholder and a "Search for PDB structures" button. At the bottom of the interface are links for "TUTORIAL", "HELP", "DOWNLOAD", "ABOUT", "IMPRINT", and "PRIVACY".

Figura 6: Web de PLIP.

Para ellos se utilizó la estructura en formato pdb, conteniendo tanto la proteína como la molécula.

Tras finalizar el análisis se obtiene un archivo de texto con las interacciones presentes en la estructura, separados en función del tipo de interacción (enlaces de hidrógeno, interacciones hidrofóbicas,...).

### 3.3 Creación de bases de datos.

Para la creación de bases de datos de pequeñas moléculas para la realización del cribado virtual se partió de los inhibidores conocidos de las proteínas estudiadas.

Utilizando la web SwissSimilarity<sup>26</sup> se buscaron pequeñas moléculas similares a los inhibidores descritos. Para ello se utilizó el código SMILES, buscando en las 31 bases de datos disponibles en la plataforma. En el caso de encontrar moléculas similares se descargaron los resultados en formato .csv.

The screenshot shows the SwissSimilarity website interface. At the top, there is a logo for SIB (Swiss Institute of Bioinformatics) and the title "SwissSimilarity". Below the title, there is a brief description of the tool's purpose: "This website allows you to perform ligand-based virtual screening of several libraries of small molecules, using different approaches." and a citation: "If you use this web tool, please, cite the following paper: Zoete, V., Daina, A., Bovigny, C., & Michelin, O. SwissSimilarity: A Web Tool for Low to Ultra High Throughput Ligand-Based Virtual Screening. J. Chem. Inf. Model., 2016, 56(6), 1399-1404." The main interface consists of three main sections: "Choose a reference small molecule" (with a text input field for SMILES and a Marvin JS editor), "Choose a method and a library to screen" (with a dropdown menu for screening methods), and "Perform the screening" (with a "Submit" button). Below these sections, a note says "(Provide a SMILES before submitting)". At the bottom, there is a table titled "Drugs" showing the count of molecules for different categories: Approved (1'516), Experimental (4'788), Investigational (504), and Withdrawn (161). The table includes columns for "# Combined", "Align-IT", "FP2 fingerprints", "Electroshape", "Spectrophores", and "Shape-IT".

Figura 7: Web de SwissSimilarity

Las moléculas encontradas se combinaron en un único archivo. Debido a la posibilidad de que encontramos la misma molécula en distintas bases de datos, se tradujeron los códigos SMILES a Inchikey, mediante el programa OpenBabel<sup>26</sup>, eliminando posteriormente los duplicados. Se seleccionaron entre todas las moléculas aquellas con una similitud de 0.6 o superior.

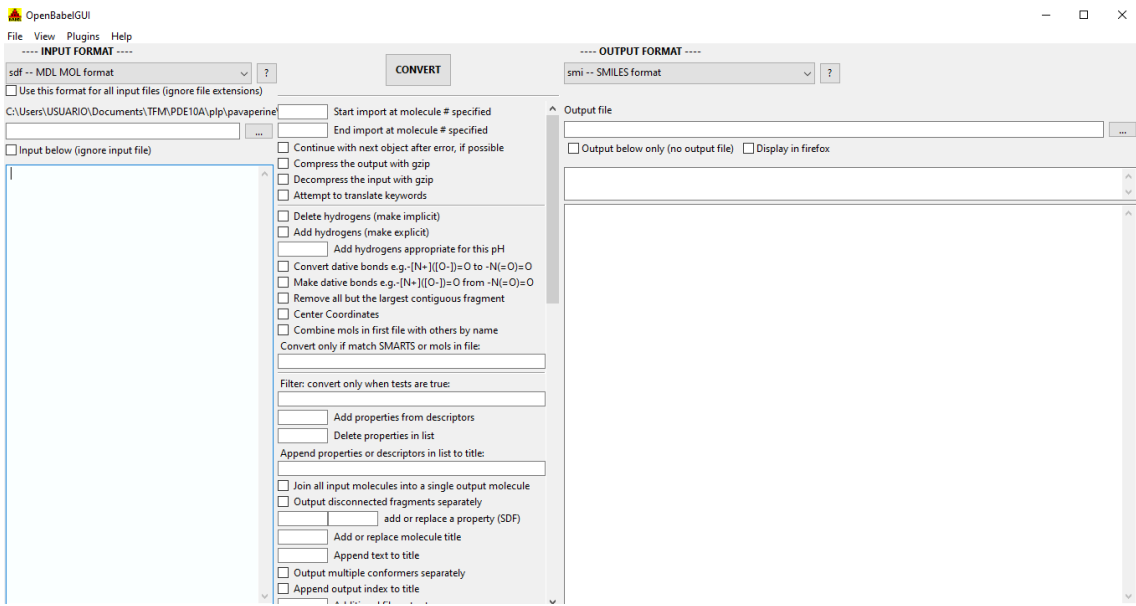


Figura 8: Interfaz del programa OpenBabel

Se creó un archivo csv con los códigos de las moléculas y su SMILE. Utilizando el programa Data Warrior<sup>26</sup> se generaron las estructuras 3D de las moléculas, utilizando para ello la función Generate Conformers. Las propiedades utilizadas fueron las siguientes:

Algoritmo: Random, low Energy bias

Torsiones iniciales: From crystallographic database

Minimizar energía: MMFF94s+ forcefield

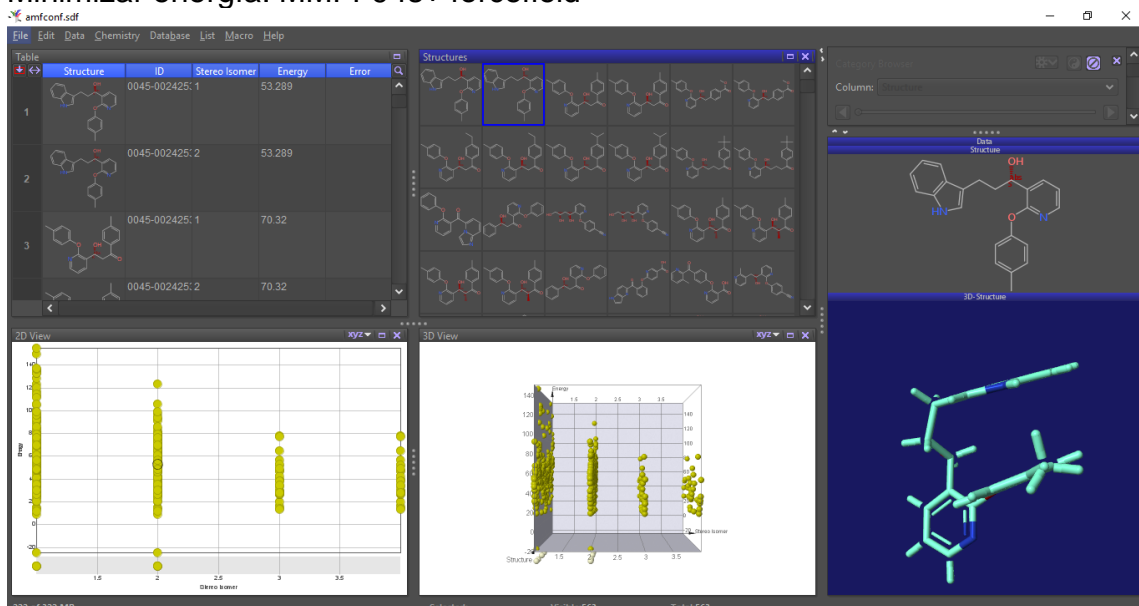


Figura 9: Base de datos en DataWarrior

La base de datos resultante se guardo en formato sdf.

### 3.4 Cribado virtual

Para la realización del cribado virtual se utilizo la web MtiOpenScreen<sup>8</sup>. Esta web nos permite utilizar Autodock Vina<sup>27</sup> de manera rápida y sencilla, pudiendo

realizar los cálculos utilizando bases de datos de pequeñas moléculas tanto propias como generadas por el usuario.

Figura 10: Web de MtOpenScreen.

En este caso, utilizamos la estructura 3D de la proteína en formato pdb, eliminando previamente el inhibidor presente en ella y los disolventes en el caso de que se encuentren en la estructura.

Las bases de datos de pequeñas moléculas se introdujeron en formato sdf.

Para los parámetros de la caja se selecciono la opción Custom parameters, que nos permite introducir las coordenadas del sitio de unión y sus dimensiones, con el fin de los cálculos se realicen específicamente en esa zona.

Para la obtención de estos parámetros, se extrajo el inhibidor de la estructura 3D, guardándolo en formato pdb. A partir del siguiente script de python, se obtiene un archivo de texto con los datos deseados. En el caso de las dimensiones, al solo poder utilizarse números enteros, se redondearon.

```
import sys, os

##Usage  python get_center_size.py pdb_file.pdb

def get_coordinates(p):
    reader=open(p, 'r')
    coordinates=[[[],[],[]]]
    for line in reader:
        #print(line)
        if line.startswith('ATOM') or line.startswith('HETATM'):
            line=line.split()
            coordinates[0].append(float(line[5]))#6 dependiendo del PDB es posicion 6 en lugar de 5
            coordinates[1].append(float(line[6]))#7 dependiendo del PDB es posicion 7 en lugar de 6
```

```

coordinates[2].append(float(line[7]))#8 dependiendo del PDB es
posicion 8 en lugar de 7
reader.close()
return coordinates

def get_box_center_and_box_size(coords):
    """
    Returns the cavity
    """

    xs = coords[0]
    ys = coords[1]
    zs = coords[2]
    bc = [(min(xs)+(max(xs))/2, ((min(ys)+(max(ys))/2,
((min(zs)+(max(zs))/2)
bs = [((max(xs))-(min(xs))), ((max(ys))-(min(ys))), ((max(zs))-(min(zs)))]

    x = [bc[0]-bs[0]/2, bc[0]+bs[0]/2]
    y = [bc[1]-bs[1]/2, bc[1]+bs[1]/2]
    z = [bc[2]-bs[2]/2, bc[2]+bs[2]/2]

    return bs, bc

pdb=sys.argv[1]
coordinates=get_coordinates(p)
grid_center,grid_size=get_box_center_and_box_size(coordinates)

with open('./grid_center_and_size', 'w')as fw:
    fw.write('Grid center:', + grid_center+'\n')
    fw.write('Grid size:', + grid_size+'\n')
fw.close()

```

Una vez terminado el cribado virtual se descargaron los resultados. Los resultados contienen tanto una lista de los compuestos de la base de datos en función de la energía de unión con la proteína ( a menor energía, más estable) como la estructura de la pequeña molécula en formato pdb, pudiendo visualizar donde se une las proteínas.

### **3.5 Análisis de la toxicidad de las moléculas**

El análisis de la toxicidad de las moléculas elegidas se realizó utilizando el paquete VEGA,<sup>9</sup> utilizando modelos QSAR. Este programa tiene a su disposición una gran cantidad de test para analizar diversas propiedades físico-químicas, medioambientales, toxicidad ecológica o toxicológica.

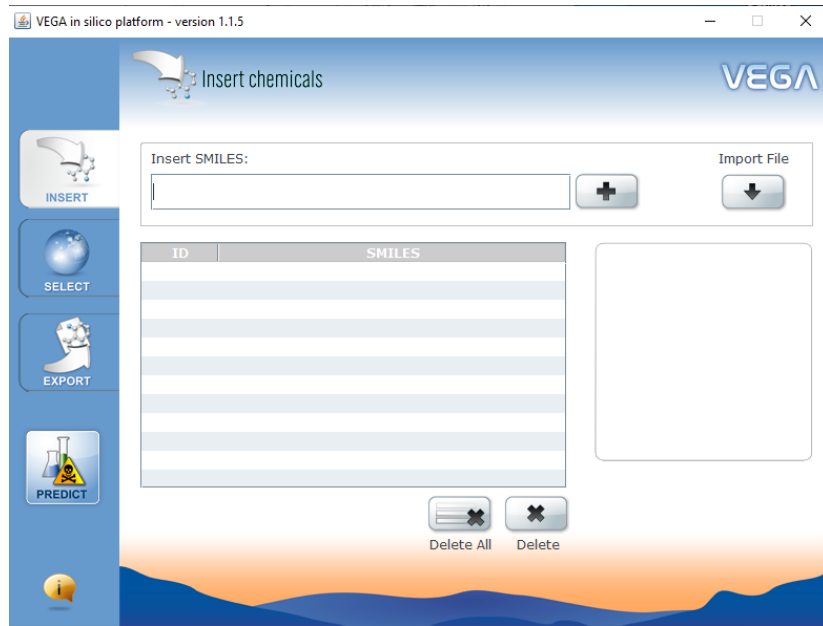


Figura 11: Interfaz del programa VEGA.

A partir de los resultados del cribado virtual, se seleccionaron las 25 mejores moléculas de cada base de datos, realizando los test para predecir su toxicidad.

Entre la multitud de test disponibles, se eligieron un test de mutagenicidad, carcinogénesis y hepatotoxicidad, más concretamente:

- Mutagenicity (Ames test) CONSENSUS model 1.0.3
- Carcinogenicity model (CAESAR) 2.1.9
- Hepatotoxicity model (IRFMN) 1.0.0

Para realizar el análisis se introducen los códigos SMILES de las moléculas elegidas. Los resultados de los test se compararon con los resultados de los inhibidores conocidos para las proteínas diana.

### 3.6 Análisis de las propiedades farmacocinéticas

Para finalizar, se analizaron las propiedades de las moléculas elegidas con anterioridad, utilizando el programa web pkCSM<sup>28</sup>.

The screenshot shows the pkCSM web interface. At the top, there's a navigation bar with links to Theory, Help, Contact, Acknowledgements, Related Resources, and License. Below the navigation bar is a title "Pharmacokinetic properties". On the left, there's a flowchart illustrating the process: "Input Molecule" leads to "Calculate All-Pair Shortest Paths" (using pkCSM), which then leads to "Calculate Properties" (using pkCSM) and finally "ADMET" (using pkCSM). A "Run example" button is also present. In the center, there's a "Step 1: Please provide a set of molecules (SMILES format)" section with two options: "Upload your SMILES file:" and "Provide a SMILES string:". Below these is a "Disclaimer" box stating: "No molecule information will be retained on the system after being uploaded by the user." To the right, there's a "Step 2: Please choose the prediction mode" section with a "Prediction of pharmacokinetic properties" box containing tabs for Absorption, Distribution, Metabolism, Excretion, Toxicity, and ADMET. The "Metabolism" tab is currently selected.

Figura 12: Web de pkCSM.

Se realizo el test completo ADMET ( Absorción, Distribución, Metabolismo, Excreción, Toxicidad). Al igual que con el programa VEGA, el análisis se realizo a partir de los códigos SMILES de las moléculas.

Los resultados obtenidos para cada molécula son los siguientes:

#### Absorción:

- Caco-2 Permeability
- Intestinal Absorption (Human)
- Water solubility
- P-glycoprotein substrate
- P-glycoprotein I and II inhibitors
- Skin Permeability

#### Distribución:

- VDss (Human)
- BBB permeability
- Fraction Unbound (human)
- CNS permeability

#### Metabolismo:

- Cytochrome P450 inhibitors
- CYP2D6/CYP3A4 substrate

#### Excreción:

- Renal OCT2 substrate
- Total Clearance

#### Toxicidad:

- Rat LD50
- T. Pyriformis toxicity
- AMES toxicity

- Minnow toxicity
- Maximum Tolerated Dose
- Hepatotoxicity
- Oral Rat Chronic Toxicity
- Skin Sensitisation
- hERG I and II inhibitors

## 4. Discusión de resultados

### 4.1. - Obtener las estructuras de las proteínas:

#### 4.1.1.- Obtener la estructura de la proteína PDE10A

Para la obtención de la estructura de la proteína PDE10A, se utilizó la página RCSB Protein Data Bank.<sup>5</sup> Tras la búsqueda de la proteína, se filtraron los resultados para incluir únicamente aquellos pertenecientes a *Homo Sapiens*. Se encuentran un total de 95 estructuras. Tras analizar las estructuras obtenidas, se eligió la estructura 3WYM, ya que es la que presenta una mejor resolución entre aquellas con inhibidores conocidos para la proteína.

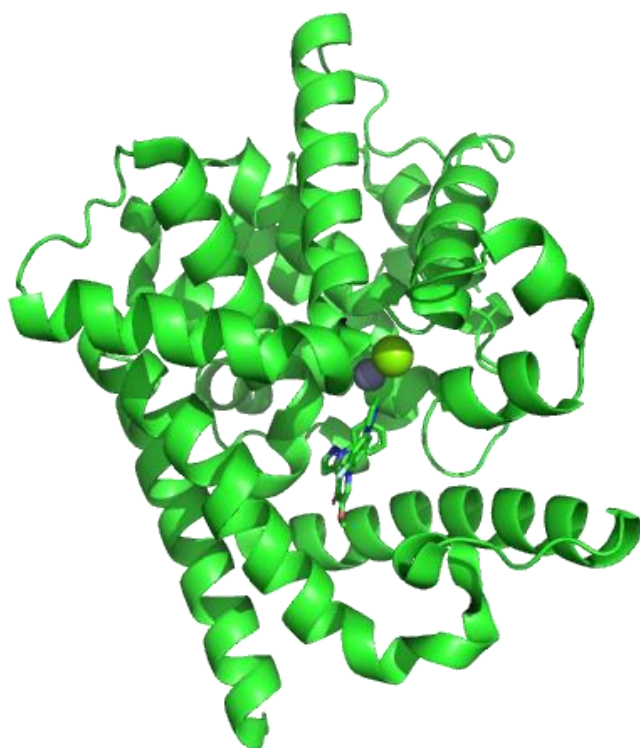


Figura 13: Estructura 3D 3WYM de la proteína PDE10A

Se comprobó que la cavidad en la que se encuentra este inhibidor (Balipodect) es la misma que la del resto de moléculas inhibidoras en las otras estructuras encontradas en la base de datos.

Para los estudios de cribado virtual posteriores se eliminó la molécula de su interior, manteniéndose los dos iones metálicos ( $Zn^{2+}$  y  $Mg^{2+}$ ).

#### 4.1.2.- Obtener la estructura de la proteína MAOA.

Se realizo el mismo procedimiento que en la anterior proteína. De entre las 4 estructuras encontradas para Homo Sapiens, la estructura elegida fue 2BXR.

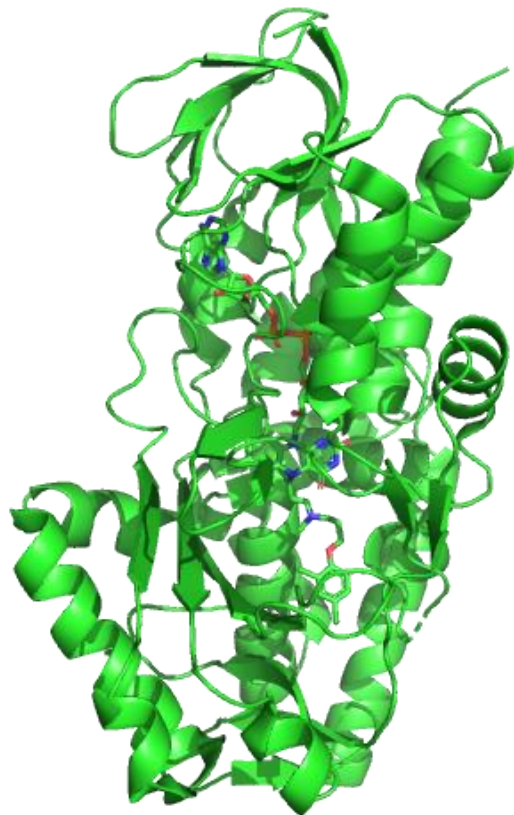


Figura 14: Estructura 3D 2BXR de la proteína MAOA

La proteína presenta dos moléculas en su interior. Se elimino la molécula Clorgyline, inhibidor de la proteína, para la realización de los estudios de Cribado virtual, manteniéndose la otra molécula, FAD, ya que actúa como cofactor.

#### **4.2.- Obtener las moléculas que se unan a las diversas proteínas:**

##### **4.2.1.- Analizar cavidades en las estructuras proteicas.**

El análisis de las cavidades de las proteínas se realizo gracias al programa PLIP.<sup>24</sup> Para el análisis de las interacciones proteína ligando, se utilizaron las estructuras indicadas anteriormente, sin eliminar la molécula unida a la proteína.

En el caso de la proteína PDE10A se obtiene el siguiente análisis:

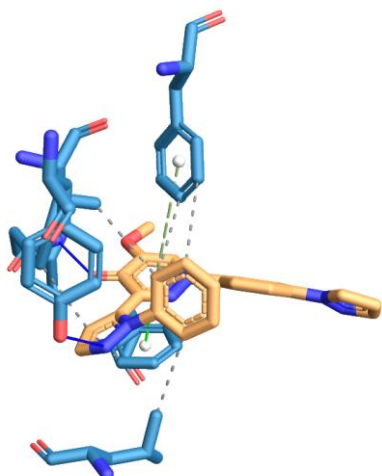


Figura 15: Representación de las interacciones en PDE10A

#### Interacciones hidrofobicas

Índice	Residuo	AA	Distancia (Å)	Átomo Molécula	Átomo Proteína
1	665A	LEU	3.75	5129	1811
2	682A	ILE	3.95	5133	1942
3	682A	ILE	3.91	5128	1941
4	686A	PHE	3.97	5128	1979
5	686A	PHE	3.86	5126	1977
6	719A	PHE	3.53	5133	2241

#### Enlaces de Hidrógeno

Índice	Residuo	AA	Distancia H-A (Å)	Distancia D-A (Å)	Angulo Dador	Proteína dadora?	Cadena lateral	Átomo dador	Átomo aceptor
1	514A	TYR	3.18	3.67	114.96	✓	✓	595 [O3]	5149 [Nar]
2	716A	GLN	2.15	3.14	174.98	✓	✓	2219 [Nam]	5154 [O2]

#### π-Stacking

Índice	Residuo	AA	Distancia (Å)	Angulo	Offset	Tipo	Átomo Moléculas
1	686A	PHE	5.15	71.21	1.49	T	5143, 5144, 5145, 5146, 5150, 5153
2	719A	PHE	3.58	9.59	0.62	P	5143, 5144, 5145, 5146, 5150, 5153

Tabla 1: Interacciones en la proteína PDE10A.

En el caso de la proteína MAOA:

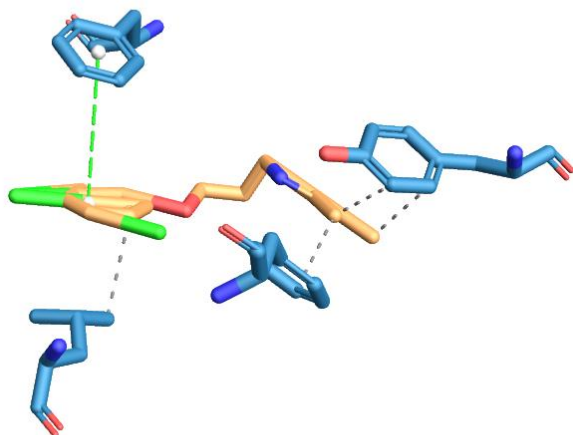


Figura 16: Representación de las interacciones en MAOA

#### Interacciones hidrofobicas

Índice	Residuo	AA	Distancia (Å)	Átomo Molécula	Átomo Proteína
1	337A	LEU	3.68	3581	2525
2	352A	PHE	3.66	3592	2634
3	407A	TYR	3.17	3592	3085
4	407A	TYR	3.27	3593	3083

#### π-Stacking

Índice	Residuo	AA	Distancia (Å)	Angulo	Offset	Tipo	Átomo Moléculas
1	208A	PHE	5.16	26.42	1.52	P	3579, 3580, 3581, 3582, 3583, 3584

Tabla 2: Interacciones en la proteína MAOA.

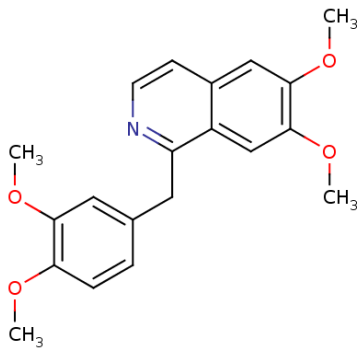
Estos resultados se utilizaran para compararlos con los obtenidos para las moléculas seleccionadas en los Cribado virtual que se realizaran a continuación.

#### 4.2.2.- Realizar cribado virtual con las cavidades encontradas.

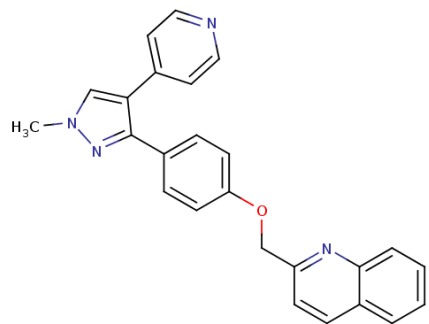
El primer paso para la realización del cribado virtual es la creación de una base de datos de moléculas que utilizar para comprobar si se unen a la proteína seleccionada.

En el caso de la proteína PDE10A se eligió partir de los siguientes inhibidores conocidos de la proteína:

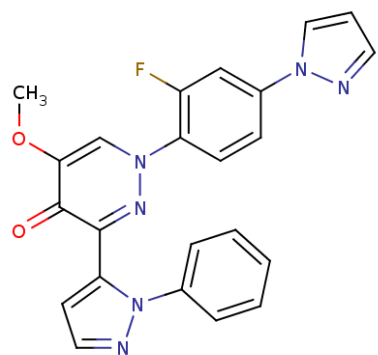
-Papaverine:



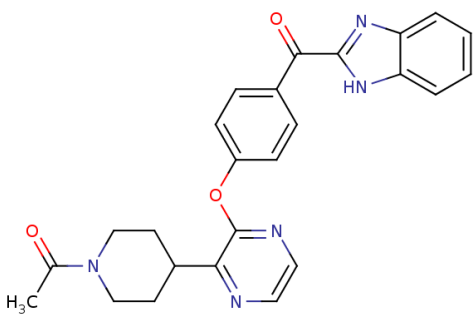
-Mardepodect:



-Balipodect:

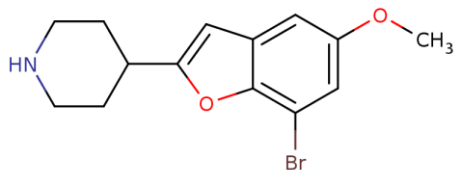


-AMG 579:

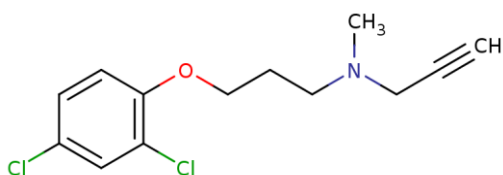


En el caso de la proteína MAOA, se han elegido 3 moléculas distintas. Todas ellas son inhibidores descritos para la proteína. Estas moléculas son:

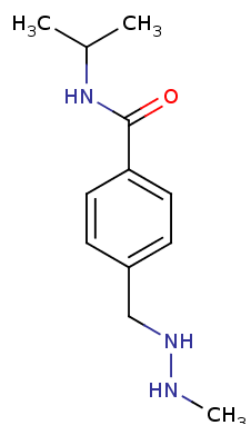
-Brofaromine:



-Clorgyline



-Procarbazine



A continuación se muestra una tabla resumen con los números de las bases de datos creadas.

Molécula	Nº entradas SwissSimilarity	Nº moléculas distintas	Moléculas con similitud >0.6
<b>Papaverine</b>	10179	7398	418
<b>Mardepodect</b>	9350	6399	127
<b>Balipodect</b>	4216	3647	220*
<b>AMG579</b>	4278	3584	279
<b>Brofaramine</b>	6380	4841	446
<b>Clorgyline</b>	4309	2864	472
<b>Procarbazine</b>	10376	7133	699

\*En este caso se bajo el nivel hasta 0.5 debido al bajo número de moléculas con similitud de 0.6 o superior.

Tabla 3: Cantidad de entradas en cada paso de la creación de las bases de datos

Posteriormente se realizo el cribado virtual tal y como está indicado en la sección de Materiales y métodos. Se realizo por separado los cálculos para cada base de datos utilizada. Los parámetros de la caja utilizados fueron los siguientes:

Proteína	Coordenadas X	Coordenadas Y	Coordenadas Z	Dimensión X	Dimensión Y	Dimensión Z
PDE10A	8.8015	1.4345	-21.253999	21	19	23
MAOA	20.953	2.112	5.885	25	16	17

Tabla 4: Parámetros introducidos en el cribado virtual.

A continuación muestran las energías de los 25 compuestos con un mejor resultado de docking. Además de realizar los cálculos de docking utilizando las bases de datos creadas, se realizaron cálculos de docking con los inhibidores de referencia, tanto para comprobar que se unen con eficacia en la cavidad asignada, como para obtener un nivel de energía de referencia (indicado entre paréntesis en cada inhibidor).

-Papaverine (-8.2):

Compuesto	Energía	nRot
ZINC00629173	-10.2	4
ZINC08740511	-10.1	6
ZINC02202541	-10	0
ZINC01669233	-9.9	3
ZINC05128901	-9.9	4
CHEMBL1819133	-9.8	4
0033-0016975285	-9.8	3
ZINC08441042	-9.7	6
ZINC08740515	-9.6	7
0033-0011726488	-9.5	4
ZINC01800131	-9.5	7
ITYPYDFMAUKACB-UHFFFAOYSA-N	-9.5	0
ZINC06140704	-9.5	0
0033-0016570367	-9.5	4
ZINC01583438	-9.4	6
0033-0011727436	-9.4	5
0033-0027888942	-9.4	4
0033-0004072363	-9.4	3
ZINC01318737	-9.4	0
ZINC45382442	-9.4	5
0033-0000809050	-9.3	4

<b>ZINC12362666</b>	-9.3	0
<b>CHEMBL206915</b>	-9.3	3
<b>ZINC01428932</b>	-9.3	0
<b>CHEMBL1821787</b>	-9.3	0

Tabla 5: Mejores resultados base de datos Papaverine

-Mardepodect (-10.6):

<b>Compuesto</b>	<b>Energía</b>	<b>nRot</b>
<b>CHEMBL2180777</b>	-11.4	5
<b>DB08386</b>	-11.1	5
<b>0049-0001716724</b>	-10.8	4
<b>CHEMBL3222278</b>	-10.7	6
<b>CHEMBL3218036</b>	-10.7	6
<b>CHEMBL558545</b>	-10.7	5
<b>CHEMBL3218037</b>	-10.6	6
<b>CHEMBL554906</b>	-10.6	5
<b>CHEMBL3218032</b>	-10.5	6
<b>CHEMBL3218038</b>	-10.5	6
<b>CHEMBL550155</b>	-10.5	6
<b>CHEMBL3218035</b>	-10.5	6
<b>CHEMBL3218040</b>	-10.4	6
<b>0049-0001124418</b>	-10.4	4
<b>CHEMBL3222273</b>	-10.4	6
<b>CHEMBL3222277</b>	-10.4	6
<b>0049-0000139387</b>	-10.3	4
<b>CHEMBL3218034</b>	-10.3	6
<b>CHEMBL562513</b>	-10.3	7
<b>CHEMBL3218041</b>	-10.3	6
<b>CHEMBL3222275</b>	-10.3	6
<b>CHEMBL560378</b>	-10.2	5
<b>CHEMBL1642569</b>	-10.2	5
<b>0049-0000140939</b>	-10.2	5
<b>CHEMBL3222274</b>	-10.2	6

Tabla 6: Mejores resultados base de datos Mardepodect

-Balipodect (-9.7):

<b>Compuesto</b>	<b>Energía</b>	<b>nRot</b>
<b>0016-0005865638</b>	-10.5	4
<b>0016-0008291145</b>	-10.5	4
<b>0016-0008373676</b>	-10.5	4
<b>0033-0044119867</b>	-10.2	5
<b>0049-0001536982</b>	-10.1	7

<b>CHEMBL2180010</b>	-9.9	5
<b>0049-0001702714</b>	-9.9	4
<b>0049-0000090678</b>	-9.9	5
<b>0033-0049657804</b>	-9.8	6
<b>0033-0049662440</b>	-9.8	4
<b>0049-0000115858</b>	-9.7	3
<b>0033-0019490665</b>	-9.6	6
<b>0049-0000417221</b>	-9.6	7
<b>0033-0006026704</b>	-9.6	5
<b>0016-0008289962</b>	-9.6	4
<b>0049-0001703269</b>	-9.6	5
<b>0033-0019489752</b>	-9.5	6
<b>0033-0019490290</b>	-9.5	6
<b>0033-0039385041</b>	-9.5	7
<b>0049-0000114579</b>	-9.4	6
<b>0033-0010512811</b>	-9.4	5
<b>0049-0001819933</b>	-9.3	3
<b>0033-0049658878</b>	-9.3	6
<b>0049-0001254994</b>	-9.3	3
<b>0033-0046856169</b>	-9.3	6

Tabla 7: Mejores resultados base de datos Balipodect

-AMG579 (-10.1):

Compuesto	Energía	nRot
<b>0045-0024779379</b>	-11	0
<b>0033-0039583457</b>	-10.9	6
<b>0045-0024253745</b>	-10.7	0
<b>0043-0014822811</b>	-10.6	7
<b>0045-0025060370</b>	-10.2	0
<b>0045-0024253388</b>	-10.1	0
<b>0045-0024253286</b>	-10	0
<b>0045-0024259438</b>	-10	0
<b>0045-0024627735</b>	-10	12
<b>0044-0001075569</b>	-10	6
<b>0044-0000971488</b>	-9.9	6
<b>0045-0025059498</b>	-9.8	0
<b>0044-0001108925</b>	-9.8	6
<b>0045-0024627774</b>	-9.8	0
<b>0045-0025059457</b>	-9.7	0
<b>0044-0003441015</b>	-9.7	6
<b>0045-0025059907</b>	-9.7	0
<b>0045-0024627701</b>	-9.7	12
<b>0045-0024254546</b>	-9.7	0

<b>0045-0025058213</b>	-9.6	0
<b>0045-0024256748</b>	-9.6	0
<b>0045-0012595305</b>	-9.6	6
<b>0045-0024627554</b>	-9.6	11
<b>0044-0003441155</b>	-9.6	7
<b>0045-0024252965</b>	-9.6	7

Tabla 8: Mejores resultados base de datos AMG579

-Brofaromine (-8.6):

<b>Compuesto</b>	<b>Energía</b>	<b>nRot</b>
<b>0030-0003387148</b>	-14.1	3
<b>0047-0011486249</b>	-13.7	4
<b>0030-0023102286</b>	-13.4	0
<b>0047-0053638798</b>	-13.3	5
<b>0047-0002325080</b>	-13.3	4
<b>0030-0004023236</b>	-13.2	4
<b>0030-0000773002</b>	-13.1	3
<b>0030-0023134205</b>	-13	0
<b>0047-0042690705</b>	-12.9	4
<b>0047-0037850068</b>	-12.9	4
<b>0030-0019705688</b>	-12.9	3
<b>0047-0034204848</b>	-12.8	4
<b>0030-0005229606</b>	-12.8	4
<b>0030-0016174369</b>	-12.7	0
<b>0030-0021768207</b>	-12.6	6
<b>0030-0011811269</b>	-12.6	6
<b>0047-0038210054</b>	-12.5	4
<b>0030-0002929972</b>	-12.5	5
<b>0030-</b>	-12.5	4

<b>0015764047</b>		
<b>0030-0001218685</b>	-12.5	6
<b>0051-0006977000</b>	-12.5	4
<b>0030-0001281908</b>	-12.5	3
<b>0051-0015029069</b>	-12.5	2
<b>0030-0008231499</b>	-12.5	0
<b>0051-0020016259</b>	-12.4	3

Tabla 9: Mejores resultados base de datos Brofaramine

-Clorgyline (-6.9):

<b>Compuesto</b>	<b>Energía</b>	<b>nRot</b>
ZINC02824188	-9.1	0
ZINC41251625	-9.1	0
ZINC02845261	-9	0
ZINC04870178	-8.7	0
ZINC02822688	-8.6	7
ZINC02825266	-8.5	7
ZINC02931249	-8.4	6
ZINC33425780	-8.3	8
ZINC33425781	-8.3	8
ZINC41582287	-8.3	7
ZINC02822060	-8.2	7
ZINC02822700	-8.2	7
ZINC19665690	-8.2	7
ZINC41438725	-8.2	6
ZINC52450965	-8.2	9
ZINC95918141	-8.2	6
ZINC02885624	-8.1	7
ZINC33425777	-8.1	8
ZINC82092633	-8.1	4
ZINC02885556	-8	7
ZINC20400980	-8	6
ZINC20525271	-8	6
ZINC19665684	-7.9	7
ZINC31829360	-7.9	5
ZINC33425788	-7.9	6

Tabla 10: Mejores resultados base de datos Clorgyline

-Procarbazine (-7.7):

Compuesto	Energía	nRot
<b>0031-0003177742</b>	-12	0
<b>ZINC23132817</b>	-11.8	0
<b>0031-0003177780</b>	-11.8	0
<b>0047-0010308727</b>	-11.6	5
<b>ZINC23433853</b>	-11.5	5
<b>ZINC23433850</b>	-11.5	5
<b>0033-0039401056</b>	-11.5	0
<b>ZINC18124709</b>	-11.4	0
<b>0047-0004213296</b>	-11.4	5
<b>ZINC23144048</b>	-11.2	4
<b>ZINC00054796</b>	-11.2	6
<b>0030-0005154225</b>	-11.2	6
<b>0047-0013808655</b>	-11.2	4
<b>0047-0028602712</b>	-11.1	0
<b>0047-0054558641</b>	-11.1	5
<b>ZINC18124708</b>	-11.1	0
<b>ZINC23134123</b>	-11	0
<b>ZINC03411037</b>	-11	0
<b>ZINC00267406</b>	-11	0
<b>ZINC34050537</b>	-10.9	0
<b>ZINC00036042</b>	-10.9	4
<b>0030-0004161325</b>	-10.9	0
<b>0030-0021645634</b>	-10.9	6
<b>0031-0004060368</b>	-10.9	0
<b>ZINC01723188</b>	-10.8	3

Tabla 11: Mejores resultados base de datos Procarbazine

Al igual que con los inhibidores conocidos presentes en las estructuras originales, se realizó un estudio de las interacciones molécula-proteína utilizando PLIP. En todos los casos se observó una gran similitud en las interacciones. A modo de ejemplo se muestran los resultados obtenidos para la

primera molécula de la base de datos de Papaverina (ZINC00629173) y Clorgyline (ZINC02824188).

#### Interacciones Hidrofobicas

Índice	Residuo	AA	Distancia (Å)	Átomo Molécula	Átomo Proteína
1	665A	LEU	3.57	5100	3575
2	682A	ILE	3.79	5105	3846
3	686A	PHE	3.89	5106	3913
4	686A	PHE	3.72	5104	3914
5	719A	PHE	3.75	5101	4437

#### Enlaces de Hidrogeno

Índice	Residuo	AA	Distancia H-A (Å)	Distancia D-A (Å)	Angulo Dador	Proteína dadora?	Cadena lateral	Átomo dador	Átomo acceptor
1	514A	TYR	2.11	2.81	127.59	✓	✓	1176 [O3]	5095 [N3]
2	557A	HIS	2.06	3.01	157.10	✓	✓	1865 [Npl]	5119 [O3]

#### π-Stacking

Índice	Residuo	AA	Distancia (Å)	Angulo	Offset	Tipo	Átomo Moléculas
1	719A	PHE	4.22	4.37	1.96	P	5100, 5103, 5104, 5105, 5106, 5107

Tabla 12: Interacciones ZINC00629173

#### Interacciones Hidrofobicas

Índice	Residuo	AA	Distancia (Å)	Átomo Molécula	Átomo Proteína
1	69A	TYR	3.53	6	904
2	208A	PHE	3.44	9	3080
3	216A	GLU	3.54	10	3152
4	335A	ILE	3.74	8	5057
5	337A	LEU	3.33	10	5089
6	407A	TYR	3.43	12	6215
7	407A	TYR	3.51	19	6210

#### π-Stacking

Índice	Residuo	AA	Distancia (Å)	Angulo	Offset	Tipo	Átomo Moléculas
1	407A	TYR	4.03	6.72	1.47	P	14, 15, 16, 17, 18, 19
2	444A	TYR	5.12	73.48	1.37	T	14, 15, 16, 17, 18, 19

Tabla 13: Interacciones ZINC02824188

#### 4.3.- Analizar las propiedades de las moléculas obtenidas:

#### 4.3.1.- Analizar la toxicidad de las moléculas.

Se analizaron la toxicidad de las 25 moléculas con mejores resultados de docking de cada una de las bases de datos. Con fines comparativos se realizaron los mismos test a los inhibidores a partir de los cuales se crearon las bases de datos.

En las siguientes tablas se exponen los resultados obtenidos para los tres test realizados, utilizando el color verde en el caso de que los compuestos no presenten toxicidad, rojo en caso de que el compuesto sea tóxico y gris en caso de que el test de resultados nulos.

Los datos obtenidos para cada base de datos son los siguientes (con los inhibidores de referencia):

Molécula	Mutagenico	Carcinogénico	Hepatotoxic
Papaverine	Verde	Verde	Rojo
ZINC00629173	Rojo	Verde	Rojo
ZINC08740511	Rojo	Verde	Rojo
ZINC02202541	Rojo	Verde	Rojo
ZINC01669233	Rojo	Rojo	Rojo
ZINC05128901	Rojo	Verde	Rojo
CHEMBL1819133	Rojo	Verde	Rojo
0033-0016975285	Rojo	Verde	Rojo
ZINC08441042	Rojo	Verde	Rojo
ZINC08740515	Rojo	Verde	Rojo
0033-0011726488	Rojo	Verde	Rojo
ZINC01800131	Rojo	Verde	Rojo
ITYPYDFMAUKACB-UHFFFAOYSA-N	Verde	Verde	Rojo
ZINC06140704	Verde	Verde	Rojo
0033-0016570367	Rojo	Verde	Rojo
ZINC01583438	Verde	Verde	Rojo
0033-0011727436	Rojo	Verde	Rojo
0033-0027888942	Rojo	Verde	Rojo
0033-0004072363	Rojo	Verde	Rojo
ZINC01318737	Verde	Verde	Rojo
ZINC45382442	Rojo	Verde	Rojo
0033-0000809050	Rojo	Verde	Rojo
ZINC12362666	Rojo	Verde	Rojo
CHEMBL206915	Rojo	Rojo	Gris
ZINC01428932	Verde	Verde	Rojo
CHEMBL1821787	Verde	Verde	Rojo

Tabla 14: Resultados Test de toxicidad Pavaperine

En el caso de la base de datos de papaverine, todos los compuestos fallan el test de hepatotoxicidad. Como el compuesto de referencia tampoco lo pasa se ha decidido continuar con aquellas moléculas que superen el resto de test.

Molécula	Mutagenico	Carcinogénico	Hepatotoxic
Mardepodect	Rojo	Verde	Rojo
CHEMBL2180777	Rojo	Verde	Rojo
DB08386	Rojo	Verde	Rojo

0049-0001716724			
CHEMBL3222278			
CHEMBL3218036			
CHEMBL558545			
CHEMBL3218037			
CHEMBL554906			
CHEMBL3218032			
CHEMBL3218038			
CHEMBL550155			
CHEMBL3218035			
CHEMBL3218040			
0049-0001124418			
CHEMBL3222273			
CHEMBL3222277			
0049-0000139387			
CHEMBL3218034			
CHEMBL562513			
CHEMBL3218041			
CHEMBL3222275			
CHEMBL560378			
CHEMBL1642569			
0049-0000140939			
CHEMBL3222274			

Tabla 15: Resultados Test de toxicidad Mardepodect

Las moléculas de la base de datos de Mardepodect, presentan peores resultados, superando únicamente el test de Carcinogenesis, al igual que la referencia.

Molécula	Mutagenico	Carcinogénico	Hepatotoxic
Balipodect			
0016-0005865638			
0016-0008291145			
0016-0008373676			
0033-0044119867			
0049-0001536982			
CHEMBL2180010			
0049-0001702714			
0049-0000090678			
0033-0049657804			
0033-0049662440			
0049-0000115858			
0033-0019490665			
0049-0000417221			
0033-0006026704			
0016-0008289962			
0049-0001703269			
0033-0019489752			
0033-0019490290			

0033-0039385041			
0049-0000114579			
0033-0010512811			
0049-0001819933			
0033-0049658878			
0049-0001254994			
0033-0046856169			

Tabla 16: Resultados Test de toxicidad Balipodect

El inhibidor Balipodect falla los test de hepatotoxicidad y mutagenesis, por lo que se han seleccionado para continuar aquellas moléculas que superen el test de carcinogénesis. Además hay tres compuestos con mejores propiedades que la referencia, ya que superan el test de mutagenesis también.

Molécula	Mutagenico	Carcinogénico	Hepatotoxico
AMG 579			
0045-0024779379			
0033-0039583457			
0045-0024253745			
0043-0014822811			
0045-0025060370			
0045-0024253388			
0045-0024253286			
0045-0024259438			
0045-0024627735			
0044-0001075569			
0044-0000971488			
0045-0025059498			
0044-0001108925			
0045-0024627774			
0045-0025059457			
0044-0003441015			
0045-			

0025059907			
0045- 0024627701			
0045- 0024254546			
0045- 0025058213			
0045- 0024256748			
0045- 0012595305			
0045- 0024627554			
0044- 0003441155			
0045- 0024252965			

Tabla 17: Resultados Test de toxicidad AMG579

En el caso de la base de datos de AMG579 ningún compuesto supera el test de hepatotoxicidad, siendo elegidos los compuestos sin toxicidad en el resto de test.

Molécula	Mutagenico	Carcinogénico	Hepatotoxico
Brofaramine			
0030- 0003387148			
0047- 0011486249			
0030- 0023102286			
0047- 0053638798			
0047- 0002325080			
0030- 0004023236			
0030- 0000773002			
0030- 0023134205			
0047- 0042690705			
0047- 0037850068			
0030- 0019705688			
0047- 0034204848			
0030-			

0005229606			
0030-0016174369			
0030-0021768207			
0030-0011811269			
0047-0038210054			
0030-0002929972			
0030-0015764047			
0030-0001218685			
0051-0006977000			
0030-0001281908			
0051-0015029069			
0030-0008231499			
0051-0020016259			

Tabla 18: Resultados Test de toxicidad Brofaramine

La base de datos de Brofaramine presenta datos mucho mejores, con múltiples compuestos superando la totalidad de los test. Por desgracia, el test de hepatotoxicidad no produce resultados por lo que no se ha tenido en cuenta en este caso.

Molécula	Mutagenico	Carcinogénico	Hepatotoxico
Clorgyline			
ZINC02822060			
ZINC02822688			
ZINC02822700			
ZINC02824188			
ZINC02825266			
ZINC02845261			
ZINC02885556			
ZINC02885624			
ZINC02931249			
ZINC04870178			
ZINC19665684			
ZINC19665690			
ZINC20400980			
ZINC20525271			
ZINC31829360			
ZINC33425777			

ZINC33425780	Green	Red	Grey
ZINC33425781	Green	Red	Grey
ZINC33425788	Green	Red	Grey
ZINC41251625	Green	Green	Grey
ZINC41438725	Green	Green	Grey
ZINC41582287	Green	Green	Grey
ZINC52450965	Green	Red	Grey
ZINC82092633	Green	Green	Grey
ZINC95918141	Green	Green	Grey

Tabla 19: Resultados Test de toxicidad Clorgyline

En el caso de Clorgyline el test de hepatotoxicidad también fue nulo, pasando a la siguiente fase aquellos con el resto de test positivos.

Molécula	Mutagenico	Carcinogénico	Hepatotoxico
Procarbazine	Green	Red	Green
0031-0003177742	Green	Red	Grey
ZINC23132817	Green	Green	Grey
0031-0003177780	Red	Red	Grey
0047-0010308727	Red	Red	Grey
ZINC23433853	Red	Green	Grey
ZINC23433850	Red	Green	Grey
0033-0039401056	Red	Green	Grey
ZINC18124709	Green	Red	Grey
0047-0004213296	Green	Red	Grey
ZINC23144048	Green	Green	Grey
ZINC00054796	Green	Green	Grey
0030-0005154225	Red	Green	Grey
0047-0013808655	Green	Red	Grey
0047-0028602712	Green	Red	Grey
0047-0054558641	Red	Red	Grey
ZINC18124708	Green	Red	Grey
ZINC23134123	Green	Red	Grey
ZINC03411037	Red	Red	Grey
ZINC00267406	Green	Red	Grey
ZINC34050537	Red	Red	Grey
ZINC00036042	Red	Green	Grey
0030-0004161325	Red	Green	Grey
0030-0021645634	Green	Green	Grey

0031-			
0004060368			
ZINC01723188			

Tabla 20: Resultados Test de toxicidad Procarbazine

Por último, en el caso de Procarbazine se seleccionaron aquellos con el test de mutagenesis positivo, al igual que la referencia, destacando 4 compuestos que superaron el test de carcinogénesis, al contrario que el inhibidor conocido.

Como ya hemos indicado, seleccionaremos únicamente de los compuestos con mejores o iguales propiedades que los inhibidores de referencia. De esta forma el número de compuestos seleccionados es el siguiente:

Base de datos	Nº moléculas
Papaverine	6
Mardepodect	25
Balipodect	17
AMG579	18
Brofaramine	21
Clorgyline	9
<b>Procarbazine</b>	<b>12</b>

Tabla 21: Moléculas seleccionadas tras el test de toxicidad

#### 4.3.2.- Analizar las propiedades farmacocinéticas de las moléculas.

Por último, se realizo un análisis de las propiedades farmacocinéticas de las moléculas seleccionadas en el paso anterior, utilizando la web pkCSM.

El test se realizó a los 25 compuestos mejor situados en el docking en cada base de datos, al igual que en el test de toxicidad, pero solo se discutirán los resultados de las moléculas seleccionadas anteriormente. De igual manera, se realizo el test ADMET completo, pero solo se utilizarán para cribar 10 de las propiedades calculadas.

Las propiedades analizadas y los valores importantes que se han tenido en cuenta fueron los siguientes:

- Permeabilidad Caco2: Deben tener valores superiores a 0.9
- Absorción intestinal: Valores superiores a 30%. Esta propiedad no se ha incluido en las tablas debido a que todas las moléculas lo han superado, presentando en la mayoría de los casos absorciones superiores al 90%.
- Substrato P-glycoproteína: NO deben de ser substrato.
- Permeabilidad BBB: Deben de tener valores superiores a -1, siendo los valores mayores a 0.3 los óptimos.
- Permeabilidad CNS: Valores superiores a -3 para pasar el test, con valores superiores a -2 a ser posible.
- Toxicidad AMES: NO
- Dosis máxima tolerada: Deben de ser positivos, a ser posible mayor que 0.477.

- Inhibidor hERG I y II: NO
- Hepatotoxicidad: NO

Especialmente importante son las propiedades de permeabilidad, ya que si son permeables en el tejido encefálico serán más efectivos, ya que se trata de una enfermedad neuronal.

Al igual que en el caso anterior, se utiliza un código de colores para facilitar la rápida comprensión de los datos, siendo el color rojo el color eliminatorio, el verde aquel que se utiliza cuando el compuesto pasa el test y el color azul el utilizado en aquellos casos en los que los resultados sean los más óptimos.

	Caco	P-glyco	BBB	CNS	AMES	MTD	hERG I	hERG II	Hepato
Papaverine	1.414	No	- 0.348	- 2.251	No	0.682	No	Yes	Yes
ITYPYDFMAUKACB-UHFFFAOYSA-N	0.811	No	0.143	- 1.608	No	0.358	No	Yes	Yes
ZINC06140704	1.749	No	- 1.005	- 3.752	Yes	0.623	No	No	No
ZINC01583438	1.003	No	- 0.016	- 2.014	Yes	0.665	No	Yes	Yes
ZINC01318737	0.743	Yes	0.466	-1.49	No	0.348	No	Yes	Yes
ZINC01428932	1.208	No	- 0.575	- 3.096	No	0.835	No	Yes	Yes
CHEMBL1821787	1.012	No	0.144	- 3.177	No	0.825	No	Yes	Yes

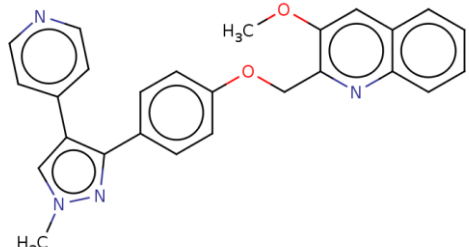
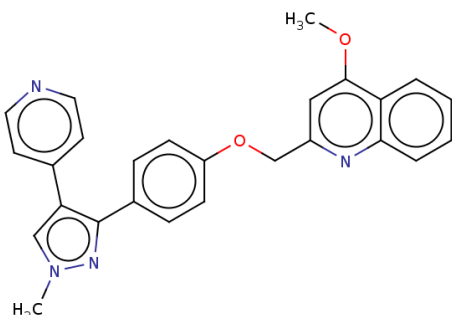
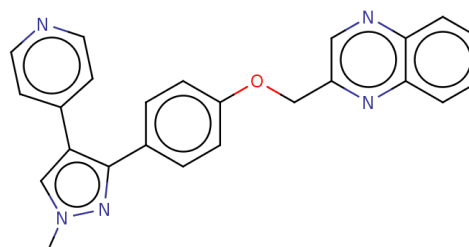
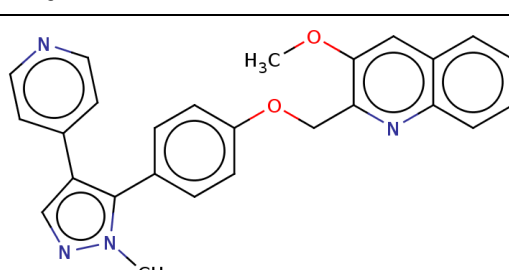
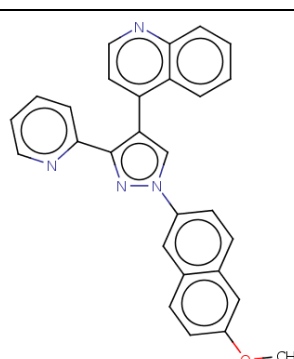
Tabla 22: Resultados Test de AEDMET Papaverine

De esta base de datos descarto la totalidad de las moléculas ya que aun obviando las propiedades que son negativas en la referencia, todas ellas tienen al menos otras propiedades no deseadas.

	Caco	P-glyco	BBB	CNS	AMES	MTD	hERG I	hERG II	Hepato
<b>Mardepodect</b>	1.137	No	0.153	-1.886	No	0.709	No	Yes	Yes
<b>CHEMBL2180777</b>	1.101	Yes	0.533	-1.177	No	0.659	No	Yes	Yes
<b>DB08386</b>	0.971	Yes	0.209	-1.925	No	0.576	No	Yes	Yes
<b>0049-0001716724</b>	0.928	No	0.417	-1.6	No	0.509	No	Yes	Yes
<b>CHEMBL3222278</b>	1.087	No	0.443	-1.943	No	0.499	No	Yes	Yes
<b>CHEMBL3218036</b>	1.033	No	0.296	-1.926	No	0.598	No	Yes	No
<b>CHEMBL558545</b>	1.27	Yes	0.349	-1.631	Yes	0.568	No	Yes	Yes
<b>CHEMBL3218037</b>	0.999	No	0.296	-1.93	No	0.593	No	Yes	No
<b>CHEMBL554906</b>	1.084	No	0.295	-2.013	No	0.631	No	Yes	No
<b>CHEMBL3218032</b>	0.947	Yes	0.303	-1.854	No	0.668	No	Yes	Yes
<b>CHEMBL3218038</b>	0.994	No	-0.04	-1.947	No	0.577	No	Yes	Yes
<b>CHEMBL550155</b>	1.124	No	0.406	-1.755	No	0.615	No	Yes	Yes
<b>CHEMBL3218035</b>	1.086	Yes	0.345	-1.88	No	0.68	No	Yes	Yes
<b>CHEMBL3218040</b>	1.007	No	0.331	-1.93	Yes	0.613	No	Yes	No
<b>0049-0001124418</b>	1.099	No	0.446	-1.608	No	0.49	No	Yes	Yes
<b>CHEMBL3222273</b>	1.053	No	0.415	-1.92	No	0.585	No	Yes	No
<b>CHEMBL3222277</b>	0.99	No	0.451	-1.92	Yes	0.606	No	Yes	Yes
<b>0049-0000139387</b>	1.083	No	0.521	-1.574	No	0.508	No	Yes	No
<b>CHEMBL3218034</b>	1.045	Yes	0.328	-1.873	No	0.662	No	Yes	Yes
<b>CHEMBL562513</b>	1.115	No	-0.013	-1.807	No	0.794	No	Yes	Yes
<b>CHEMBL3218041</b>	1.129	No	0.324	-1.949	No	0.52	No	Yes	No
<b>CHEMBL3222275</b>	1.024	No	0.08	-1.937	Yes	0.562	No	Yes	Yes
<b>CHEMBL560378</b>	1.137	No	0.421	-1.766	No	0.598	No	Yes	Yes
<b>CHEMBL1642569</b>	1.145	No	0.32	-1.771	No	0.609	No	Yes	No
<b>0049-0000140939</b>	1.071	No	0.505	-1.582	No	0.508	No	Yes	Yes
<b>CHEMBL3222274</b>	1.019	No	0.416	-1.924	No	0.581	No	Yes	No

Tabla 23: Resultados Test de AEDMET Mardepodect

En este caso encontramos 8 moléculas con mejores propiedades que la molécula de referencia, con otras 8 moléculas adicionales con las mismas propiedades.

CHEMBL3218036	
CHEMBL3218037	
CHEMBL554906	
CHEMBL3222273	
0049-0000139387	

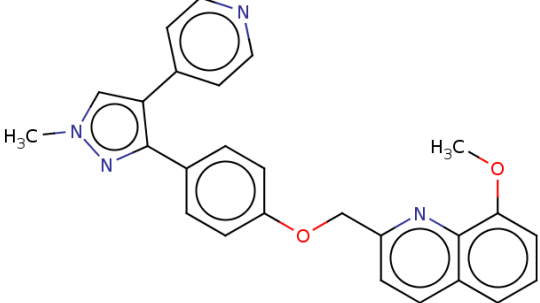
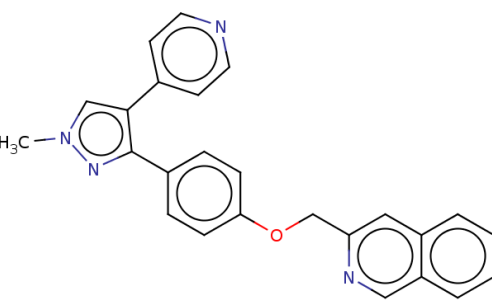
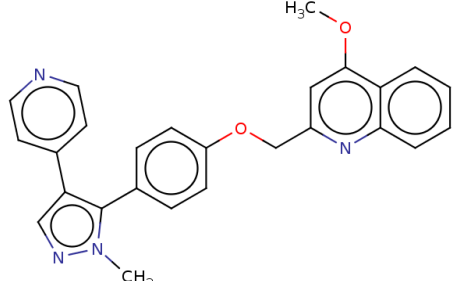
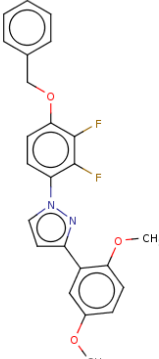
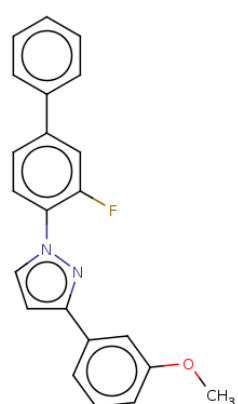
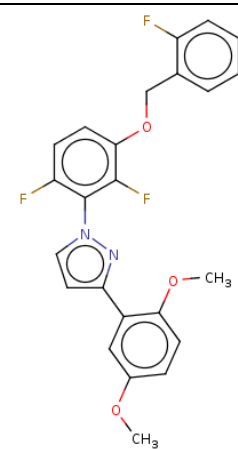
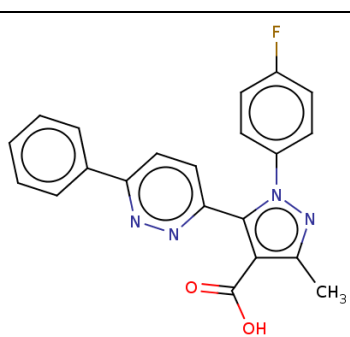
CHEMBL3218041	
CHEMBL1642569	
CHEMBL3222274	

Tabla 24: Moléculas seleccionadas similares a Mardepodect

	Caco	P-glyco	BBB	CNS	AMES	MTD	hERG I	hERG II	Hepato		
<b>Balipodect</b>	1.057	No	1.398	3.723	No	0.618	No	Yes	Yes		
0033-0046856169	1.192	Yes	-	-	No	1.012	No	No	No		
0033-0049658878	1.121	No	0.036	1.297	No	0.817	No	Yes	Yes		
0049-0001819933	1.092	No	0.395	1.129	No	0.793	No	Yes	Yes		
0033-0010512811	1.098	Yes	0.309	1.153	Yes	0.705	No	Yes	Yes		
0033-0019490290	0.737	Yes	-	-	No	0.389	No	Yes	Yes		
0033-0019489752	0.289	No	-	0.987	3.339	No	0.473	No	Yes	Yes	
0049-0001703269	1.026	Yes	-	0.335	3.135	No	0.678	No	No	Yes	
0033-0006026704	1.184	No	-	0.289	1.295	No	0.772	No	Yes	Yes	
0049-0000417221	1.18	No	-0.95	2.982	No	0.77	No	No	Yes		
0033-0019490665	1.083	No	0.271	-	1.161	Yes	0.754	No	Yes	No	
0033-0049662440	1.511	Yes	-	0.191	-3.39	No	0.706	No	Yes	Yes	
0033-0049657804	0.767	Yes	-	0.212	3.177	No	0.673	No	No	Yes	
0049-0000090678	1.229	Yes	-	0.326	-	1.464	Yes	0.418	No	Yes	No
0049-0001702714	1.336	No	-	0.276	-	1.487	No	0.487	No	Yes	Yes
0049-0001536982	0.185	Yes	-	1.208	-	3.244	No	0.42	No	Yes	Yes
0033-0044119867	1.234	Yes	-	0.031	-	1.909	Yes	0.345	No	Yes	Yes

Tabla 25: Resultados Test de AEDMET Balipodect

En este caso, 5 compuestos presentan mejores propiedades que Balipodect.

<b>0033-0049658878</b>	
<b>0049-0001819933</b>	
<b>0033-0006026704</b>	
<b>0049-0000417221</b>	

**0049-0001536982**

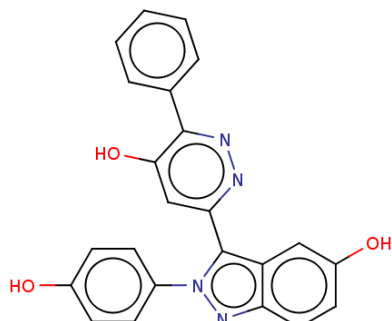


Tabla 26: Moléculas seleccionadas similares a Balipodect

	Caco	P-glyco	BBB	CNS	AMES	MTD	hERG I	hERG II	Hepato
<b>AMG579</b>									
	1.113	Yes	- 1.016	-3.51	Yes	0.249	No	Yes	Yes
0045-0024779379	1.225	No	- 0.515	2.124	No	0.726	No	Yes	Yes
0045-0024253745	1.124	No	- 0.206	2.337	No	0.702	No	Yes	Yes
0045-0025060370	0.76	Yes	- 0.311	2.411	No	0.029	No	Yes	Yes
0045-0024253388	1.081	No	- 0.503	3.261	No	0.638	No	Yes	Yes
0045-0024253286	1.014	No	-0.39	3.439	No	- 0.384	No	No	Yes
0045-0024259438	0.92	Yes	0.087	2.453	No	0.734	No	Yes	Yes
0044-0001075569	1.274	No	- 0.647	3.275	No	0.834	No	No	Yes
0044-0000971488	1.222	No	- 0.652	-3.27	No	0.854	No	No	Yes
0045-0025059498	1.117	Yes	- 0.019	2.115	No	0.631	No	Yes	Yes
0044-0001108925	1.133	No	- 0.657	3.245	No	0.855	No	No	Yes
0045-0025059457	0.97	Yes	0.144	2.131	No	0.141	No	Yes	Yes
0044-0003441015	1.01	Yes	- 1.162	2.641	Yes	0.299	No	Yes	Yes
0045-0025059907	1.177	No	- 0.475	2.405	No	0.393	No	Yes	Yes
0045-0024254546	0.913	Yes	- 1.348	-3.38	No	0.394	No	Yes	Yes
0045-0025058213	0.999	Yes	- 0.177	2.238	No	0.868	No	Yes	Yes
0045-0024256748	1.194	Yes	- 0.302	3.155	No	0.432	No	Yes	No
0045-0012595305	1.236	Yes	- 0.279	2.526	Yes	0.273	No	Yes	Yes
0044-0003441155	1.293	Yes	- 1.353	-3.41	Yes	0.296	No	Yes	Yes

Tabla 27: Resultados Test de AEDMET AMG579

En este caso la molécula de referencia tiene bastante malas propiedades, por eso hay muchos compuestos con iguales o mejores propiedades, sin embargo, solo 4 de ellos tienen casi todas las propiedades aceptables, a excepción de la hepatotoxicidad e inhibición de hERG II.

<b>0045-0024779379</b>	
<b>0045-0024253745</b>	
<b>0045-0024259438</b>	
<b>0045-0025059907</b>	

Tabla 28: Moléculas seleccionadas similares a AMG579

	Caco	P-glyco	BBB	CNS	AMES	MTD	hERG I	hERG II	Hepato
<b>Brofaramine</b>	1.498	Yes	0.44	-	2.574	No	-	0.136	No
<b>0030-0003387148</b>	0.791	Yes	0.201	-	0.995	Yes	0.015	Yes	Yes
<b>0047-0011486249</b>	0.989	Yes	0.34	0.601	Yes	0.703	No	Yes	Yes
<b>0030-0023102286</b>	1.053	Yes	0.289	-	1.447	No	-	0.266	No
<b>0047-0053638798</b>	1.207	Yes	0.297	-	1.216	Yes	0.561	No	Yes
<b>0047-0002325080</b>	0.989	Yes	0.34	-	0.601	Yes	0.703	No	Yes
<b>0030-0004023236</b>	0.87	Yes	0.34	-	0.82	Yes	0.575	Yes	Yes
<b>0030-0000773002</b>	0.838	Yes	0.083	-	1.071	No	0.023	No	Yes
<b>0030-0023134205</b>	1.091	Yes	0.576	-	1.995	Yes	-	0.531	No
<b>0047-0042690705</b>	0.992	Yes	0.325	-	0.615	Yes	0.696	No	Yes
<b>0047-0037850068</b>	1.234	Yes	0.306	-	1.332	No	0.51	No	Yes
<b>0030-0019705688</b>	0.871	Yes	0.51	-	0.852	No	0.117	No	Yes
<b>0047-0034204848</b>	0.998	Yes	0.32	-	0.709	Yes	0.633	No	Yes
<b>0030-0005229606</b>	0.872	Yes	0.391	-	0.921	Yes	0.521	Yes	Yes
<b>0030-0016174369</b>	1.16	Yes	0.161	-	1.741	No	0.187	No	Yes
<b>0030-0021768207</b>	0.883	Yes	0.506	-	1.061	Yes	0.638	Yes	Yes
<b>0030-0011811269</b>	1.014	Yes	0.643	-	1.236	No	0.305	Yes	Yes
<b>0047-0038210054</b>	1.463	Yes	0.555	-	1.22	No	0.602	No	Yes
<b>0030-0002929972</b>	0.873	Yes	0.424	-	0.862	Yes	0.628	Yes	Yes
<b>0030-0001218685</b>	0.858	Yes	0.525	-	0.91	Yes	0.488	Yes	Yes
<b>0030-0001281908</b>	1.098	Yes	0.777	-	0.724	No	-	0.011	No
<b>0030-0008231499</b>	1.073	Yes	0.462	-	1.066	Yes	0.494	No	Yes

Tabla 29: Resultados Test de AEDMET Brofaramine

La base de datos de Brofaramine no proporciona ningún resultado bueno, ya que sus compuestos presentan peores propiedades que la referencia.

	Caco	P-glyco	BBB	CNS	AMES	MTD	hERG I	hERG II	Hepato
<b>Clorgyline</b>	1.602	No	0.69	- 1.829	No	0.573	No	No	No
<b>ZINC02822060</b>	1.788	Yes	0.644	- 1.704	Yes	0.529	No	Yes	No
<b>ZINC02824188</b>	1.63	Yes	0.921	- 2.001	No	0.734	No	No	No
<b>ZINC02845261</b>	1.149	Yes	0.475	- 1.484	No	0.48	No	No	No
<b>ZINC20525271</b>	1.625	Yes	0.774	-1.42	No	0.853	No	No	No
<b>ZINC41251625</b>	1.616	Yes	0.722	- 2.012	No	0.698	No	No	No
<b>ZINC41438725</b>	1.687	No	0.55	- 2.718	No	0.039	No	No	Yes
<b>ZINC41582287</b>	1.854	Yes	0.619	- 1.358	Yes	0.552	No	Yes	Yes
<b>ZINC82092633</b>	1.72	No	0.224	- 2.836	No	0.494	No	Yes	No
<b>ZINC95918141</b>	1.64	Yes	1.029	-1.46	No	0.846	No	Yes	Yes

Tabla 30: Resultados Test de AED Clorgyline

En esta base de datos el inhibidor de referencia tiene unas excelentes propiedades, superando todos los test realizados, sin embargo ninguna de las moléculas similares han sido capaces de mantener el mismo nivel. Sin embargo cabe destacar que esta base de datos presentan de forma general unos excelentes resultados comparado con los resultados obtenidos en las otras tablas.

	Caco	P-glyco	BBB	CNS	AMES	MTD	hERG I	hERG II	Hepato
<b>Procarbazine</b>	1.185	Yes	-0.125	-2.789	No	0.959	No	No	No
0031-0003177742	1.314	Yes	-0.188	1.941	Yes	0.318	No	Yes	Yes
ZINC23132817	0.808	Yes	0.099	-2.32	No	-0.26	No	Yes	Yes
ZINC18124709	0.851	Yes	0.049	-2.15	No	0.284	No	No	No
0047-0004213296	1.051	Yes	-0.021	-1.83	Yes	0.48	No	Yes	Yes
ZINC23144048	0.774	Yes	0.28	1.939	Yes	0.579	No	Yes	No
ZINC00054796	1.228	Yes	0.086	1.995	Yes	0.662	No	Yes	Yes
0047-0013808655	1.034	Yes	0.516	0.107	Yes	0.757	No	Yes	Yes
0047-0028602712	0.863	Yes	-0.051	2.203	No	0.274	No	No	No
ZINC18124708	0.851	Yes	0.049	-2.15	No	0.284	No	No	No
ZINC23134123	0.968	Yes	-0.059	2.307	No	0.491	No	No	No
ZINC00267406	1.294	No	0.084	2.279	No	0.674	No	No	No
0030-0021645634	0.803	Yes	0.174	-0.296	Yes	0.819	No	Yes	No

Tabla 31: Resultados Test de AEDMET Procarbazine

En este caso encontramos una molécula con mejores propiedades que procarbazine y otra con el mismo número de propiedades buenas que el inhibidor de referencia. De hecho, el compuesto cuyo nombre es ZINC00267406 pasa todos los test farmacocinetos, lo que lo convierte en el mejor candidato de todos los seleccionados en este trabajo.

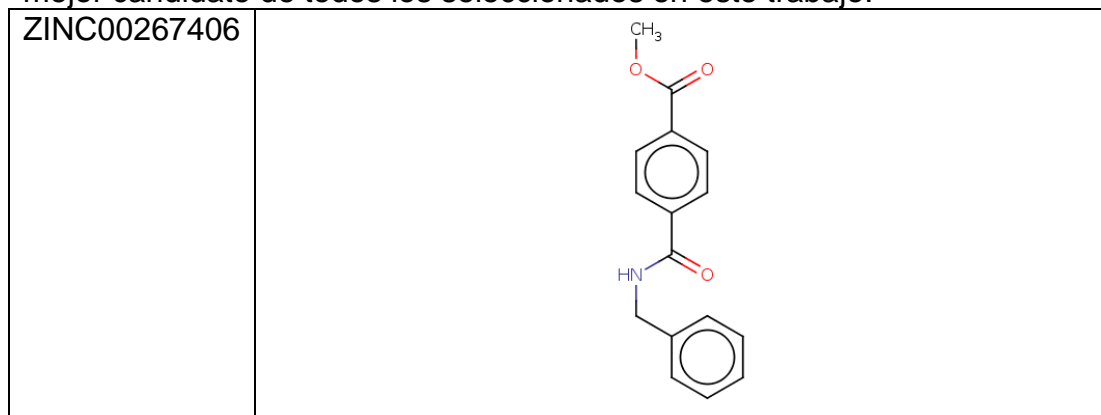


Tabla 32: Moléculas seleccionadas similares a Procarbazine

## 5. Conclusiones

En este trabajo se ha realizado de manera exitosa un cribado virtual, obteniendo en consecuencia un total de 18 pequeñas moléculas con, en principio, mejores propiedades para ser utilizados como fármacos para el tratamiento de la enfermedad de Huntington.

Para conseguir este objetivo ha sido necesario realizar multitud de tareas distintas, como la creación de bases de datos en función de la similitud con inhibidores conocidos, análisis de las interacciones molécula-proteína, así como realizar los estudios de docking. Además ha sido necesario realizar test de toxicidad y de propiedades farmacocinéticas para seleccionar los mejores candidatos.

Las moléculas de las bases de datos se unen correctamente a la proteína en la cavidad objetivo, y mantienen interacciones similares a las descritas en bibliografía. Además, tienen energías de unión más estables en muchos casos, lo que podría ser positivo ya que es una de las propiedades importantes a tener en cuenta para medir la capacidad de inhibición de una molécula.

Por desgracia, al realizar los test de toxicidad y propiedades farmacocinéticas los resultados no han sido tan positivos, aunque hay que tener en cuenta que estos test se basan en predicciones en función de la estructura y tienen asociado un cierto error. También es importante entender que los inhibidores descritos en bibliografía, que son utilizados de manera habitual en los estudios, presentan también fallos al realizar estos test, por lo que deben de ser tomados con cautela estos resultados. Aun así, se han conseguido seleccionar un total de 18 moléculas que tienen una predicción de propiedades mejor que su inhibidor de referencia.

De la base de datos derivada de Mardepodect se obtuvieron 8 candidatos:

Ventajas:

- No hepatotoxicos según test realizado por pkCSM, al contrario que la referencia
- Muy buena capacidad para ser distribuidos en el cerebro en la mayoría de casos

Desventajas:

- Mutagenicos y Hepatotoxicos según el test realizado por Vega, al igual que la referencia.
- Inhibidores de hERG II, al igual que la referencia.

De la base de datos derivada de Balipodect se obtuvieron 5 Candidatos:

Ventajas:

- Muy buena capacidad para ser distribuidos en el cerebro en la mayoría de casos, al contrario que la referencia que presenta malos datos en esas propiedades.

Desventajas:

- Mutagenicos y Hepatotoxicos según el test realizado por Vega, al igual que la referencia.
- Inhibidores de hERG II y hepatotoxicos según el test realizado por pkCSM, al igual que la referencia.

De la base de datos derivada de AMG579 se obtuvieron 4 candidatos:

Ventajas:

- No tóxicos según test AMES realizado por la pkCSM, al contrario que la referencia
- Muy buena capacidad para ser distribuidos en el cerebro en la mayoría de casos, al contrario que la referencia que presenta malos datos en esas propiedades.
- No sustratos de la P-glycoproteina, al contrario que la referencia

Desventajas:

- Hepatotoxicos según el test realizado por Vega y pKCSM, al igual que la referencia.
- Inhibidores de hERG I y II, al igual que la referencia.

De la base de datos derivada de procarbazine se obtuvo 1 candidato, siendo el mejor de todos ellos:

Ventajas:

- Todas las propiedades farmacocinéticas son adecuadas, mejorando la referencia

Desventajas:

- Carcinogénico según el test realizado por Vega, al igual que la referencia.

Durante la realización del trabajo han surgido varios problemas, pero han sido resueltos de manera sencilla. Algunas de las proteínas diana iniciales, tras una búsqueda bibliográfica más extensa se descubrió que su participación en la enfermedad de Huntington no estaba demostrada o participaban de manera contraria a lo deseado.

Por otro lado, problemas con la plataforma MtOpenScreen supusieron un retraso en la realización del cribado virtual, que se solventó compaginando la tarea de cribado y análisis de las propiedades con el fin de agilizar los resultados.

Por otro lado, muchas de las moléculas utilizadas tienen energías de unión a las proteínas muy buenas, incluso superiores a las referencias y han sido descartados por no encontrarse entre las 25 primeras, por lo que se podría

ampliar el estudio a estas moléculas, siempre que sus energías de unión sean adecuadas.

Finalmente, el paso lógico que habría que seguir tras este estudio es sintetizar ,o adquirir en caso de que sean comerciales, las moléculas seleccionadas, para realizar con ellas estudios de inhibición de las proteínas diana y, en caso de ser positivos, estudiar si las moléculas tienen algún efecto positivo en el tratamiento de Huntington.

Por otro lado, las moléculas seleccionadas en este estudio podrían ser utilizadas en el tratamiento de otras enfermedades neurodegenerativas como Parkinson y Alzheimer, ya que tienen como objetivo proteínas que están relacionadas con estas enfermedades también, aunque sería necesario estudiar más concretamente los casos concretos.

## 6. Glosario

**Cribado Virtual:** Virtual Screening. Método informático que nos permite identificar una serie de compuestos a partir de una base de datos, en función de la interacción con una diana terapéutica.

**Docking:** Estudios que analizan la capacidad de una molécula pequeña de unirse a una cavidad de una determinada proteína.

**FAD:** Flavín adenín dinucleótido

**EH:** Enfermedad de Huntington

**MAOA:** la proteína Monoamino monooxidasa A

**PDE10A:** proteína cAMP and cAMP-inhibited cGMP 3',5'-cyclic phosphodiesterase 10

**SMILES:** Simplified molecular-input line-entry system. Es una especificación para describir moléculas muy utilizado.

## 7. Bibliografía

- (1) Trottier, Y.; Biancalana, V.; Mandel, J. L. Instability of CAG Repeats in Huntington's Disease: Relation to Parental Transmission and Age of Onset. *J. Med. Genet.* **1994**, *31* (5), 377–382. <https://doi.org/10.1136/jmg.31.5.377>.
- (2) HTT gene [https://genome.ucsc.edu/cgi-bin/hgTracks?db=hg38&lastVirtModeTipo=default&lastVirtModeExtraStat=e=&virtModeTipo=default&virtMode=0&nonVirtPosition=&position=chr4%3A3074681-3243960&hgsid=918354469\\_An47B92mMTL5MTees0B98g5wXiZT](https://genome.ucsc.edu/cgi-bin/hgTracks?db=hg38&lastVirtModeTipo=default&lastVirtModeExtraStat=e=&virtModeTipo=default&virtMode=0&nonVirtPosition=&position=chr4%3A3074681-3243960&hgsid=918354469_An47B92mMTL5MTees0B98g5wXiZT).
- (3) VONSATTEL, J.-P.; MYERS, R. H.; STEVENS, T. J.; FERRANTE, R. J.; BIRD, E. D.; RICHARDSON, E. P. Neuropathological Classification of Huntington's Disease. *J. Neuropathol. Exp. Neurol.* **1985**, *44* (6), 559–577. <https://doi.org/10.1097/00005072-198511000-00003>.
- (4) Hima Bindu Mylapalli; Ramam Sripada; Sireesha Maram; Sudeepthi Padala; Aksha Susmitha Jangam; Dasaratha Dhanaraju Magharla. Huntington's Disease- An Updated Review. *Int. J. Res. Pharm. Sci.* **2020**, *11* (3), 3761–3767. <https://doi.org/10.26452/ijrps.v11i3.2545>.
- (5) RCSB <https://www.rcsb.org/>.
- (6) PDBEurope <https://www.ebi.ac.uk/pdbe/>.
- (7) Swiss Similarity <http://www.swisssimilarity.ch/>.
- (8) MtOpenScreen <https://mobyle.rpbs.univ-paris-diderot.fr/cgi-bin/portal.py#forms::MTiOpenScreen>.
- (9) VEGA QSAR <https://www.vegahub.eu/download/vega-qsar-download/>.
- (10) pkCSM <http://biosig.unimelb.edu.au/pkcsdm/prediction>.
- (11) Caron, N. S.; Dorsey, E. R.; Hayden, M. R. Therapeutic Approaches to Huntington Disease: From the Bench to the Clinic. *Nat. Rev. Drug Discov.* **2018**, *17* (10), 729–750. <https://doi.org/10.1038/nrd.2018.133>.
- (12) Kawsar, M.; Taz, T. A.; Paul, B. K.; Ahmed, K.; Habib, M. A.; Bhuyian, T. Identification of Vital Regulatory Genes with Network Pathways among Huntington's, Parkinson's, and Alzheimer's Diseases. *Netw. Model. Anal. Heal. Informatics Bioinforma.* **2020**, *9* (1), 50. <https://doi.org/10.1007/s13721-020-00257-4>.
- (13) PDE10A <https://www.genecards.org/cgi-bin/carddisp.pl?gene=PDE10A>.
- (14) Giampà, C.; Patassini, S.; Borreca, A.; Laurenti, D.; Marullo, F.; Bernardi, G.; Menniti, F. S.; Fusco, F. R. Phosphodiesterase 10 Inhibition Reduces Striatal Excitotoxicity in the Quinolinic Acid Model of Huntington's Disease. *Neurobiol. Dis.* **2009**, *34* (3), 450–456. <https://doi.org/10.1016/j.nbd.2009.02.014>.
- (15) Giampà, C.; Laurenti, D.; Anzilotti, S.; Bernardi, G.; Menniti, F. S.; Fusco, F. R. Inhibition of the Striatal Specific Phosphodiesterase PDE10A Ameliorates Striatal and Cortical Pathology in R6/2 Mouse Model of Huntington's Disease. *PLoS One* **2010**, *5* (10), 1–14. <https://doi.org/10.1371/journal.pone.0013417>.
- (16) Niccolini, F.; Haider, S.; Reis Marques, T.; Muhlert, N.; Tziortzi, A. C.; Searle, G. E.; Natesan, S.; Piccini, P.; Kapur, S.; Rabiner, E. A.; et al. Altered PDE10A Expression Detectable Early before Symptomatic Onset in Huntington's Disease. *Brain* **2015**, *138* (10), 3016–3029.

- [https://doi.org/10.1093/brain/awv214.](https://doi.org/10.1093/brain/awv214)
- (17) Delnomdedieu, M.; Tan, Y.; Ogden, A.; Berger, Z.; Reilmann, R. J06 A Randomized, Double-Blind, Placebo-Controlled Phase II Efficacy and Safety Study of the PDE10A Inhibitor PF-02545920 in Huntington Disease (Amaryllis). In *Clinical therapeutics*; BMJ Publishing Group Ltd, 2018; Vol. 89, p A99.3-A100. <https://doi.org/10.1136/jnnp-2018-EHDN.266>.
- (18) Giralt, A.; Saavedra, A.; Carretón, O.; Arumí, H.; Tyebji, S.; Alberch, J.; Pérez-Navarro, E. PDE10 Inhibition Increases GluA1 and CREB Phosphorylation and Improves Spatial and Recognition Memories in a Huntington's Disease Mouse Model. *Hippocampus* **2013**, *23* (8), 684–695. <https://doi.org/10.1002/hipo.22128>.
- (19) Hu, E.; Chen, N.; Bourbeau, M. P.; Harrington, P. E.; Biswas, K.; Kunz, R. K.; Andrews, K. L.; Chmait, S.; Zhao, X.; Davis, C.; et al. Discovery of Clinical Candidate 1-(4-(3-(4-(1H-Benzimidazol-2-Carbonyl)Phenoxy)Pyrazin-2-Yl)Piperidin-1-Yl)Ethanone (AMG 579), A Potent, Selective, and Efficacious Inhibitor of Phosphodiesterase 10A (PDE10A). *J. Med. Chem.* **2014**, *57* (15), 6632–6641. <https://doi.org/10.1021/jm500713j>.
- (20) Binda, C.; Mattevi, A.; Edmondson, D. E. *Structural Properties of Human Monoamine Oxidases A and B*, 1st ed.; Elsevier Inc., 2011; Vol. 100. <https://doi.org/10.1016/B978-0-12-386467-3.00001-7>.
- (21) Nagatsu, T. Progress in Monoamine Oxidase (MAO) Research in Relation to Genetic Engineering. *Neurotoxicology* **2004**, *25* (1–2), 11–20. [https://doi.org/10.1016/S0161-813X\(03\)00085-8](https://doi.org/10.1016/S0161-813X(03)00085-8).
- (22) Ooi, J.; Hayden, M. R.; Pouladi, M. A. Inhibition of Excessive Monoamine Oxidase A/B Activity Protects Against Stress-Induced Neuronal Death in Huntington Disease. *Mol. Neurobiol.* **2015**, *52* (3), 1850–1861. <https://doi.org/10.1007/s12035-014-8974-4>.
- (23) Garcia-Miralles, M.; Ooi, J.; Ferrari Bardile, C.; Tan, L. J.; George, M.; Drum, C. L.; Lin, R. Y.; Hayden, M. R.; Pouladi, M. A. Treatment with the MAO-A Inhibitor Clorgyline Elevates Monoamine Neurotransmitter Levels and Improves Affective Phenotypes in a Mouse Model of Huntington Disease. *Exp. Neurol.* **2016**, *278*, 4–10. <https://doi.org/10.1016/j.expneurol.2016.01.019>.
- (24) Salentin, S.; Schreiber, S.; Haupt, V. J.; Adasme, M. F.; Schroeder, M. PLIP: Fully Automated Protein-Ligand Interaction Profiler. *Nucleic Acids Res.* **2015**, *43* (W1), W443–W447. <https://doi.org/10.1093/nar/gkv315>.
- (25) PLIP <https://projects.biotec.tu-dresden.de/plip-web/plip/>.
- (26) Zoete, V.; Daina, A.; Bovigny, C.; Michelin, O. SwissSimilarity: A Web Tool for Low to Ultra High Throughput Ligand-Based Cribado virtual. *J. Chem. Inf. Model.* **2016**, *56* (8), 1399–1404. <https://doi.org/10.1021/acs.jcim.6b00174>.
- (27) Trott, O.; Olson, A. J. AutoDock Vina: Improving the Speed and Accuracy of Docking with a New Scoring Function, Efficient Optimization, and Multithreading. *J. Comput. Chem.* **2009**, *31* (2), NA-NA. <https://doi.org/10.1002/jcc.21334>.
- (28) Pires, D. E. V.; Blundell, T. L.; Ascher, D. B. PkCSM: Predicting Small-Molecule Pharmacokinetic and Toxicity Properties Using Graph-Based Signatures. *J. Med. Chem.* **2015**, *58* (9), 4066–4072.

<https://doi.org/10.1021/acs.jmedchem.5b00104>.

## 8. Anexos

### 8.1 Resultados de Screening virtual

-Papaverine:

Compound	Energy	nRot
ZINC00629173	-10.2	4
ZINC08740511	-10.1	6
ZINC02202541	-10	0
ZINC01669233	-9.9	3
ZINC05128901	-9.9	4
CHEMBL1819133	-9.8	4
0033-0016975285	-9.8	3
ZINC08441042	-9.7	6
ZINC08740515	-9.6	7
0033-0011726488	-9.5	4
ZINC01800131	-9.5	7
ITYPYDFMAUKACB-UHFFFAOYSA-N	-9.5	0
ZINC06140704	-9.5	0
0033-0016570367	-9.5	4
ZINC01583438	-9.4	6
0033-0011727436	-9.4	5
0033-0027888942	-9.4	4
0033-0004072363	-9.4	3
ZINC01318737	-9.4	0
ZINC45382442	-9.4	5
0033-0000809050	-9.3	4
ZINC12362666	-9.3	0
CHEMBL206915	-9.3	3
ZINC01428932	-9.3	0
CHEMBL1821787	-9.3	0
ZINC11690338	-9.3	7
ZINC02202541	-9.3	0
ZINC01440038	-9.2	8
ZINC11690337	-9.2	7
CHEMBL363506	-9.2	4
ZINC01678492	-9.2	2
ZINC16215172	-9.2	9
CHEMBL208712	-9.2	3
ZINC01836163	-9.1	9
0033-0011727217	-9	5
CHEMBL1821785	-9	0
ZINC11736650	-9	0

0045-0018669144	-9	5
ZINC01280622	-9	0
ZINC08740469	-9	8
ZINC00645825	-9	8
ZINC08706604	-9	9
ZINC02317718	-9	8
0044-0002510283	-8.9	5
ZINC12462467	-8.9	7
ZINC35576089	-8.9	4
ZINC08740471	-8.9	9
CHEMBL267288	-8.9	4
ZINC02554909	-8.9	2
CHEMBL207008	-8.9	3
ZINC37866148	-8.9	0
0033-0026454170	-8.9	5
ZINC39291466	-8.9	6
ZINC57797479	-8.8	5
CHEMBL206894	-8.8	3
ZINC77259088	-8.8	0
CHEMBL7296	-8.8	3
ZINC08856765	-8.8	9
ZINC01734970	-8.8	4
ZINC12419759	-8.8	8
0045-0004462828	-8.7	5
ZINC13281563	-8.7	6
ZINC83314458	-8.7	4
ZINC12462466	-8.7	7
0045-0017996750	-8.7	6
ZINC05128904	-8.7	6
ZINC57797787	-8.7	4
0033-0003415055	-8.7	5
ZINC00856167	-8.7	5
ZINC01583439	-8.7	6
ZINC09600720	-8.7	8
ZINC44126139	-8.7	4
0033-0007264402	-8.7	5
0045-0003379094	-8.7	7
ZINC08473639	-8.7	4
ZINC01564235	-8.6	5
0045-0009145806	-8.6	6
0033-0028417396	-8.6	7
ZINC06743168	-8.6	3
0045-0010246030	-8.6	6

ZINC13209471	-8.6	6
0033-0003414807	-8.6	4
ZINC01583141	-8.6	5
CHEMBL556290	-8.6	4
FLNGSAPIOWPNLP-UHFFFAOYSA-N	-8.6	5
ZINC57797433	-8.6	4
ZINC12606915	-8.6	8
0033-0028415253	-8.6	6
ZINC13339668	-8.6	5
CHEMBL562762	-8.6	3
ZINC44126099	-8.5	3
0033-0032469166	-8.5	5
0045-0003379094	-8.5	7
ZINC77259085	-8.5	0
0045-0002008394	-8.5	5
ZINC62626223	-8.5	0
0033-0044029116	-8.5	3
0033-0026565141	-8.5	5
0045-0006701169	-8.5	7
ZINC01628650	-8.5	3
0033-0044031477	-8.5	5
ZINC77259090	-8.5	0
ZINC00856168	-8.5	6
0045-0002009648	-8.5	5
0033-0011124314	-8.5	4
HMDB33954	-8.5	5
0033-0026567210	-8.5	6
0045-0009145806	-8.5	6
LWJWOOSNRIMNJG-UHFFFAOYSA-N	-8.5	9
ZINC43210476	-8.5	4
CHEMBL1821778	-8.5	7
QASMISANUPMTGQ-UHFFFAOYSA-N	-8.5	3
ZINC01582093	-8.5	6
0044-0002511000	-8.4	5
0033-0027587255	-8.4	5
0044-0002512910	-8.4	5
0033-0024679929	-8.4	6
0033-0003721895	-8.4	3
0045-0002009235	-8.4	6
CHEMBL557601	-8.4	4
ZINC01565168	-8.4	6
ZINC12401200	-8.4	8
DB09020	-8.4	7

ZINC65740205	-8.4	6
0045-0017996750	-8.4	6
ZINC12371233	-8.4	8
0045-0018669144	-8.4	5
0045-0002009235	-8.4	6
ZINC16321140	-8.4	7
ZINC12419772	-8.4	8
ZINC12371232	-8.4	8
0045-0002009648	-8.4	5
ZINC01456865	-8.4	9
ZINC00604168	-8.4	7
0045-0017999439	-8.4	6
ZINC01442079	-8.4	9
0033-0016569134	-8.4	3
0045-0002008394	-8.4	5
CHEMBL549443	-8.4	3
0033-0003413826	-8.4	3
ZINC41387557	-8.4	0
0045-0019865460	-8.4	7
ZINC77259104	-8.4	0
ZINC45028974	-8.4	4
ZINC01827672	-8.4	8
ZINC62626865	-8.3	0
CHEMBL1821774	-8.3	7
ZINC77259403	-8.3	0
ZINC01425394	-8.3	7
ZINC83294458	-8.3	3
ZINC41475670	-8.3	4
0033-0027676787	-8.3	4
CHEMBL1821775	-8.3	7
ZINC04414689	-8.3	7
ZINC12371242	-8.3	8
QWMZJVOTVZRIOZ-UHFFFAOYSA-M	-8.3	3
ZINC71772106	-8.3	3
0033-0032493388	-8.3	5
0033-0027680686	-8.3	4
ZINC41475673	-8.3	4
ZINC12606916	-8.3	8
0033-0027887709	-8.3	3
ZINC41414659	-8.3	3
ZINC06018637	-8.3	6
CHEMBL559938	-8.3	5
ZINC01425393	-8.3	7

ZINC05640585	-8.3	3
0045-0017997484	-8.3	6
ZINC11736651	-8.3	0
0045-0010246030	-8.3	6
ZINC00608327	-8.3	7
ZINC00816349	-8.3	6
CHEMBL260585	-8.3	5
ZINC62626223	-8.3	0
0045-0004462828	-8.3	5
ZINC41353445	-8.2	3
0045-0004730007	-8.2	6
ZINC12371243	-8.2	8
ZINC41389675	-8.2	0
ZINC00266403	-8.2	4
AEHSAUPWRMSRNX-UHFFFAOYSA-N	-8.2	3
0033-0003414627	-8.2	4
0033-0003721895	-8.2	3
ZINC13152931	-8.2	6
ZINC44125989	-8.2	6
ZINC41389671	-8.2	0
ZINC22910125	-8.2	6
0033-0027678142	-8.2	4
ZINC35576089	-8.2	4
0045-0017997484	-8.2	6
0033-0019466622	-8.2	7
ZINC41414657	-8.2	3
ZINC01657252	-8.2	5
ZINC01583139	-8.2	4
CHEMBL1821777	-8.2	7
ZINC41414654	-8.2	4
ZINC01557421	-8.2	6
ZINC41568631	-8.2	0
ZINC32120438	-8.2	0
ZINC41353450	-8.2	3
XWBMYSLAWCIYBM-UHFFFAOYSA-N	-8.2	0
ZINC01036943	-8.2	6
0033-0019465877	-8.2	5
ZINC15108661	-8.2	8
0045-0017999439	-8.2	6
0045-0002007986	-8.2	5
0033-0025245977	-8.2	6
ZINC00717596	-8.2	7
ZINC39289598	-8.1	7

ZINC86863237	-8.1	3
ZINC41481853	-8.1	4
0045-0006701169	-8.1	7
HMDB30322	-8.1	6
ZINC77259408	-8.1	0
0033-0027889988	-8.1	5
ZINC13281560	-8.1	7
ZINC31430315	-8.1	5
ZINC06668546	-8.1	6
ZINC00645832	-8.1	8
ZINC29656412	-8.1	6
0033-0010940081	-8.1	3
ZINC62432540	-8.1	4
ZINC12371236	-8.1	8
0033-0027676782	-8.1	4
ZINC00643567	-8.1	6
0045-0019865460	-8.1	7
ZINC08473639	-8.1	4
0033-0011126684	-8.1	6
ZINC41481855	-8.1	4
0033-0027680971	-8.1	3
CHEMBL1821782	-8.1	7
ZINC41387557	-8.1	0
ZINC82777405	-8.1	0
ZINC39289747	-8.1	4
ZINC05141262	-8.1	6
0033-0010941854	-8.1	5
XWBMYSLAWCIYBM-UHFFFAOYSA-N	-8.1	0
CHEMBL1821786	-8.1	7
ZINC41323267	-8.1	0
ZINC13281628	-8.1	6
ZINC82777406	-8.1	0
HFQNWJXWPXVHAD-UHFFFAOYSA-N	-8	4
ZINC41481866	-8	4
ZINC57798093	-8	4
0033-0025243926	-8	5
ZINC37866149	-8	7
ZINC12362666	-8	0
ZINC12371244	-8	9
CLSNRKZPQXFDH-UHFFFAOYSA-N	-8	9
ZINC02048497	-8	0
ZINC16839828	-8	9
ZINC05359480	-8	3

ZINC01428931	-8	7
ZINC25363386	-8	7
ZINC41389675	-8	0
ZINC00484938	-8	5
ZINC18203889	-8	7
CHEMBL1821776	-8	7
ZINC86862992	-8	3
ZINC41389679	-8	0
0045-0004730007	-8	6
ZINC41414659	-8	3
ZINC41486892	-8	3
0033-0016571413	-8	5
ZINC41353451	-8	3
CHEMBL1821780	-8	7
ZINC18203889	-8	7
SVNRAGPWPJFCAJ-UHFFFAOYSA-N	-8	7
ZINC82781000	-8	0
ZINC25363720	-8	7
ZINC04671190	-8	9
0033-0005558790	-8	4
0033-0049099289	-8	6
ZINC08382913	-8	9
ZINC02810103	-8	8
ZINC77259089	-7.9	4
0045-0018278566	-7.9	5
ZINC82781252	-7.9	5
CHEMBL1821789	-7.9	0
ZINC57797548	-7.9	6
NYESKLOWXNLPID-UHFFFAOYSA-N	-7.9	7
ZINC41389679	-7.9	0
ZINC12371233	-7.9	8
ZINC25363399	-7.9	7
ZINC00526753	-7.9	4
ZINC39289611	-7.9	4
0045-0018278566	-7.9	5
0045-0002007986	-7.9	5
0033-0025243748	-7.9	4
ZINC03843070	-7.9	6
ZINC41481864	-7.9	4
0033-0000918164	-7.9	3
ZINC04773133	-7.9	5
ZINC41486890	-7.9	3
ZINC29656412	-7.9	6

CHEMBL1821781	-7.9	7
ZINC41414654	-7.9	4
ZINC12371233	-7.9	8
ZINC01225193	-7.9	6
ZINC00001754	-7.9	5
1496008_FLUKA	-7.9	6
ZINC41353446	-7.9	3
ZINC41414652	-7.9	4
ZINC00409696	-7.9	5
ZINC12419761	-7.9	6
ZINC39289604	-7.9	7
CHEMBL1821783	-7.9	6
CHEMBL100765	-7.9	5
ZINC02526466	-7.9	3
ZINC41497301	-7.9	5
DCRJFLHNZRDYMM-UHFFFAOYSA-N	-7.9	6
ZINC01704011	-7.9	6
ZINC25363717	-7.8	7
0033-0016569293	-7.8	3
FMPDZQKSINITPJ-UHFFFAOYSA-N	-7.8	0
ZINC19985651	-7.8	7
ZINC31943867	-7.8	6
ZINC11736524	-7.8	0
ZINC13282480	-7.8	6
ZINC57797906	-7.8	4
CHEMBL1821784	-7.8	10
0033-0027888041	-7.8	4
ZINC41323268	-7.8	0
ZINC12401202	-7.8	8
CHEMBL1821791	-7.8	5
CHEMBL1555736	-7.8	10
0033-0016569466	-7.8	4
ZINC25363844	-7.8	7
ZINC45028462	-7.8	3
CHEMBL1821779	-7.8	7
ZINC77259410	-7.8	0
ZINC45028715	-7.8	4
ZINC32110305	-7.7	5
ZINC25363841	-7.7	7
ZINC15108664	-7.7	8
ZINC19802302	-7.7	4
ZINC62432535	-7.7	5
ZINC19985655	-7.7	7

ZINC01706024	-7.7	6
ZINC19488103	-7.7	5
ZINC62432436	-7.7	5
ZINC25363399	-7.7	7
ZINC45038634	-7.7	4
ZINC31943866	-7.7	5
ZINC01669231	-7.7	4
ZINC41481858	-7.6	4
ZINC77259101	-7.6	3
ZINC62434777	-7.6	6
ZINC41385397	-7.6	0
ZINC12371237	-7.6	8
ZINC31943863	-7.6	4
ZINC04727626	-7.6	7
ZINC00409694	-7.6	4
ZINC25363393	-7.6	7
ZINC04385578	-7.6	4
CHEMBL1821788	-7.6	10
ZINC19733996	-7.6	5
ZINC06786790	-7.6	4
ZINC25363396	-7.6	7
ZINC01669230	-7.6	4
0033-0049096894	-7.6	4
ZINC41385394	-7.6	0
ZINC82781183	-7.6	5
ZINC82781182	-7.6	5
ZINC41323270	-7.6	4
ZINC45028643	-7.5	4
ZINC32014784	-7.5	3
ZINC41323270	-7.5	4
ZINC32108226	-7.5	4
ZINC32108227	-7.5	4
ZINC77259086	-7.5	0
ZINC08637122	-7.5	0
ZINC00333055	-7.5	4
ZINC00282382	-7.4	4
ZINC01766020	-7.4	4
ZINC41389669	-7.4	0
ZINC15017348	-7.4	5
ZINC41410236	-7.4	4
ZINC19985671	-7.4	6
ZINC11736525	-7.4	0
ZINC32014786	-7.4	3

ZINC00704222	-7.4	0
ZINC82350503	-7.4	4
ZINC77259099	-7.4	3
ZINC32110299	-7.4	5
ZINC41281738	-7.4	4
ZINC19985655	-7.4	7
ZINC41281734	-7.4	4
ZINC19780216	-7.3	5
ZINC77259083	-7.3	4
0033-0029178402	-7.3	4
ZINC41281732	-7.3	4
ZINC75626697	-7.3	3
ZINC00238279	-7.3	3
ZINC32014784	-7.3	3
ZINC32014783	-7.3	3
ZINC03623667	-7.3	4
ZINC11736651	-7.3	0
ZINC25363389	-7.3	7
ZINC19985671	-7.3	6
ZINC41410238	-7.3	4
ZINC25363382	-7.3	7
ZINC82778721	-7.3	3
ZINC45028704	-7.3	4
ZINC45028644	-7.3	4
ZINC45028516	-7.3	4
ZINC45028769	-7.3	5
ZINC41481860	-7.3	4
ZINC39255705	-7.2	4
ZINC41504217	-7.2	6
ZINC82778720	-7.2	3
ZINC45028495	-7.2	4
ZINC77259080	-7.2	4
ZINC45028578	-7.2	4
ZINC75626687	-7.2	3
ZINC76418578	-7.2	5
ZINC41281736	-7.1	4
0033-0029179111	-7.1	4
ZINC45028589	-7.1	3
ZINC77255170	-7.1	3
ZINC77259152	-7.1	4
ZINC77255177	-7.1	3
ZINC32101143	-7.1	5
ZINC08637123	-7.1	3

ZINC89065064	-7.1	4
ZINC32014785	-7.1	3
ZINC87754606	-7	3
ZINC32014786	-7	3
ZINC45028770	-7	5
ZINC06018574	-7	4
PJJFMAONZPYFOS-UHFFFAOYSA-N	-7	5
ZINC41504221	-7	6
ZINC45028579	-6.9	4
ZINC34528176	-6.9	3
ZINC82371035	-6.9	4
ZINC43210500	-6.9	4
ZINC82350505	-6.9	5
ZINC03847240	-6.9	3
ZINC82350511	-6.9	4
ZINC00386905	-6.8	4
0033-0002341968	-6.8	4
ZINC95918177	-6.8	4
ZINC22016839	-6.8	5
ZINC37658218	-6.8	5
0033-0002344430	-6.8	4
ZINC82468900	-6.8	4
0033-0002342663	-6.7	4
ZINC82778728	-6.7	4
ZINC82371040	-6.7	4
ZINC39119740	-6.7	3
ZINC01673541	-6.7	3
ZINC82350513	-6.6	5
ZINC37463980	-6.6	3
0033-0010955724	-6.6	5
ZINC43210498	-6.6	4
ZINC82371039	-6.5	4
ZINC82778727	-6.2	4

-Mardepopect

Compound	Energy	nRot
CHEMBL2180777	-11.4	5
DB08386	-11.1	5
0049-0001716724	-10.8	4
CHEMBL3222278	-10.7	6
CHEMBL3218036	-10.7	6
CHEMBL558545	-10.7	5
CHEMBL3218037	-10.6	6

CHEMBL554906	-10.6	5
CHEMBL3218032	-10.5	6
CHEMBL3218038	-10.5	6
CHEMBL550155	-10.5	6
CHEMBL3218035	-10.5	6
CHEMBL3218040	-10.4	6
0049- 0001124418	-10.4	4
CHEMBL3222273	-10.4	6
CHEMBL3222277	-10.4	6
0049- 0000139387	-10.3	4
CHEMBL3218034	-10.3	6
CHEMBL562513	-10.3	7
CHEMBL3218041	-10.3	6
CHEMBL3222275	-10.3	6
CHEMBL560378	-10.2	5
CHEMBL1642569	-10.2	5
0049- 0000140939	-10.2	5
CHEMBL3222274	-10.2	6
CHEMBL552379	-10.1	5
CHEMBL565237	-10	6
0049- 0000301678	-9.9	5
CHEMBL3218039	-9.9	6
0049- 0000337899	-9.8	4
CHEMBL549694	-9.8	5
CHEMBL3222271	-9.8	6
CHEMBL1915747	-9.8	7
0049- 0000298612	-9.8	5
CHEMBL3218033	-9.8	6
CHEMBL563200	-9.8	5
CHEMBL575746	-9.7	5
CHEMBL3222276	-9.6	6
CHEMBL575964	-9.6	5
0049- 0001070290	-9.6	5
0049- 0001400758	-9.6	5
0049- 0000275464	-9.6	6
ZINC72344994	-9.6	7
0051- 0033760280	-9.5	7

<b>CHEMBL3222270</b>	-9.5	6
<b>CHEMBL606376</b>	-9.5	3
<b>0049-</b> <b>0001176256</b>	-9.5	4
<b>0049-</b> <b>0000452125</b>	-9.4	5
<b>0049-</b> <b>0000025498</b>	-9.4	5
<b>CHEMBL575141</b>	-9.4	6
<b>0049-</b> <b>0000278472</b>	-9.4	5
<b>0049-</b> <b>0000036985</b>	-9.3	5
<b>0049-</b> <b>0000196327</b>	-9.3	6
<b>0049-</b> <b>0000168469</b>	-9.2	5
<b>0043-</b> <b>0013365963</b>	-9.2	3
<b>0043-</b> <b>0010752310</b>	-9.2	3
<b>0035-</b> <b>0005443695</b>	-9.2	4
<b>0043-</b> <b>0013365727</b>	-9.2	4
<b>CHEMBL456350</b>	-9.1	6
<b>0033-</b> <b>0041249617</b>	-9.1	3
<b>0049-</b> <b>0000353397</b>	-9.1	6
<b>0047-</b> <b>0046863569</b>	-9.1	6
<b>0049-</b> <b>0001882491</b>	-9.1	5
<b>0029-</b> <b>0001167428</b>	-9	4
<b>CHEMBL1780148</b>	-9	4
<b>0035-</b> <b>0005680148</b>	-9	4
<b>ZINC75172844</b>	-9	5
<b>0049-</b> <b>0000171491</b>	-9	5
<b>0033-</b> <b>0041249345</b>	-9	4
<b>0035-</b> <b>0005284243</b>	-8.9	4
<b>CHEMBL3218045</b>	-8.9	6
<b>0043-</b> <b>0005479655</b>	-8.9	3
<b>0035-</b> <b>0005680752</b>	-8.9	4
<b>CHEMBL498468</b>	-8.9	3

<b>0031-</b>	-8.9	3
<b>0003371851</b>		
<b>0057-</b>	-8.9	6
<b>0002098300</b>		
<b>CHEMBL3122207</b>	-8.8	4
<b>0043-</b>	-8.8	5
<b>0015304686</b>		
<b>0035-</b>	-8.8	4
<b>0003259547</b>		
<b>0043-</b>	-8.7	2
<b>0005478693</b>		
<b>CHEMBL1915727</b>	-8.7	7
<b>CHEMBL1915734</b>	-8.7	9
<b>0043-</b>	-8.7	3
<b>0005479652</b>		
<b>0031-</b>	-8.7	2
<b>0003371128</b>		
<b>CHEMBL1915728</b>	-8.7	8
<b>0043-</b>	-8.6	4
<b>0013365726</b>		
<b>0031-</b>	-8.6	2
<b>0003371888</b>		
<b>CHEMBL1915736</b>	-8.5	8
<b>CHEMBL1915741</b>	-8.5	8
<b>0043-</b>	-8.5	3
<b>0006412154</b>		
<b>ZINC67908399</b>	-8.5	3
<b>0043-</b>	-8.5	2
<b>0010751338</b>		
<b>0043-</b>	-8.5	2
<b>0005479710</b>		
<b>0043-</b>	-8.4	4
<b>0005537825</b>		
<b>0043-</b>	-8.4	2
<b>0010752364</b>		
<b>CHEMBL1780155</b>	-8.4	3
<b>0043-</b>	-8.4	3
<b>0010752137</b>		
<b>0031-</b>	-8.4	2
<b>0003609521</b>		
<b>0031-</b>	-8.3	2
<b>0003610582</b>		
<b>0043-</b>	-8.3	3
<b>0006413659</b>		
<b>0043-</b>	-8.2	2
<b>0010751347</b>		
<b>0043-</b>	-8.2	3
<b>0005479482</b>		
<b>0043-</b>	-8.2	3
<b>0006413579</b>		
<b>0043-</b>	-8.2	3
<b>0010752136</b>		

<b>0031-</b>	-8.2	3
<b>0003371695</b>		
<b>0031-</b>	-8.2	2
<b>0003371887</b>		
<b>0043-</b>	-8.1	1
<b>0005477173</b>		
<b>CHEMBL1780160</b>	-8.1	2
<b>0043-</b>	-8.1	2
<b>0005479709</b>		
<b>0043-</b>	-8.1	2
<b>0005479485</b>		
<b>0043-</b>	-8.1	2
<b>0010752365</b>		
<b>0043-</b>	-8.1	4
<b>0015304741</b>		
<b>0043-</b>	-8.1	2
<b>0010752140</b>		
<b>CHEMBL1780159</b>	-8	2
<b>0030-</b>	-8	8
<b>0013400440</b>		
<b>0043-</b>	-7.8	2
<b>0005482896</b>		
<b>0043-</b>	-7.8	4
<b>0011063046</b>		
<b>0031-</b>	-7.8	3
<b>0003371694</b>		
<b>CHEMBL129760</b>	-7.8	3
<b>0043-</b>	-7.8	3
<b>0005479481</b>		
<b>0043-</b>	-7.8	2
<b>0005479489</b>		
<b>0043-</b>	-7.7	2
<b>0005478702</b>		
<b>0043-</b>	-7.6	2
<b>0010755574</b>		
<b>0043-</b>	-7.5	5
<b>0015304512</b>		
<b>0043-</b>	-7.5	5
<b>0015304513</b>		
<b>0043-</b>	-7.4	3
<b>0005653673</b>		
<b>0043-</b>	-7.4	4
<b>0015304740</b>		

-Balipodect

Compound	Energy	nRot
<b>0016-</b>	-10.5	4
<b>0005865638</b>		
<b>0016-</b>	-10.5	4
<b>0008291145</b>		
<b>0016-</b>	-10.5	4
<b>0008373676</b>		
<b>0033-</b>	-10.2	5
<b>0044119867</b>		

<b>0049-</b>	-10.1	7
<b>0001536982</b>		
<b>CHEMBL2180010</b>	-9.9	5
<b>0049-</b>	-9.9	4
<b>0001702714</b>		
<b>0049-</b>	-9.9	5
<b>0000090678</b>		
<b>0033-</b>	-9.8	6
<b>0049657804</b>		
<b>0033-</b>	-9.8	4
<b>0049662440</b>		
<b>0049-</b>	-9.7	3
<b>0000115858</b>		
<b>0033-</b>	-9.6	6
<b>0019490665</b>		
<b>0049-</b>	-9.6	7
<b>0000417221</b>		
<b>0033-</b>	-9.6	5
<b>0006026704</b>		
<b>0016-</b>	-9.6	4
<b>0008289962</b>		
<b>0049-</b>	-9.6	5
<b>0001703269</b>		
<b>0033-</b>	-9.5	6
<b>0019489752</b>		
<b>0033-</b>	-9.5	6
<b>0019490290</b>		
<b>0033-</b>	-9.5	7
<b>0039385041</b>		
<b>0049-</b>	-9.4	6
<b>0000114579</b>		
<b>0033-</b>	-9.4	5
<b>0010512811</b>		
<b>0049-</b>	-9.3	3
<b>0001819933</b>		
<b>0033-</b>	-9.3	6
<b>0049658878</b>		
<b>0049-</b>	-9.3	3
<b>0001254994</b>		
<b>0033-</b>	-9.3	6
<b>0046856169</b>		
<b>0049-</b>	-9.3	5
<b>0000114531</b>		
<b>0049-</b>	-9.2	4
<b>0001820501</b>		
<b>0049-</b>	-9.2	5
<b>0001703270</b>		
<b>0049-</b>	-9.2	7
<b>0001198737</b>		
<b>0049-</b>	-9.2	3
<b>0001254858</b>		
<b>0049-</b>	-9.2	2
<b>0000114656</b>		
<b>0049-</b>	-9.1	3

<b>0001403427</b>		
<b>ZINC02733306</b>	-9.1	7
<b>0051-</b>	-9.1	8
<b>0040163522</b>		
<b>0033-</b>	-9.1	4
<b>0046810714</b>		
<b>0049-</b>	-9.1	3
<b>0001365626</b>		
<b>0049-</b>	-9.1	6
<b>0000115849</b>		
<b>0049-</b>	-9.1	5
<b>0000115801</b>		
<b>0033-</b>	-9	4
<b>0046847648</b>		
<b>0049-</b>	-9	4
<b>0000208411</b>		
<b>0033-</b>	-9	4
<b>0019488664</b>		
<b>0049-</b>	-9	6
<b>0001403062</b>		
<b>0049-</b>	-9	6
<b>0001688459</b>		
<b>0033-</b>	-9	7
<b>0049660823</b>		
<b>0049-</b>	-8.9	3
<b>0001403578</b>		
<b>0049-</b>	-8.9	3
<b>0000265041</b>		
<b>0049-</b>	-8.9	3
<b>0001189662</b>		
<b>0049-</b>	-8.9	2
<b>0000115926</b>		
<b>0049-</b>	-8.9	6
<b>0001244781</b>		
<b>0033-</b>	-8.9	4
<b>0049660592</b>		
<b>0049-</b>	-8.9	3
<b>0000294824</b>		
<b>0049-</b>	-8.8	3
<b>0000114588</b>		
<b>0033-</b>	-8.8	5
<b>0049657338</b>		
<b>0049-</b>	-8.8	6
<b>0001254520</b>		
<b>0049-</b>	-8.8	5
<b>0000433189</b>		
<b>0033-</b>	-8.8	5
<b>0049660516</b>		
<b>0049-</b>	-8.8	5
<b>0000114567</b>		
<b>0049-</b>	-8.8	5
<b>0000115463</b>		
<b>0049-</b>	-8.7	5
<b>0000114193</b>		

<b>0033-</b>	-8.7	4
<b>0049660135</b>		
<b>0033-</b>	-8.7	5
<b>0049663297</b>		
<b>0049-</b>	-8.7	6
<b>0001365534</b>		
<b>0049-</b>	-8.7	4
<b>0000432741</b>		
<b>0033-</b>	-8.7	5
<b>0049659553</b>		
<b>0049-</b>	-8.7	6
<b>0000432077</b>		
<b>0049-</b>	-8.7	6
<b>0001254902</b>		
<b>0049-</b>	-8.7	6
<b>0001523703</b>		
<b>0049-</b>	-8.7	3
<b>0000226865</b>		
<b>0049-</b>	-8.7	6
<b>0001365152</b>		
<b>0049-</b>	-8.7	7
<b>0001925558</b>		
<b>0049-</b>	-8.7	6
<b>0000453331</b>		
<b>0049-</b>	-8.6	6
<b>0000211567</b>		
<b>0033-</b>	-8.6	4
<b>0043601603</b>		
<b>0049-</b>	-8.6	5
<b>0001255107</b>		
<b>0049-</b>	-8.6	4
<b>0000227434</b>		
<b>0049-</b>	-8.6	4
<b>0001855699</b>		
<b>CHEMBL2180009</b>	-8.6	4
<b>0049-</b>	-8.6	5
<b>0001255108</b>		
<b>0049-</b>	-8.6	7
<b>0000430751</b>		
<b>0033-</b>	-8.6	6
<b>0049656384</b>		
<b>0033-</b>	-8.6	5
<b>0049658152</b>		
<b>0049-</b>	-8.6	6
<b>0000450616</b>		
<b>0049-</b>	-8.6	5
<b>0001365740</b>		
<b>0049-</b>	-8.5	5
<b>0000378664</b>		
<b>0049-</b>	-8.5	4
<b>0001523766</b>		
<b>0049-</b>	-8.5	7
<b>0000454521</b>		
<b>0049-</b>	-8.5	5

<b>0001709104</b>		
0049-	-8.5	4
<b>0001254924</b>		
0049-	-8.5	6
<b>0001947127</b>		
0049-	-8.5	4
<b>0001365212</b>		
0049-	-8.5	4
<b>0001255099</b>		
0049-	-8.5	5
<b>0000260184</b>		
0049-	-8.5	4
<b>0001254580</b>		
0049-	-8.5	3
<b>0001189511</b>		
0049-	-8.5	5
<b>0000429422</b>		
0049-	-8.5	4
<b>0000294371</b>		
0033-	-8.5	7
<b>0049658351</b>		
0049-	-8.5	5
<b>0001365739</b>		
0049-	-8.5	5
<b>0001359758</b>		
0049-	-8.5	7
<b>0001925559</b>		
0049-	-8.4	5
<b>0001236940</b>		
0049-	-8.4	5
<b>0000115837</b>		
0049-	-8.4	6
<b>0000208684</b>		
0049-	-8.4	6
<b>0001360337</b>		
0049-	-8.4	5
<b>0001358318</b>		
0049-	-8.4	4
<b>0000428895</b>		
0049-	-8.4	7
<b>0000266602</b>		
0049-	-8.4	3
<b>0000264890</b>		
0049-	-8.4	3
<b>0001855130</b>		
0049-	-8.4	4
<b>0001855698</b>		
0049-	-8.4	6
<b>0000379243</b>		
0033-	-8.4	6
<b>0049661977</b>		
0049-	-8.4	6
<b>0001358895</b>		
0033-	-8.4	6

<b>0049657001</b>		
0049-	-8.4	4
<b>0000226026</b>		
0049-	-8.4	6
<b>0000366495</b>		
0049-	-8.4	5
<b>0000260185</b>		
0049-	-8.3	5
<b>0001189783</b>		
0049-	-8.3	4
<b>0000114765</b>		
0033-	-8.3	4
<b>0034108390</b>		
0049-	-8.3	4
<b>0000116035</b>		
0049-	-8.3	4
<b>0001863649</b>		
0049-	-8.3	3
<b>0000052398</b>		
0049-	-8.3	4
<b>0000918295</b>		
0049-	-8.3	4
<b>0000052911</b>		
0049-	-8.3	4
<b>0001254137</b>		
0049-	-8.3	5
<b>0001933089</b>		
0049-	-8.3	4
<b>0001220313</b>		
0049-	-8.3	6
<b>0000747218</b>		
0049-	-8.3	4
<b>0001189209</b>		
0049-	-8.3	4
<b>0000045452</b>		
0049-	-8.3	5
<b>0000918870</b>		
0049-	-8.3	7
<b>0000210126</b>		
0049-	-8.3	4
<b>0001365731</b>		
0049-	-8.3	5
<b>0000268932</b>		
0049-	-8.3	6
<b>0000269509</b>		
0049-	-8.3	3
<b>0000114757</b>		
0049-	-8.3	4
<b>0001364769</b>		
0049-	-8.3	5
<b>0000265162</b>		
0049-	-8.3	5
<b>0001012784</b>		
0043-	-8.3	4

<b>0005261866</b>		
0049-	-8.3	5
<b>0000918869</b>		
0049-	-8.3	4
<b>0001365556</b>		
0049-	-8.3	3
<b>0000044938</b>		
0049-	-8.3	4
<b>0000259657</b>		
0049-	-8.3	5
<b>0001852815</b>		
0043-	-8.3	2
<b>0010816267</b>		
0049-	-8.3	5
<b>0001403700</b>		
0049-	-8.3	4
<b>0001210145</b>		
0049-	-8.3	5
<b>0000114530</b>		
0049-	-8.3	3
<b>0000148866</b>		
0049-	-8.3	4
<b>0001945694</b>		
0049-	-8.3	4
<b>0000149249</b>		
0049-	-8.3	4
<b>0000052912</b>		
0049-	-8.3	3
<b>0000116027</b>		
0049-	-8.3	4
<b>0000227433</b>		
0049-	-8.2	5
<b>0001403699</b>		
0049-	-8.2	4
<b>0000228840</b>		
0049-	-8.2	3
<b>0000043668</b>		
0033-	-8.2	4
<b>0049661068</b>		
0049-	-8.2	4
<b>0000224619</b>		
0049-	-8.2	5
<b>0001524335</b>		
0049-	-8.2	5
<b>0000294946</b>		
0049-	-8.2	4
<b>0000149248</b>		
0049-	-8.2	5
<b>0000294945</b>		
0049-	-8.2	4
<b>0000264588</b>		
0049-	-8.2	6
<b>0000339329</b>		
0049-	-8.2	4

<b>0001403125</b>		
0049-	-8.2	4
<b>0000044182</b>		
0049-	-8.2	4
<b>0001360065</b>		
0049-	-8.2	3
<b>0000026319</b>		
0049-	-8.2	4
<b>0000045451</b>		
0049-	-8.2	5
<b>0001524334</b>		
0049-	-8.2	4
<b>0000046722</b>		
0049-	-8.2	2
<b>0000114524</b>		
0049-	-8.1	2
<b>0000115794</b>		
0049-	-8.1	4
<b>0000032500</b>		
0049-	-8.1	5
<b>0000338752</b>		
0049-	-8.1	3
<b>0000114251</b>		
0049-	-8.1	5
<b>0000265163</b>		
0049-	-8.1	4
<b>0000044181</b>		
0049-	-8.1	4
<b>0000116034</b>		
0049-	-8.1	4
<b>0000114764</b>		
0049-	-8.1	4
<b>0000026883</b>		
0049-	-8.1	3
<b>0000115096</b>		
0049-	-8.1	5
<b>0001189784</b>		
0049-	-8.1	3
<b>0000046208</b>		
0049-	-8.1	5
<b>0001370230</b>		
0033-	-8.1	7
<b>0049659853</b>		
0033-	-8.1	6
<b>0044117623</b>		
0033-	-8.1	4
<b>0030921021</b>		
0033-	-8.1	6
<b>0049657879</b>		
0049-	-8.1	3
<b>0001365490</b>		
0049-	-8.1	5
<b>0000115800</b>		
0049-	-8	3

0000115521		
0049-	-8	5
0000108528		
0049-	-8	5
0000073953		
0033-	-8	5
0049658589		
0049-	-8	4
0001033554		
0033-	-8	6
0049660534		
0033-	-8	5
0049660645		
0033-	-8	6
0044114491		
0049-	-8	3
0000114594		
0043-	-8	4
0010818173		
0049-	-7.9	3
0000115864		
0049-	-7.9	3
0000113826		
0049-	-7.9	4
0000026882		
0033-	-7.9	5
0044120228		
0033-	-7.9	5
0044116764		
0049-	-7.9	4
0000046721		
0049-	-7.8	5
0001938907		
0049-	-7.8	4
0000032499		
0049-	-7.8	3
0000031936		
0043-	-7.7	4
0010817318		
0033-	-7.7	7
0044116998		
0049-	-7.7	4
0001358622		
0033-	-7.5	7
0044114959		
0033-	-7.5	4
0044115206		
0033-	-7.5	7
0049657548		

-AMG579

Compound	Energy	nRot
0045-	-11	0
0024779379		

<b>0033-</b>	-10.9	6
<b>0039583457</b>		
<b>0045-</b>	-10.7	0
<b>0024253745</b>		
<b>0043-</b>	-10.6	7
<b>0014822811</b>		
<b>0045-</b>	-10.2	0
<b>0025060370</b>		
<b>0045-</b>	-10.1	0
<b>0024253388</b>		
<b>0045-</b>	-10	0
<b>0024253286</b>		
<b>0045-</b>	-10	0
<b>0024259438</b>		
<b>0045-</b>	-10	12
<b>0024627735</b>		
<b>0044-</b>	-10	6
<b>0001075569</b>		
<b>0044-</b>	-9.9	6
<b>0000971488</b>		
<b>0045-</b>	-9.8	0
<b>0024253286</b>		
<b>0045-</b>	-9.8	0
<b>0025059498</b>		
<b>0044-</b>	-9.8	6
<b>0001108925</b>		
<b>0045-</b>	-9.8	0
<b>0024779379</b>		
<b>0045-</b>	-9.8	0
<b>0024627774</b>		
<b>0045-</b>	-9.7	0
<b>0024259438</b>		
<b>0045-</b>	-9.7	0
<b>0025059457</b>		
<b>0045-</b>	-9.7	0
<b>0025060370</b>		
<b>0044-</b>	-9.7	6
<b>0003441015</b>		
<b>0045-</b>	-9.7	0
<b>0024259438</b>		
<b>0045-</b>	-9.7	0
<b>0025059907</b>		
<b>0045-</b>	-9.7	12
<b>0024627701</b>		
<b>0045-</b>	-9.7	0
<b>0024254546</b>		
<b>0045-</b>	-9.6	0
<b>0025058213</b>		
<b>0045-</b>	-9.6	0
<b>0024256748</b>		
<b>0045-</b>	-9.6	6
<b>0012595305</b>		
<b>0045-</b>	-9.6	11
<b>0024627554</b>		

<b>0044-</b>	-9.6	7
<b>0003441155</b>		
<b>0045-</b>	-9.6	7
<b>0024252965</b>		
<b>0045-</b>	-9.6	0
<b>0024254546</b>		
<b>0045-</b>	-9.5	0
<b>0025059457</b>		
<b>0045-</b>	-9.5	11
<b>0024627554</b>		
<b>0045-</b>	-9.5	6
<b>0012595305</b>		
<b>0045-</b>	-9.5	12
<b>0024627701</b>		
<b>0045-</b>	-9.5	0
<b>0024253745</b>		
<b>0045-</b>	-9.5	0
<b>0024253709</b>		
<b>0045-</b>	-9.5	0
<b>0025058212</b>		
<b>0045-</b>	-9.5	0
<b>0024253709</b>		
<b>0033-</b>	-9.5	6
<b>0040602873</b>		
<b>0045-</b>	-9.4	0
<b>0024257116</b>		
<b>0045-</b>	-9.4	0
<b>0024256748</b>		
<b>0045-</b>	-9.4	0
<b>0025058213</b>		
<b>0044-</b>	-9.4	5
<b>0003294025</b>		
<b>0045-</b>	-9.4	0
<b>0025058212</b>		
<b>0045-</b>	-9.4	0
<b>0024253666</b>		
<b>0044-</b>	-9.4	7
<b>0003441176</b>		
<b>0045-</b>	-9.4	0
<b>0025059907</b>		
<b>0045-</b>	-9.4	6
<b>0024256642</b>		
<b>0045-</b>	-9.4	6
<b>0016245512</b>		
<b>0045-</b>	-9.3	6
<b>0025061612</b>		
<b>0045-</b>	-9.3	0
<b>0024256988</b>		
<b>0045-</b>	-9.3	8
<b>0024259335</b>		
<b>0045-</b>	-9.3	0
<b>0024259438</b>		
<b>0045-</b>	-9.3	6
<b>0024254661</b>		

<b>0045-</b>	-9.3	6
<b>0024254661</b>		
<b>0044-</b>	-9.3	6
<b>0003294165</b>		
<b>0045-</b>	-9.3	6
<b>0024674128</b>		
<b>0045-</b>	-9.3	0
<b>0024253666</b>		
<b>0033-</b>	-9.3	6
<b>0040857607</b>		
<b>0045-</b>	-9.3	6
<b>0024674128</b>		
<b>0045-</b>	-9.2	0
<b>0025063036</b>		
<b>0044-</b>	-9.2	6
<b>0003301314</b>		
<b>0033-</b>	-9.2	5
<b>0039584467</b>		
<b>0045-</b>	-9.2	7
<b>0012595448</b>		
<b>0033-</b>	-9.2	5
<b>0039582946</b>		
<b>0045-</b>	-9.2	6
<b>0025061612</b>		
<b>0045-</b>	-9.2	0
<b>0024253388</b>		
<b>0045-</b>	-9.2	6
<b>0016245512</b>		
<b>0045-</b>	-9.2	12
<b>0024627735</b>		
<b>0045-</b>	-9.1	0
<b>0024255036</b>		
<b>0045-</b>	-9.1	0
<b>0024627774</b>		
<b>0045-</b>	-9.1	6
<b>0024255281</b>		
<b>0045-</b>	-9.1	6
<b>0024256888</b>		
<b>0045-</b>	-9.1	7
<b>0016245655</b>		
<b>0045-</b>	-9.1	7
<b>0024255523</b>		
<b>0033-</b>	-9.1	6
<b>0040610489</b>		
<b>0045-</b>	-9.1	7
<b>0012595448</b>		
<b>0045-</b>	-9.1	6
<b>0024259592</b>		
<b>0045-</b>	-9	6
<b>0024256642</b>		
<b>0045-</b>	-9	6
<b>0024259592</b>		
<b>0033-</b>	-9	6
<b>0040602756</b>		

0045-	-9	0
<b>0024253812</b>		
0045-	-9	6
<b>0024781956</b>		
0045-	-9	6
<b>0025062983</b>		
0044-	-9	6
<b>0003294164</b>		
0045-	-9	0
<b>0024255374</b>		
0045-	-8.9	0
<b>0024253812</b>		
0045-	-8.9	9
<b>0025061842</b>		
0045-	-8.9	0
<b>0002768819</b>		
0033-	-8.9	5
<b>0039582829</b>		
0045-	-8.9	0
<b>0024253271</b>		
0033-	-8.9	6
<b>0040612012</b>		
0044-	-8.9	10
<b>0003385363</b>		
0045-	-8.9	6
<b>0025062983</b>		
0045-	-8.9	6
<b>0024256888</b>		
0045-	-8.9	0
<b>0024257116</b>		
0033-	-8.8	6
<b>0040859130</b>		
0045-	-8.8	7
<b>0016245654</b>		
0045-	-8.8	6
<b>0025061499</b>		
0045-	-8.8	7
<b>0024255014</b>		
0044-	-8.8	6
<b>0001642465</b>		
0045-	-8.8	7
<b>0024253477</b>		
0045-	-8.8	0
<b>0024256988</b>		
0033-	-8.8	6
<b>0040610372</b>		
0045-	-8.8	7
<b>0016245655</b>		
0044-	-8.8	11
<b>0003385502</b>		
0045-	-8.8	7
<b>0016245689</b>		
0045-	-8.8	9
<b>0025061842</b>		

0045-	-8.8	7
<b>0024259323</b>		
0033-	-8.8	6
<b>0040604396</b>		
0045-	-8.8	6
<b>0024781956</b>		
0045-	-8.7	0
<b>0025063036</b>		
0045-	-8.7	7
<b>0024253872</b>		
0045-	-8.7	0
<b>0025059498</b>		
0045-	-8.7	9
<b>0025059752</b>		
0045-	-8.7	0
<b>0024256748</b>		
0044-	-8.7	11
<b>0003385504</b>		
0045-	-8.7	0
<b>0024257813</b>		
0045-	-8.7	7
<b>0024256925</b>		
0045-	-8.7	0
<b>0024253601</b>		
0045-	-8.7	9
<b>0025059752</b>		
0044-	-8.7	11
<b>0003385503</b>		
0045-	-8.7	0
<b>0024255036</b>		
0045-	-8.7	8
<b>0024256870</b>		
0045-	-8.6	0
<b>0024253623</b>		
0045-	-8.6	7
<b>0024255013</b>		
0045-	-8.6	6
<b>0024255281</b>		
0045-	-8.6	7
<b>0024256192</b>		
0044-	-8.6	7
<b>0003441188</b>		
0033-	-8.6	2
<b>0022564703</b>		
0045-	-8.6	8
<b>0024253696</b>		
0045-	-8.6	7
<b>0024257045</b>		
0044-	-8.6	6
<b>0000846195</b>		
0045-	-8.6	7
<b>0024253872</b>		
0045-	-8.6	8
<b>0024259335</b>		

<b>0045-</b>	-8.6	0
<b>0024253769</b>		
<b>0045-</b>	-8.6	7
<b>0024256192</b>		
<b>0045-</b>	-8.6	7
<b>0024257045</b>		
<b>0045-</b>	-8.6	10
<b>0024256766</b>		
<b>0033-</b>	-8.6	6
<b>0040775621</b>		
<b>0044-</b>	-8.6	6
<b>0003428245</b>		
<b>0045-</b>	-8.6	7
<b>0024253880</b>		
<b>0045-</b>	-8.6	0
<b>0025059986</b>		
<b>0045-</b>	-8.6	10
<b>0025064320</b>		
<b>0045-</b>	-8.6	7
<b>0016245654</b>		
<b>0045-</b>	-8.6	8
<b>0024254173</b>		
<b>0045-</b>	-8.6	8
<b>0024259331</b>		
<b>0045-</b>	-8.5	0
<b>0024256748</b>		
<b>0045-</b>	-8.5	0
<b>0024779272</b>		
<b>0045-</b>	-8.5	0
<b>0024258278</b>		
<b>0044-</b>	-8.5	0
<b>0003385986</b>		
<b>0044-</b>	-8.5	6
<b>0003294198</b>		
<b>0045-</b>	-8.5	7
<b>0024253477</b>		
<b>0045-</b>	-8.5	0
<b>0025059986</b>		
<b>0045-</b>	-8.5	9
<b>0025058442</b>		
<b>0045-</b>	-8.5	7
<b>0024255014</b>		
<b>0045-</b>	-8.5	0
<b>0024253769</b>		
<b>0045-</b>	-8.5	6
<b>0024258248</b>		
<b>0045-</b>	-8.5	10
<b>0025064320</b>		
<b>0045-</b>	-8.5	0
<b>0024257813</b>		
<b>0045-</b>	-8.5	0
<b>0024255374</b>		
<b>0045-</b>	-8.5	0
<b>0024253569</b>		

0045-	-8.5	7
<b>0024252965</b>		
0044-	-8.4	7
<b>0005895291</b>		
0045-	-8.4	7
<b>0024256192</b>		
0045-	-8.4	7
<b>0024254776</b>		
0033-	-8.4	6
<b>0040775504</b>		
0045-	-8.4	0
<b>0024253569</b>		
0045-	-8.4	7
<b>0024255013</b>		
0045-	-8.4	8
<b>0024259331</b>		
0044-	-8.4	5
<b>0002348926</b>		
0033-	-8.4	5
<b>0040859185</b>		
0045-	-8.4	9
<b>0025058464</b>		
0033-	-8.4	6
<b>0040857490</b>		
0045-	-8.4	8
<b>0024254747</b>		
0045-	-8.4	7
<b>0024255523</b>		
0045-	-8.4	7
<b>0024253215</b>		
0045-	-8.4	6
<b>0024781845</b>		
0045-	-8.4	6
<b>0024258747</b>		
0045-	-8.3	8
<b>0024254787</b>		
0045-	-8.3	0
<b>0024257807</b>		
0045-	-8.3	8
<b>0025057976</b>		
0045-	-8.3	6
<b>0024781845</b>		
0045-	-8.3	0
<b>0024255146</b>		
0045-	-8.3	10
<b>0024784359</b>		
0045-	-8.3	8
<b>0024253768</b>		
0045-	-8.3	7
<b>0024256178</b>		
0045-	-8.3	9
<b>0025061882</b>		
0045-	-8.3	8
<b>0024253696</b>		

0045-	-8.3	0
<b>0024779272</b>		
0045-	-8.3	8
<b>0024254173</b>		
0045-	-8.3	7
<b>0024257763</b>		
0045-	-8.3	7
<b>0024257045</b>		
0045-	-8.2	10
<b>0025061490</b>		
0045-	-8.2	0
<b>0024253683</b>		
0045-	-8.2	7
<b>0025063385</b>		
0045-	-8.2	8
<b>0024254747</b>		
0045-	-8.2	0
<b>0024258278</b>		
0045-	-8.2	8
<b>0024256870</b>		
0044-	-8.2	5
<b>0004031274</b>		
0045-	-8.2	5
<b>0024253017</b>		
0045-	-8.2	0
<b>0024255645</b>		
0044-	-8.2	6
<b>0001062078</b>		
0045-	-8.2	0
<b>0024253271</b>		
0044-	-8.2	6
<b>0002349063</b>		
0045-	-8.2	8
<b>0025057976</b>		
0045-	-8.2	8
<b>0025059496</b>		
0045-	-8.2	10
<b>0024256210</b>		
0045-	-8.2	6
<b>0024256775</b>		
0045-	-8.2	0
<b>0024253601</b>		
0044-	-8.2	10
<b>0003384025</b>		
0045-	-8.1	8
<b>0024254115</b>		
0045-	-8.1	0
<b>0024253471</b>		
0044-	-8.1	11
<b>0003385524</b>		
0045-	-8.1	6
<b>0025061743</b>		
0045-	-8.1	0
<b>0024255645</b>		

0045-	-8.1	0
<b>0024253471</b>		
0045-	-8.1	7
<b>0024254422</b>		
0045-	-8.1	10
<b>0024256210</b>		
0045-	-8.1	0
<b>0024253472</b>		
0045-	-8.1	7
<b>0024256178</b>		
0045-	-8.1	10
<b>0025061490</b>		
0044-	-8.1	6
<b>0002349064</b>		
0045-	-8.1	8
<b>0024253563</b>		
0045-	-8.1	8
<b>0024254549</b>		
0045-	-8.1	0
<b>0024253683</b>		
0045-	-8.1	8
<b>0024255187</b>		
0045-	-8	5
<b>0024253907</b>		
0045-	-8	7
<b>0024254776</b>		
0044-	-8	6
<b>0002532617</b>		
0045-	-8	8
<b>0025058043</b>		
0045-	-8	8
<b>0024254115</b>		
0045-	-8	8
<b>0024253276</b>		
0045-	-8	6
<b>0025061743</b>		
0045-	-8	7
<b>0016245689</b>		
0045-	-8	6
<b>0025061499</b>		
0045-	-8	8
<b>0024254785</b>		
0044-	-8	10
<b>0003385576</b>		
0045-	-8	0
<b>0024253623</b>		
0045-	-8	5
<b>0024256165</b>		
0045-	-8	0
<b>0024257807</b>		
0045-	-8	7
<b>0024253215</b>		
0045-	-8	6
<b>0024256783</b>		

0045-	-8	6
<b>0024256783</b>		
0045-	-8	6
<b>0024257374</b>		
0044-	-8	5
<b>0002349134</b>		
0045-	-7.9	7
<b>0024257763</b>		
0045-	-7.9	8
<b>0024253512</b>		
0045-	-7.9	10
<b>0024784359</b>		
0045-	-7.9	6
<b>0024258248</b>		
0045-	-7.9	9
<b>0024255610</b>		
0045-	-7.9	8
<b>0024253563</b>		
0045-	-7.9	9
<b>0025058442</b>		
0045-	-7.9	7
<b>0024254422</b>		
0045-	-7.9	5
<b>0024253678</b>		
0045-	-7.9	8
<b>0025059496</b>		
0045-	-7.9	8
<b>0024253432</b>		
0044-	-7.9	8
<b>0004028359</b>		
0045-	-7.9	6
<b>0024256775</b>		
0045-	-7.9	7
<b>0024253880</b>		
0045-	-7.9	10
<b>0024259578</b>		
0044-	-7.9	7
<b>0004028153</b>		
0045-	-7.9	9
<b>0024255628</b>		
0045-	-7.8	5
<b>0024253017</b>		
0045-	-7.8	6
<b>0024255905</b>		
0044-	-7.8	4
<b>0004029904</b>		
0045-	-7.8	8
<b>0024254549</b>		
0044-	-7.8	6
<b>0002349096</b>		
0045-	-7.8	9
<b>0024256822</b>		
0045-	-7.8	0
<b>0024255146</b>		

0045-	-7.8	6
<b>0025058301</b>		
0045-	-7.8	8
<b>0024253768</b>		
0045-	-7.8	7
<b>0024256992</b>		
0045-	-7.8	6
<b>0025063013</b>		
0045-	-7.8	5
<b>0024256165</b>		
0045-	-7.8	5
<b>0024256165</b>		
0045-	-7.8	8
<b>0024252955</b>		
0045-	-7.8	9
<b>0024255409</b>		
0045-	-7.8	8
<b>0025058187</b>		
0045-	-7.8	7
<b>0024259323</b>		
0045-	-7.8	8
<b>0024253276</b>		
0045-	-7.8	9
<b>0024256822</b>		
0045-	-7.8	0
<b>0024253471</b>		
0044-	-7.7	9
<b>0004033847</b>		
0045-	-7.7	8
<b>0025061772</b>		
0045-	-7.7	0
<b>0024253471</b>		
0045-	-7.7	9
<b>0024255135</b>		
0045-	-7.7	10
<b>0025059957</b>		
0045-	-7.7	8
<b>0024253381</b>		
0045-	-7.7	8
<b>0024253513</b>		
0045-	-7.7	8
<b>0025058223</b>		
0044-	-7.7	5
<b>0004032590</b>		
0045-	-7.7	5
<b>0024253907</b>		
0045-	-7.7	8
<b>0024254115</b>		
0045-	-7.7	9
<b>0024256822</b>		
0045-	-7.7	10
<b>0024259578</b>		
0045-	-7.7	0
<b>0024253472</b>		

<b>0045-</b>	<b>-7.7</b>	<b>9</b>
<b>0024255135</b>		
<b>0045-</b>	<b>-7.7</b>	<b>7</b>
<b>0024256925</b>		
<b>0045-</b>	<b>-7.7</b>	<b>7</b>
<b>0025063385</b>		
<b>0045-</b>	<b>-7.7</b>	<b>6</b>
<b>0024257019</b>		
<b>0045-</b>	<b>-7.7</b>	<b>8</b>
<b>0024253000</b>		
<b>0045-</b>	<b>-7.7</b>	<b>7</b>
<b>0024255592</b>		
<b>0045-</b>	<b>-7.7</b>	<b>9</b>
<b>0025063691</b>		
<b>0045-</b>	<b>-7.7</b>	<b>7</b>
<b>0024253274</b>		
<b>0045-</b>	<b>-7.7</b>	<b>8</b>
<b>0025058064</b>		
<b>0045-</b>	<b>-7.7</b>	<b>7</b>
<b>0024253632</b>		
<b>0045-</b>	<b>-7.7</b>	<b>9</b>
<b>0024255610</b>		
<b>0045-</b>	<b>-7.7</b>	<b>6</b>
<b>0024256806</b>		
<b>0045-</b>	<b>-7.7</b>	<b>6</b>
<b>0025063013</b>		
<b>0045-</b>	<b>-7.6</b>	<b>7</b>
<b>0024256970</b>		
<b>0045-</b>	<b>-7.6</b>	<b>11</b>
<b>0024254073</b>		
<b>0045-</b>	<b>-7.6</b>	<b>10</b>
<b>0024253453</b>		
<b>0045-</b>	<b>-7.6</b>	<b>7</b>
<b>0024256970</b>		
<b>0045-</b>	<b>-7.6</b>	<b>7</b>
<b>0024253632</b>		
<b>0045-</b>	<b>-7.6</b>	<b>6</b>
<b>0025058383</b>		
<b>0045-</b>	<b>-7.6</b>	<b>9</b>
<b>0025058464</b>		
<b>0045-</b>	<b>-7.6</b>	<b>8</b>
<b>0024253513</b>		
<b>0045-</b>	<b>-7.6</b>	<b>8</b>
<b>0024255648</b>		
<b>0044-</b>	<b>-7.6</b>	<b>11</b>
<b>0003385536</b>		
<b>0045-</b>	<b>-7.6</b>	<b>11</b>
<b>0024254257</b>		
<b>0045-</b>	<b>-7.6</b>	<b>9</b>
<b>0024253558</b>		
<b>0045-</b>	<b>-7.6</b>	<b>10</b>
<b>0024253453</b>		
<b>0045-</b>	<b>-7.6</b>	<b>7</b>
<b>0024783540</b>		

<b>0045-</b>	-7.6	11
<b>0024254257</b>		
<b>0045-</b>	-7.6	5
<b>0024253017</b>		
<b>0045-</b>	-7.6	7
<b>0025058313</b>		
<b>0045-</b>	-7.6	10
<b>0025059957</b>		
<b>0045-</b>	-7.6	7
<b>0024259323</b>		
<b>0045-</b>	-7.6	6
<b>0025060367</b>		
<b>0045-</b>	-7.6	7
<b>0025058313</b>		
<b>0045-</b>	-7.6	8
<b>0024253452</b>		
<b>0045-</b>	-7.6	5
<b>0024253907</b>		
<b>0044-</b>	-7.6	5
<b>0004031167</b>		
<b>0045-</b>	-7.6	8
<b>0025058064</b>		
<b>0045-</b>	-7.6	8
<b>0025058223</b>		
<b>0044-</b>	-7.6	6
<b>0002349085</b>		
<b>0045-</b>	-7.6	9
<b>0024254925</b>		
<b>0045-</b>	-7.6	7
<b>0024254119</b>		
<b>0045-</b>	-7.6	8
<b>0025057975</b>		
<b>0045-</b>	-7.5	10
<b>0025063693</b>		
<b>0045-</b>	-7.5	10
<b>0024256766</b>		
<b>0045-</b>	-7.5	9
<b>0024255610</b>		
<b>0045-</b>	-7.5	7
<b>0024253613</b>		
<b>0045-</b>	-7.5	7
<b>0025058313</b>		
<b>0045-</b>	-7.5	7
<b>0025057963</b>		
<b>0045-</b>	-7.5	9
<b>0024252950</b>		
<b>0045-</b>	-7.5	9
<b>0024254497</b>		
<b>0045-</b>	-7.5	7
<b>0024258650</b>		
<b>0045-</b>	-7.5	9
<b>0024255628</b>		
<b>0045-</b>	-7.5	9
<b>0025061882</b>		

<b>0045-</b>	<b>-7.5</b>	<b>7</b>
<b>0024256992</b>		
<b>0045-</b>	<b>-7.5</b>	<b>8</b>
<b>0024255648</b>		
<b>0045-</b>	<b>-7.5</b>	<b>5</b>
<b>0024253153</b>		
<b>0045-</b>	<b>-7.5</b>	<b>9</b>
<b>0025058998</b>		
<b>0045-</b>	<b>-7.5</b>	<b>6</b>
<b>0024253169</b>		
<b>0045-</b>	<b>-7.5</b>	<b>7</b>
<b>0024259323</b>		
<b>0045-</b>	<b>-7.5</b>	<b>9</b>
<b>0025058998</b>		
<b>0045-</b>	<b>-7.5</b>	<b>7</b>
<b>0025058295</b>		
<b>0045-</b>	<b>-7.5</b>	<b>10</b>
<b>0024255237</b>		
<b>0045-</b>	<b>-7.5</b>	<b>8</b>
<b>0024253512</b>		
<b>0045-</b>	<b>-7.5</b>	<b>9</b>
<b>0024258957</b>		
<b>0045-</b>	<b>-7.5</b>	<b>6</b>
<b>0025058301</b>		
<b>0045-</b>	<b>-7.5</b>	<b>5</b>
<b>0024253678</b>		
<b>0045-</b>	<b>-7.5</b>	<b>9</b>
<b>0024255135</b>		
<b>0045-</b>	<b>-7.5</b>	<b>6</b>
<b>0025058383</b>		
<b>0045-</b>	<b>-7.5</b>	<b>6</b>
<b>0024257374</b>		
<b>0045-</b>	<b>-7.5</b>	<b>8</b>
<b>0024253343</b>		
<b>0045-</b>	<b>-7.5</b>	<b>8</b>
<b>0025058165</b>		
<b>0045-</b>	<b>-7.4</b>	<b>5</b>
<b>0024253017</b>		
<b>0045-</b>	<b>-7.4</b>	<b>9</b>
<b>0024254303</b>		
<b>0045-</b>	<b>-7.4</b>	<b>7</b>
<b>0024783540</b>		
<b>0045-</b>	<b>-7.4</b>	<b>7</b>
<b>0024258650</b>		
<b>0045-</b>	<b>-7.4</b>	<b>7</b>
<b>0025057963</b>		
<b>0045-</b>	<b>-7.4</b>	<b>9</b>
<b>0025057649</b>		
<b>0045-</b>	<b>-7.4</b>	<b>8</b>
<b>0024253487</b>		
<b>0045-</b>	<b>-7.4</b>	<b>7</b>
<b>0025057993</b>		
<b>0045-</b>	<b>-7.4</b>	<b>10</b>
<b>0024255237</b>		

<b>0045-</b>	<b>-7.4</b>	<b>9</b>
<b>0024253558</b>		
<b>0045-</b>	<b>-7.4</b>	<b>8</b>
<b>0024254141</b>		
<b>0045-</b>	<b>-7.4</b>	<b>11</b>
<b>0024254073</b>		
<b>0045-</b>	<b>-7.4</b>	<b>8</b>
<b>0024253452</b>		
<b>0045-</b>	<b>-7.4</b>	<b>8</b>
<b>0024253381</b>		
<b>0045-</b>	<b>-7.4</b>	<b>9</b>
<b>0024257154</b>		
<b>0045-</b>	<b>-7.4</b>	<b>7</b>
<b>0024256192</b>		
<b>0045-</b>	<b>-7.4</b>	<b>9</b>
<b>0025063691</b>		
<b>0045-</b>	<b>-7.4</b>	<b>9</b>
<b>0024257156</b>		
<b>0045-</b>	<b>-7.4</b>	<b>8</b>
<b>0024253487</b>		
<b>0045-</b>	<b>-7.4</b>	<b>10</b>
<b>0025063693</b>		
<b>0045-</b>	<b>-7.4</b>	<b>8</b>
<b>0025057975</b>		
<b>0045-</b>	<b>-7.4</b>	<b>9</b>
<b>0024255409</b>		
<b>0045-</b>	<b>-7.4</b>	<b>6</b>
<b>0024256913</b>		
<b>0045-</b>	<b>-7.4</b>	<b>8</b>
<b>0024255187</b>		
<b>0045-</b>	<b>-7.4</b>	<b>9</b>
<b>0024254925</b>		
<b>0045-</b>	<b>-7.4</b>	<b>7</b>
<b>0024255592</b>		
<b>0045-</b>	<b>-7.4</b>	<b>5</b>
<b>0024256721</b>		
<b>0045-</b>	<b>-7.4</b>	<b>8</b>
<b>0025058187</b>		
<b>0045-</b>	<b>-7.4</b>	<b>6</b>
<b>0024255905</b>		
<b>0045-</b>	<b>-7.4</b>	<b>8</b>
<b>0025058043</b>		
<b>0045-</b>	<b>-7.4</b>	<b>7</b>
<b>0024253632</b>		
<b>0045-</b>	<b>-7.4</b>	<b>5</b>
<b>0024256165</b>		
<b>0045-</b>	<b>-7.4</b>	<b>7</b>
<b>0024257045</b>		
<b>0045-</b>	<b>-7.4</b>	<b>5</b>
<b>0024253153</b>		
<b>0045-</b>	<b>-7.4</b>	<b>9</b>
<b>0024254497</b>		
<b>0045-</b>	<b>-7.4</b>	<b>9</b>
<b>0024258957</b>		

<b>0045-</b>	<b>-7.4</b>	<b>9</b>
<b>0025063691</b>		
<b>0045-</b>	<b>-7.4</b>	<b>9</b>
<b>0024253558</b>		
<b>0045-</b>	<b>-7.4</b>	<b>10</b>
<b>0025063693</b>		
<b>0045-</b>	<b>-7.4</b>	<b>8</b>
<b>0025061772</b>		
<b>0045-</b>	<b>-7.4</b>	<b>6</b>
<b>0024256913</b>		
<b>0045-</b>	<b>-7.3</b>	<b>5</b>
<b>0024253907</b>		
<b>0045-</b>	<b>-7.3</b>	<b>8</b>
<b>0025058064</b>		
<b>0045-</b>	<b>-7.3</b>	<b>7</b>
<b>0024253632</b>		
<b>0045-</b>	<b>-7.3</b>	<b>8</b>
<b>0024253275</b>		
<b>0045-</b>	<b>-7.3</b>	<b>7</b>
<b>0025058295</b>		
<b>0045-</b>	<b>-7.3</b>	<b>9</b>
<b>0024255135</b>		
<b>0045-</b>	<b>-7.3</b>	<b>8</b>
<b>0024253523</b>		
<b>0045-</b>	<b>-7.3</b>	<b>8</b>
<b>0024253364</b>		
<b>0045-</b>	<b>-7.3</b>	<b>6</b>
<b>0024258747</b>		
<b>0045-</b>	<b>-7.3</b>	<b>7</b>
<b>0024253479</b>		
<b>0045-</b>	<b>-7.3</b>	<b>11</b>
<b>0024253490</b>		
<b>0045-</b>	<b>-7.3</b>	<b>8</b>
<b>0024257016</b>		
<b>0045-</b>	<b>-7.3</b>	<b>7</b>
<b>0024252919</b>		
<b>0045-</b>	<b>-7.3</b>	<b>7</b>
<b>0024253595</b>		
<b>0045-</b>	<b>-7.3</b>	<b>9</b>
<b>0024258954</b>		
<b>0045-</b>	<b>-7.3</b>	<b>8</b>
<b>0024782108</b>		
<b>0045-</b>	<b>-7.3</b>	<b>5</b>
<b>0024258301</b>		
<b>0045-</b>	<b>-7.3</b>	<b>5</b>
<b>0024255266</b>		
<b>0045-</b>	<b>-7.3</b>	<b>8</b>
<b>0024253452</b>		
<b>0045-</b>	<b>-7.3</b>	<b>6</b>
<b>0024253244</b>		
<b>0045-</b>	<b>-7.3</b>	<b>7</b>
<b>0024253613</b>		
<b>0045-</b>	<b>-7.3</b>	<b>8</b>
<b>0024258734</b>		

<b>0045-</b>	<b>-7.3</b>	<b>7</b>
<b>0024253261</b>		
<b>0045-</b>	<b>-7.3</b>	<b>10</b>
<b>0025063693</b>		
<b>0045-</b>	<b>-7.3</b>	<b>8</b>
<b>0024253500</b>		
<b>0045-</b>	<b>-7.3</b>	<b>8</b>
<b>0024253500</b>		
<b>0045-</b>	<b>-7.3</b>	<b>9</b>
<b>0025061882</b>		
<b>0045-</b>	<b>-7.2</b>	<b>8</b>
<b>0024253444</b>		
<b>0045-</b>	<b>-7.2</b>	<b>7</b>
<b>0025058158</b>		
<b>0045-</b>	<b>-7.2</b>	<b>8</b>
<b>0024254141</b>		
<b>0045-</b>	<b>-7.2</b>	<b>8</b>
<b>0024253452</b>		
<b>0045-</b>	<b>-7.2</b>	<b>7</b>
<b>0024253613</b>		
<b>0045-</b>	<b>-7.2</b>	<b>9</b>
<b>0024252950</b>		
<b>0045-</b>	<b>-7.2</b>	<b>8</b>
<b>0024253343</b>		
<b>0045-</b>	<b>-7.2</b>	<b>5</b>
<b>0024256721</b>		
<b>0045-</b>	<b>-7.2</b>	<b>5</b>
<b>0024253474</b>		
<b>0045-</b>	<b>-7.2</b>	<b>9</b>
<b>0024257156</b>		
<b>0045-</b>	<b>-7.2</b>	<b>8</b>
<b>0024253364</b>		
<b>0045-</b>	<b>-7.2</b>	<b>7</b>
<b>0024253277</b>		
<b>0045-</b>	<b>-7.2</b>	<b>6</b>
<b>0025060367</b>		
<b>0045-</b>	<b>-7.2</b>	<b>7</b>
<b>0024253277</b>		
<b>0045-</b>	<b>-7.2</b>	<b>8</b>
<b>0025058064</b>		
<b>0045-</b>	<b>-7.2</b>	<b>6</b>
<b>0024257019</b>		
<b>0045-</b>	<b>-7.2</b>	<b>6</b>
<b>0024253169</b>		
<b>0045-</b>	<b>-7.2</b>	<b>9</b>
<b>0024254925</b>		
<b>0045-</b>	<b>-7.2</b>	<b>7</b>
<b>0024253562</b>		
<b>0045-</b>	<b>-7.2</b>	<b>8</b>
<b>0024253000</b>		
<b>0045-</b>	<b>-7.2</b>	<b>5</b>
<b>0024258301</b>		
<b>0045-</b>	<b>-7.2</b>	<b>9</b>
<b>0024254925</b>		

<b>0045-</b>	<b>-7.2</b>	<b>7</b>
<b>0024253562</b>		
<b>0045-</b>	<b>-7.2</b>	<b>7</b>
<b>0024252919</b>		
<b>0045-</b>	<b>-7.2</b>	<b>8</b>
<b>0025058165</b>		
<b>0045-</b>	<b>-7.2</b>	<b>7</b>
<b>0024253261</b>		
<b>0045-</b>	<b>-7.2</b>	<b>7</b>
<b>0024253274</b>		
<b>0045-</b>	<b>-7.2</b>	<b>8</b>
<b>0024253284</b>		
<b>0045-</b>	<b>-7.2</b>	<b>9</b>
<b>0025057649</b>		
<b>0045-</b>	<b>-7.2</b>	<b>9</b>
<b>0024256822</b>		
<b>0045-</b>	<b>-7.2</b>	<b>9</b>
<b>0024257156</b>		
<b>0045-</b>	<b>-7.1</b>	<b>5</b>
<b>0024258993</b>		
<b>0045-</b>	<b>-7.1</b>	<b>9</b>
<b>0025061882</b>		
<b>0045-</b>	<b>-7.1</b>	<b>8</b>
<b>0024253444</b>		
<b>0045-</b>	<b>-7.1</b>	<b>9</b>
<b>0024258954</b>		
<b>0045-</b>	<b>-7.1</b>	<b>8</b>
<b>0024254787</b>		
<b>0045-</b>	<b>-7.1</b>	<b>6</b>
<b>0024256806</b>		
<b>0045-</b>	<b>-7.1</b>	<b>7</b>
<b>0024253479</b>		
<b>0045-</b>	<b>-7.1</b>	<b>11</b>
<b>0024254072</b>		
<b>0045-</b>	<b>-7.1</b>	<b>6</b>
<b>0024257374</b>		
<b>0045-</b>	<b>-7.1</b>	<b>8</b>
<b>0024253999</b>		
<b>0045-</b>	<b>-7.1</b>	<b>8</b>
<b>0024253275</b>		
<b>0045-</b>	<b>-7.1</b>	<b>10</b>
<b>0024258956</b>		
<b>0045-</b>	<b>-7.1</b>	<b>8</b>
<b>0024253999</b>		
<b>0045-</b>	<b>-7.1</b>	<b>7</b>
<b>0024253613</b>		
<b>0045-</b>	<b>-7.1</b>	<b>8</b>
<b>0024253355</b>		
<b>0045-</b>	<b>-7.1</b>	<b>7</b>
<b>0024253293</b>		
<b>0045-</b>	<b>-7.1</b>	<b>11</b>
<b>0024254257</b>		
<b>0045-</b>	<b>-7.1</b>	<b>7</b>
<b>0024253263</b>		

<b>0045-</b>	<b>-7.1</b>	<b>6</b>
<b>0024257374</b>		
<b>0045-</b>	<b>-7.1</b>	<b>11</b>
<b>0024254257</b>		
<b>0045-</b>	<b>-7.1</b>	<b>8</b>
<b>0024254104</b>		
<b>0045-</b>	<b>-7.1</b>	<b>5</b>
<b>0024255266</b>		
<b>0045-</b>	<b>-7.1</b>	<b>10</b>
<b>0024258956</b>		
<b>0045-</b>	<b>-7.1</b>	<b>7</b>
<b>0024253479</b>		
<b>0045-</b>	<b>-7.1</b>	<b>9</b>
<b>0024254303</b>		
<b>0045-</b>	<b>-7.1</b>	<b>11</b>
<b>0024253490</b>		
<b>0045-</b>	<b>-7.1</b>	<b>8</b>
<b>0024253500</b>		
<b>0045-</b>	<b>-7.1</b>	<b>8</b>
<b>0024253364</b>		
<b>0045-</b>	<b>-7.1</b>	<b>10</b>
<b>0024258956</b>		
<b>0045-</b>	<b>-7.1</b>	<b>9</b>
<b>0024255610</b>		
<b>0045-</b>	<b>-7.1</b>	<b>8</b>
<b>0024257047</b>		
<b>0045-</b>	<b>-7.1</b>	<b>7</b>
<b>0025057993</b>		
<b>0044-</b>	<b>-7.1</b>	<b>7</b>
<b>0004028154</b>		
<b>0045-</b>	<b>-7</b>	<b>8</b>
<b>0024257016</b>		
<b>0045-</b>	<b>-7</b>	<b>6</b>
<b>0024253244</b>		
<b>0045-</b>	<b>-7</b>	<b>10</b>
<b>0024254000</b>		
<b>0045-</b>	<b>-7</b>	<b>8</b>
<b>0024253500</b>		
<b>0045-</b>	<b>-7</b>	<b>7</b>
<b>0024253458</b>		
<b>0045-</b>	<b>-7</b>	<b>10</b>
<b>0024258956</b>		
<b>0045-</b>	<b>-7</b>	<b>9</b>
<b>0024258954</b>		
<b>0045-</b>	<b>-7</b>	<b>9</b>
<b>0024253558</b>		
<b>0045-</b>	<b>-7</b>	<b>11</b>
<b>0024254072</b>		
<b>0045-</b>	<b>-7</b>	<b>7</b>
<b>0024253479</b>		
<b>0045-</b>	<b>-7</b>	<b>9</b>
<b>0024257156</b>		
<b>0045-</b>	<b>-7</b>	<b>8</b>
<b>0024253444</b>		

<b>0045-</b>	<b>-7</b>	<b>9</b>
<b>0025063691</b>		
<b>0045-</b>	<b>-7</b>	<b>11</b>
<b>0024253490</b>		
<b>0045-</b>	<b>-7</b>	<b>8</b>
<b>0024258734</b>		
<b>0045-</b>	<b>-7</b>	<b>8</b>
<b>0024253432</b>		
<b>0045-</b>	<b>-7</b>	<b>8</b>
<b>0024253355</b>		
<b>0045-</b>	<b>-7</b>	<b>8</b>
<b>0024253465</b>		
<b>0045-</b>	<b>-7</b>	<b>7</b>
<b>0024253458</b>		
<b>0045-</b>	<b>-7</b>	<b>11</b>
<b>0024253490</b>		
<b>0045-</b>	<b>-7</b>	<b>7</b>
<b>0025058313</b>		
<b>0045-</b>	<b>-6.9</b>	<b>5</b>
<b>0024258993</b>		
<b>0045-</b>	<b>-6.9</b>	<b>7</b>
<b>0024253595</b>		
<b>0045-</b>	<b>-6.9</b>	<b>7</b>
<b>0024252966</b>		
<b>0045-</b>	<b>-6.9</b>	<b>8</b>
<b>0024253285</b>		
<b>0045-</b>	<b>-6.9</b>	<b>8</b>
<b>0024782108</b>		
<b>0045-</b>	<b>-6.9</b>	<b>8</b>
<b>0024253523</b>		
<b>0045-</b>	<b>-6.9</b>	<b>7</b>
<b>0024253673</b>		
<b>0045-</b>	<b>-6.9</b>	<b>8</b>
<b>0024253285</b>		
<b>0045-</b>	<b>-6.9</b>	<b>12</b>
<b>0024253878</b>		
<b>0044-</b>	<b>-6.9</b>	<b>7</b>
<b>0004031423</b>		
<b>0045-</b>	<b>-6.9</b>	<b>10</b>
<b>0024254000</b>		
<b>0045-</b>	<b>-6.9</b>	<b>7</b>
<b>0024254119</b>		
<b>0045-</b>	<b>-6.9</b>	<b>12</b>
<b>0024253878</b>		
<b>0045-</b>	<b>-6.9</b>	<b>9</b>
<b>0024258954</b>		
<b>0045-</b>	<b>-6.9</b>	<b>7</b>
<b>0024252966</b>		
<b>0045-</b>	<b>-6.9</b>	<b>8</b>
<b>0024253364</b>		
<b>0045-</b>	<b>-6.9</b>	<b>8</b>
<b>0024253444</b>		
<b>0045-</b>	<b>-6.8</b>	<b>8</b>
<b>0024253284</b>		

<b>0045-</b>	-6.8	9
<b>0024257154</b>		
<b>0045-</b>	-6.8	8
<b>0024254104</b>		
<b>0045-</b>	-6.8	8
<b>0024254785</b>		
<b>0045-</b>	-6.8	8
<b>0024254115</b>		
<b>0045-</b>	-6.8	8
<b>0024253465</b>		
<b>0045-</b>	-6.8	7
<b>0024254077</b>		
<b>0045-</b>	-6.8	7
<b>0024253263</b>		
<b>0045-</b>	-6.8	7
<b>0024254119</b>		
<b>0045-</b>	-6.8	7
<b>0025058158</b>		
<b>0045-</b>	-6.8	7
<b>0024253673</b>		
<b>0045-</b>	-6.8	7
<b>0024253561</b>		
<b>0045-</b>	-6.8	7
<b>0024254119</b>		
<b>0045-</b>	-6.7	7
<b>0024253628</b>		
<b>0045-</b>	-6.7	7
<b>0024253293</b>		
<b>0045-</b>	-6.7	5
<b>0024253474</b>		
<b>0045-</b>	-6.7	8
<b>0024257047</b>		
<b>0045-</b>	-6.7	7
<b>0024254077</b>		
<b>0045-</b>	-6.7	7
<b>0024254121</b>		
<b>0045-</b>	-6.7	8
<b>0024252955</b>		
<b>0045-</b>	-6.5	7
<b>0024253628</b>		
<b>0045-</b>	-6.5	7
<b>0024253561</b>		
<b>0045-</b>	-6.5	7
<b>0024254121</b>		

-Brofaramine

Compound	Model ID	Energy	nRot
<b>0030-0003387148</b>	1	-14.1	3
<b>0030-0003387148</b>	1	-13.9	3
<b>0047-0011486249</b>	1	-13.7	4
<b>0030-0003387148</b>	1	-13.5	3
<b>0030-0023102286</b>	1	-13.4	0
<b>0047-0053638798</b>	1	-13.3	5

0030-0003387148	1	-13.3	3
0047-0002325080	1	-13.3	4
0030-0004023236	1	-13.2	4
0030-0004023236	1	-13.2	4
0030-0003387148	1	-13.2	3
0030-0000773002	1	-13.1	3
0030-0023134205	1	-13	0
0047-0042690705	1	-12.9	4
0047-0037850068	1	-12.9	4
0030-0019705688	1	-12.9	3
0030-0003387148	1	-12.8	3
0047-0034204848	1	-12.8	4
0030-0005229606	1	-12.8	4
0030-0016174369	1	-12.7	0
0030-0021768207	1	-12.6	6
0030-0011811269	1	-12.6	6
0047-0038210054	1	-12.5	4
0030-0002929972	1	-12.5	5
0030-0015764047	1	-12.5	4
0030-0001218685	1	-12.5	6
0051-0006977000	1	-12.5	4
0030-0001281908	1	-12.5	3
0051-0015029069	1	-12.5	2
0030-0002929972	1	-12.5	5
0030-0008231499	1	-12.5	0
0051-0020016259	1	-12.4	3
0030-0003387148	1	-12.4	3
0051-0012251521	1	-12.4	2
0051-0012258562	1	-12.4	3
0030-0009430617	1	-12.4	2
0051-0002011585	1	-12.4	3
0030-0001218685	1	-12.4	6
0051-0038278019	1	-12.4	3
0057-0001618244	1	-12.3	0
0030-0000567615	1	-12.3	2
0030-0021763129	1	-12.3	6
0030-0002159286	1	-12.2	5
0030-0012138855	1	-12.2	6
0051-0012249180	1	-12.2	3
0030-0012138855	1	-12.2	6
0030-0007299193	1	-12.2	15
0030-0001281908	1	-12.2	3
0030-0002801154	1	-12.2	0

0030-0015764047	1	-12.2	4
0030-0018537195	1	-12.2	4
0030-0005628146	1	-12.1	4
0030-0000906058	1	-12.1	4
0030-0019579735	1	-12.1	7
0030-0009129946	1	-12.1	3
0051-0003019811	1	-12.1	3
0030-0010865342	1	-12.1	0
0030-0010762435	1	-12.1	6
0030-0006724586	1	-12.1	5
0051-0000451379	1	-12.1	4
0051-0026799731	1	-12	4
0030-0000428690	1	-12	2
0030-0023134205	1	-12	0
0030-0007299193	1	-12	15
0030-0010517376	1	-12	5
0030-0008043220	1	-12	5
0030-0005427314	1	-12	6
0030-0001229742	1	-12	2
0051-0020009200	1	-12	3
0030-0005578443	1	-11.9	0
0030-0007689751	1	-11.9	4
0030-0001506536	1	-11.9	2
0030-0008354633	1	-11.9	6
0030-0019579735	1	-11.9	7
0030-0021814758	1	-11.9	5
0030-0001417525	1	-11.9	2
0030-0009222537	1	-11.9	8
0047-0003870941	1	-11.9	0
0030-0002020670	1	-11.9	5
0030-0008148567	1	-11.8	3
0030-0001965566	1	-11.8	5
0051-0013799810	1	-11.8	4
0030-0013025100	1	-11.8	6
0030-0000567615	1	-11.8	2
0030-0006715696	1	-11.8	5
0030-0000474186	1	-11.8	4
0030-0006180574	1	-11.8	5
0051-0015388924	1	-11.8	2
0030-0001326368	1	-11.8	4
0030-0021768207	1	-11.8	6
0030-0009324140	1	-11.8	2
0051-0012435723	1	-11.7	5

0030-0015238375	1	-11.7	5
0030-0014454028	1	-11.7	8
0030-0014454028	1	-11.7	8
0030-0021353768	1	-11.7	5
0047-0053593468	1	-11.7	5
0030-0001917294	1	-11.7	2
0030-0012457322	1	-11.7	5
0030-0019041430	1	-11.7	6
0030-0009540073	1	-11.7	0
0047-0056447832	1	-11.7	5
0047-0004124923	1	-11.7	0
0047-0053948700	1	-11.6	5
0030-0022665601	1	-11.6	2
0030-0021353768	1	-11.6	5
0047-0013984642	1	-11.6	4
0030-0021814758	1	-11.6	5
0030-0023096919	1	-11.6	6
0030-0021763129	1	-11.6	6
0030-0018276232	1	-11.6	4
0047-0011891666	1	-11.6	4
0047-0011270687	1	-11.6	5
0030-0011803391	1	-11.6	6
0047-0030080821	1	-11.6	4
0030-0003387148	1	-11.6	3
0030-0021820319	1	-11.6	6
0030-0022745556	1	-11.6	2
0030-0000034316	1	-11.6	2
0047-0053990653	1	-11.5	0
0030-0003775251	1	-11.5	5
0047-0025480187	1	-11.5	4
0030-0009540073	1	-11.5	0
0030-0021820319	1	-11.5	6
0030-0012457322	1	-11.5	5
0030-0001506536	1	-11.5	2
0030-0015422429	1	-11.5	6
0030-0003775251	1	-11.4	5
0047-0054062901	1	-11.4	4
0030-0006770291	1	-11.4	2
0030-0023134205	1	-11.4	0
0030-0005308676	1	-11.4	3
0030-0007299193	1	-11.4	15
0030-0010233587	1	-11.4	3
0030-0011086682	1	-11.4	6

0030-0003662695	1	-11.4	5
0047-0007463121	1	-11.4	5
0030-0009233407	1	-11.4	2
0030-0000034316	1	-11.4	2
0030-0010911450	1	-11.4	5
0047-0005604861	1	-11.4	7
0030-0002177618	1	-11.4	2
0030-0015238375	1	-11.4	5
0030-0006707759	1	-11.3	6
0030-0003662695	1	-11.3	5
0047-0012920833	1	-11.3	4
0047-0012887886	1	-11.3	5
0047-0029924403	1	-11.3	4
0030-0000163118	1	-11.3	2
0047-0028166071	1	-11.3	4
0051-0038278020	1	-11.3	3
0030-0018276232	1	-11.3	4
0030-0021808951	1	-11.2	5
0030-0009586984	1	-11.2	5
0030-0002434121	1	-11.2	3
0030-0005976532	1	-11.2	6
0030-0010649870	1	-11.2	3
0030-0021808951	1	-11.2	5
0030-0007485885	1	-11.2	3
0030-0015218762	1	-11.2	4
0030-0003700358	1	-11.2	2
0047-0030661994	1	-11.2	4
0030-0013859304	1	-11.2	0
0030-0012425017	1	-11.2	6
0030-0001126077	1	-11.2	6
0030-0022952254	1	-11.2	0
0030-0019554064	1	-11.2	0
0030-0000241817	1	-11.2	3
0030-0001417525	1	-11.2	2
0030-0015090134	1	-11.2	5
0030-0009586984	1	-11.1	5
0030-0002769721	1	-11.1	5
0030-0011199583	1	-11.1	5
0030-0013859304	1	-11.1	0
0030-0001577414	1	-11.1	6
0047-0051587129	1	-11.1	5
0030-0010454603	1	-11.1	4
0030-0011560684	1	-11.1	4

0030-0009829367	1	-11.1	0
0030-0010881597	1	-11.1	5
0030-0006277274	1	-11.1	3
0030-0000855991	1	-11.1	3
0047-0011367117	1	-11.1	3
0030-0000163118	1	-11.1	2
0030-0002843393	1	-11.1	5
0047-0010897579	1	-11.1	4
0030-0015130863	1	-11.1	0
0030-0001126077	1	-11.1	6
0030-0019190339	1	-11.1	6
0030-0003677847	1	-11.1	4
0030-0000994122	1	-11.1	0
0030-0002843393	1	-11.1	5
0030-0009238557	1	-11.1	2
0047-0028109138	1	-11.1	5
0030-0010777009	1	-11.1	3
0030-0002769721	1	-11.1	5
0030-0006123448	1	-11	0
0030-0002115185	1	-11	5
0030-0009058577	1	-11	5
0030-0015662446	1	-11	5
0030-0001450168	1	-11	4
0030-0000208897	1	-11	0
0030-0006440318	1	-11	4
0030-0003683579	1	-11	2
0030-0002860236	1	-11	0
0030-0015217369	1	-11	4
0030-0001500904	1	-11	5
0030-0007299193	1	-11	15
0030-0004126260	1	-11	6
0030-0000994122	1	-11	0
0030-0023134205	1	-11	0
0030-0000034316	1	-11	2
0030-0003677847	1	-11	4
0030-0000034316	1	-11	2
0030-0007022292	1	-11	5
0030-0002857187	1	-11	5
0030-0004120540	1	-11	6
0030-0014235824	1	-11	4
0030-0001740991	1	-11	2
0030-0000439893	1	-11	2
0030-0002194465	1	-11	5

0030-0006015554	1	-11	6
0030-0012748256	1	-11	4
0030-0002194465	1	-11	5
0030-0011560684	1	-11	4
0030-0001577414	1	-11	6
0030-0016083577	1	-10.9	5
0030-0006015554	1	-10.9	6
0030-0013110421	1	-10.9	5
0030-0003589413	1	-10.9	0
0030-0004120540	1	-10.9	6
0030-0022745556	1	-10.9	2
0030-0006440318	1	-10.9	4
0030-0003811197	1	-10.9	4
0030-0021330734	1	-10.9	5
0030-0000632824	1	-10.9	4
0030-0006918391	1	-10.9	2
0030-0002115185	1	-10.9	5
0030-0007022292	1	-10.9	5
0030-0004126260	1	-10.9	6
0030-0003667278	1	-10.9	5
0030-0021330734	1	-10.9	5
0030-0011741822	1	-10.9	3
0030-0010454603	1	-10.9	4
0030-0010233587	1	-10.9	3
0030-0006789375	1	-10.9	2
0030-0006099967	1	-10.9	5
0030-0001337481	1	-10.9	4
0030-0004692158	1	-10.8	5
0030-0001500904	1	-10.8	5
0030-0012719089	1	-10.8	6
0030-0006789375	1	-10.8	2
0030-0001358370	1	-10.8	4
0030-0002177618	1	-10.8	2
0030-0019933588	1	-10.8	0
0030-0021445945	1	-10.8	2
0030-0007700752	1	-10.8	5
0047-0027737280	1	-10.8	4
0030-0019036926	1	-10.8	0
0030-0008237081	1	-10.8	5
0030-0004140038	1	-10.8	4
0030-0007500031	1	-10.8	6
0030-0018127002	1	-10.8	5
0030-0006894593	1	-10.8	5

<b>0030-0021984232</b>	1	-10.8	5
<b>0030-0021982508</b>	1	-10.8	5
<b>0030-0010777009</b>	1	-10.8	3
<b>0051-0007173683</b>	1	-10.8	3
<b>0047-0014583134</b>	1	-10.8	0
<b>0030-0021596698</b>	1	-10.8	2
<b>0030-0021982508</b>	1	-10.8	5
<b>0030-0009058577</b>	1	-10.8	5
<b>0030-0009255002</b>	1	-10.8	5
<b>0030-0012860614</b>	1	-10.8	5
<b>0030-0014692327</b>	1	-10.8	5
<b>0030-0015982016</b>	1	-10.8	0
<b>0030-0010865342</b>	1	-10.8	0
<b>0030-0002786461</b>	1	-10.8	4
<b>0030-0003811197</b>	1	-10.7	4
<b>0030-0010995964</b>	1	-10.7	5
<b>0030-0003700358</b>	1	-10.7	2
<b>0030-0005027824</b>	1	-10.7	4
<b>0047-0015846238</b>	1	-10.7	3
<b>0030-0000821807</b>	1	-10.7	0
<b>0030-0013110421</b>	1	-10.7	5
<b>0030-0001139578</b>	1	-10.7	6
<b>0030-0016386970</b>	1	-10.7	4
<b>0030-0011736833</b>	1	-10.7	2
<b>0030-0010969821</b>	1	-10.7	4
<b>0030-0013681356</b>	1	-10.7	4
<b>0030-0009255002</b>	1	-10.7	5
<b>0030-0018127002</b>	1	-10.7	5
<b>0030-0018003774</b>	1	-10.7	5
<b>0030-0021469238</b>	1	-10.7	0
<b>0030-0007700752</b>	1	-10.7	5
<b>0030-0002832500</b>	1	-10.7	2
<b>0030-0019705688</b>	1	-10.7	3
<b>0030-0019227926</b>	1	-10.7	3
<b>0051-0006998096</b>	1	-10.7	4
<b>0051-0006830032</b>	1	-10.7	3
<b>0030-0011272923</b>	1	-10.7	4
<b>0030-0003989688</b>	1	-10.7	5
<b>0030-0021984232</b>	1	-10.7	5
<b>0030-0003683579</b>	1	-10.6	2
<b>0030-0014692327</b>	1	-10.6	5
<b>0030-0021596698</b>	1	-10.6	2
<b>0030-0021469238</b>	1	-10.6	0

0030-0018003774	1	-10.6	5
0030-0009243764	1	-10.6	2
0030-0021774937	1	-10.6	6
0030-0021445945	1	-10.6	2
0030-0012748256	1	-10.6	4
0030-0005976532	1	-10.6	6
0030-0005022322	1	-10.6	5
0030-0019895269	1	-10.6	5
0030-0021517838	1	-10.6	4
0030-0004389346	1	-10.6	4
0030-0019895269	1	-10.6	5
0030-0006918391	1	-10.6	2
0030-0003309871	1	-10.6	6
0030-0000178714	1	-10.6	2
0030-0000173557	1	-10.6	0
0030-0006894593	1	-10.6	5
0030-0005303189	1	-10.5	4
0030-0001182370	1	-10.5	5
0030-0000632824	1	-10.5	4
0030-0006277274	1	-10.5	3
0030-0004026982	1	-10.5	0
0030-0000208897	1	-10.5	0
0030-0001341990	1	-10.5	5
0030-0001193329	1	-10.5	4
0030-0005588464	1	-10.5	5
0051-0006968944	1	-10.5	4
0030-0004115452	1	-10.5	5
0030-0002786461	1	-10.5	4
0030-0018966768	1	-10.5	5
0030-0022914994	1	-10.5	8
0030-0001730384	1	-10.5	5
0030-0015090134	1	-10.5	5
0030-0023134205	1	-10.5	0
0030-0000898621	1	-10.5	5
0030-0014107013	1	-10.4	3
0030-0001557032	1	-10.4	2
0051-0009135944	1	-10.4	3
0030-0018740934	1	-10.4	5
0030-0015563292	1	-10.4	3
0030-0019933588	1	-10.4	0
0030-0001341990	1	-10.4	5
0030-0002486755	1	-10.4	0
0030-0019972413	1	-10.4	5

<b>0030-0001735278</b>	1	-10.4	5
<b>0030-0006778502</b>	1	-10.4	5
<b>0030-0021517838</b>	1	-10.4	4
<b>0030-0019496987</b>	1	-10.4	5
<b>0030-0002806939</b>	1	-10.4	3
<b>0030-0014107013</b>	1	-10.4	3
<b>0030-0023167345</b>	1	-10.4	5
<b>0030-0001719034</b>	1	-10.4	5
<b>0030-0010228543</b>	1	-10.4	5
<b>0030-0003088032</b>	1	-10.4	5
<b>0030-0004746912</b>	1	-10.4	5
<b>0030-0001187899</b>	1	-10.4	5
<b>0051-0002588937</b>	1	-10.4	4
<b>0030-0006778502</b>	1	-10.4	5
<b>0030-0014884022</b>	1	-10.4	5
<b>0030-0001591142</b>	1	-10.4	5
<b>0030-0000365895</b>	1	-10.4	3
<b>0030-0023102286</b>	1	-10.4	0
<b>0051-0038757769</b>	1	-10.4	3
<b>0030-0000293838</b>	1	-10.4	4
<b>0030-0001396033</b>	1	-10.3	4
<b>0030-0011321772</b>	1	-10.3	5
<b>0030-0019972413</b>	1	-10.3	5
<b>0030-0001557032</b>	1	-10.3	2
<b>0030-0006731359</b>	1	-10.3	4
<b>0030-0007369341</b>	1	-10.3	4
<b>0030-0000241817</b>	1	-10.3	3
<b>0030-0000513557</b>	1	-10.3	3
<b>0030-0001293214</b>	1	-10.3	5
<b>0051-0003277527</b>	1	-10.3	3
<b>0030-0000521950</b>	1	-10.3	4
<b>0030-0015563292</b>	1	-10.3	3
<b>0051-0006286204</b>	1	-10.3	4
<b>0051-0002865421</b>	1	-10.3	3
<b>0030-0014209405</b>	1	-10.3	5
<b>0030-0000773002</b>	1	-10.3	3
<b>0030-0000792719</b>	1	-10.3	5
<b>0030-0018740934</b>	1	-10.2	5
<b>0030-0002126974</b>	1	-10.2	0
<b>0030-0017174162</b>	1	-10.2	5
<b>0030-0001445323</b>	1	-10.2	5
<b>0030-0005583572</b>	1	-10.2	5
<b>0030-0018296137</b>	1	-10.2	6

0030-0008026868	1	-10.2	6
0030-0002826955	1	-10.2	2
0030-0002944115	1	-10.2	5
0030-0001083674	1	-10.2	6
0051-0003011453	1	-10.2	3
0030-0004193630	1	-10.2	6
0030-0004026982	1	-10.2	0
0030-0002826955	1	-10.2	2
0030-0003980809	1	-10.2	6
0030-0000365895	1	-10.2	3
0051-0015391934	1	-10.2	4
0030-0004193630	1	-10.2	6
0030-0023167404	1	-10.2	6
0030-0003088032	1	-10.1	5
0030-0021778003	1	-10.1	6
0051-0027783841	1	-10.1	4
0030-0002486755	1	-10.1	0
0030-0000901031	1	-10.1	5
0030-0021771504	1	-10.1	6
0030-0000306946	1	-10.1	2
0030-0001238277	1	-10.1	0
0030-0014884022	1	-10.1	5
0030-0023134205	1	-10.1	0
0030-0011492076	1	-10.1	2
0030-0022952254	1	-10.1	0
0051-0013831502	1	-10.1	4
0030-0010602612	1	-10.1	5
0030-0000173557	1	-10.1	0
0030-0011736833	1	-10.1	2
0051-0009971205	1	-10	4
0030-0004279407	1	-10	0
0030-0000877680	1	-10	2
0051-0013101290	1	-10	4
0030-0002941088	1	-10	5
0030-0005581499	1	-10	5
0030-0001089243	1	-10	6
0030-0004005937	1	-10	3
0030-0001067728	1	-10	0
0030-0016565960	1	-10	3
0030-0002962822	1	-9.9	5
0030-0005138438	1	-9.9	3
0030-0000690524	1	-9.9	3
0030-0000550540	1	-9.9	6

0030-0003096840	1	-9.9	6
0030-0004113220	1	-9.9	0
0030-0004005937	1	-9.9	3
0030-0023134205	1	-9.9	0
0047-0030501781	1	-9.9	0
0030-0022114522	1	-9.8	3
0030-0000479575	1	-9.8	3
0030-0007854283	1	-9.8	0
0030-0010254205	1	-9.7	6
0030-0010254205	1	-9.7	6
0030-0001067728	1	-9.7	0
0030-0002962822	1	-9.7	5
0030-0000562399	1	-9.7	5
0030-0006841186	1	-9.7	6
0030-0000562399	1	-9.7	5
0030-0002434121	1	-9.7	3
0030-0022703078	1	-9.7	3
0030-0009425418	1	-9.7	2
0030-0002549279	1	-9.6	5
0030-0008162533	1	-9.6	5
0030-0019218701	1	-9.6	0
0030-0000990934	1	-9.6	0
0030-0019218701	1	-9.6	0
0030-0018359009	1	-9.6	3
0030-0000479575	1	-9.5	3
0030-0022703078	1	-9.5	3
0030-0022114522	1	-9.5	3
0030-0012969418	1	-9.5	3
0030-0004610683	1	-9.5	3
0030-0008162533	1	-9.5	5
0030-0010852305	1	-9.5	7
0030-0006841186	1	-9.5	6
0030-0000488772	1	-9.4	5
0030-0011449181	1	-9.4	5
0030-0004610683	1	-9.4	3
0030-0006221982	1	-9.4	5
0030-0010852305	1	-9.4	7
0030-0000463261	1	-9.4	6
0030-0002821630	1	-9.4	5
0030-0006221982	1	-9.4	5
0030-0007689751	1	-9.4	4
0030-0009260113	1	-9.4	3
0030-0005545195	1	-9.3	6

ZINC71453120	1	-9.3	0
0030-0019111605	1	-9.3	0
0030-0006126109	1	-9.3	6
0030-0022734604	1	-9.3	3
0030-0001581047	1	-9.3	2
0030-0019675492	1	-9.3	7
0030-0000463261	1	-9.3	6
0030-0000488772	1	-9.3	5
0030-0016757286	1	-9.3	5
0030-0011384570	1	-9.2	3
0030-0009260113	1	-9.2	3
0030-0001581047	1	-9.2	2
0030-0000460167	1	-9.2	5
ZINC71452972	1	-9.2	6
0030-0000170243	1	-9.2	5
0030-0000781823	1	-9.2	7
0030-0005545195	1	-9.2	6
0030-0011384570	1	-9.2	3
0030-0000170243	1	-9.2	5
0030-0000166926	1	-9.1	3
0030-0000166926	1	-9.1	3
0030-0000057766	1	-9.1	2
0030-0000997125	1	-9.1	8
0030-0023134205	1	-9.1	0
0030-0000460167	1	-9.1	5
0030-0000553637	1	-9.1	5
ZINC71452915	1	-9	5
0030-0002612890	1	-9	3
0030-0008402984	1	-9	6
0030-0002821630	1	-9	5
0030-0002443510	1	-9	3
0030-0000781823	1	-9	7
0030-0002515704	1	-9	5
0030-0000423812	1	-9	6
ZINC39111189	1	-8.9	1
0030-0019098607	1	-8.9	5
0030-0000525572	1	-8.9	3
ZINC20222215	1	-8.9	2
ZINC82968359	1	-8.8	1
ZINC71452922	1	-8.8	6
0030-0005279602	1	-8.8	3
0030-0000525572	1	-8.8	3
ZINC83049778	1	-8.8	1

ZINC83073223	1	-8.7	2
ZINC71452981	1	-8.7	6
ZINC71452923	1	-8.7	6
ZINC83073207	1	-8.7	2
0025-0000008017	1	-8.7	3
0030-0008402984	1	-8.7	6
ZINC82968315	1	-8.7	1
ZINC71452915	1	-8.7	5
0025-0000008567	1	-8.7	3
ZINC71452955	1	-8.6	6
ZINC83073217	1	-8.6	2
ZINC83111124	1	-8.6	1
0030-0000002554	1	-8.6	2
ZINC82968338	1	-8.6	1
ZINC83073215	1	-8.6	2
ZINC83010526	1	-8.6	1
0030-0002515704	1	-8.6	5
ZINC83111148	1	-8.5	1
ZINC83073207	1	-8.5	2
ZINC83073216	1	-8.5	2
0030-0002394743	1	-8.5	6
0025-0000000740	1	-8.5	3
ZINC83073208	1	-8.5	2
ZINC82973851	1	-8.5	2
ZINC71452898	1	-8.5	5
CDS015566__ALDRICH	1	-8.4	1
ZINC82974259	1	-8.4	3
ZINC83111138	1	-8.4	1
ZINC83073214	1	-8.4	2
ZINC82974373	1	-8.4	2
ZINC71477912	1	-8.4	2
ZINC71452924	1	-8.4	5
ZINC82973858	1	-8.4	2
ZINC83010574	1	-8.4	1
0030-0017972974	1	-8.3	8
ZINC83073212	1	-8.3	3
ZINC71477903	1	-8.3	2
ZINC82974279	1	-8.3	2
ZINC82929650	1	-8.3	1
ZINC83010546	1	-8.3	1
ZINC83073193	1	-8.3	2
ZINC82974275	1	-8.3	2
ZINC83073209	1	-8.3	2

ZINC82974279	1	-8.3	2
ZINC82929656	1	-8.3	1
ZINC71452899	1	-8.2	6
ZINC82974373	1	-8.2	2
ZINC82974283	1	-8.2	2
ZINC83253096	1	-8.2	5
ZINC82974367	1	-8.2	2
ZINC82974337	1	-8.2	2
ZINC82929649	1	-8.2	1
ZINC82974337	1	-8.2	2
ZINC82929656	1	-8.1	1
ZINC83073213	1	-8.1	3
ZINC71477910	1	-8.1	2
ZINC82914540	1	-8.1	2
ZINC82974325	1	-8.1	2
ZINC82973867	1	-8.1	2
ZINC82974262	1	-8.1	3
ZINC82973861	1	-8	2
0030-0015819112	1	-8	0
ZINC82973881	1	-8	2
ZINC82973878	1	-8	2
ZINC82973856	1	-7.9	2
ZINC82973849	1	-7.9	2
ZINC82914551	1	-7.9	2
ZINC82914552	1	-7.8	2
ZINC82914541	1	-7.8	2
ZINC82914542	1	-7.7	2
0057-0001397973	1	-6.7	0
0047-0003801618	1	-6.1	0
0030-0006630667	1	1.9	0

-Clorgyline

Compound	Energy	nRot
ZINC02824188	-9.1	0
ZINC41251625	-9.1	0
ZINC02845261	-9	0
ZINC04870178	-8.7	0
ZINC02822688	-8.6	7
ZINC41251625	-8.6	0
ZINC02825266	-8.5	7
ZINC02931249	-8.4	6
ZINC41582287	-8.3	7
ZINC33425780	-8.3	8
ZINC33425781	-8.3	8

ZINC95918141	-8.2	6
ZINC02822700	-8.2	7
ZINC19665690	-8.2	7
ZINC52450965	-8.2	9
ZINC41438725	-8.2	6
ZINC02822060	-8.2	7
ZINC52450965	-8.2	9
ZINC33425777	-8.1	8
ZINC02885624	-8.1	7
ZINC82092633	-8.1	4
ZINC02885556	-8	7
ZINC20400980	-8	6
ZINC20525271	-8	6
ZINC31829360	-7.9	5
ZINC33425788	-7.9	6
ZINC19665684	-7.9	7
ZINC41582038	-7.9	7
ZINC02822060	-7.9	7
ZINC20398946	-7.9	5
ZINC20400777	-7.9	6
ZINC33425789	-7.9	6
ZINC33425788	-7.9	6
ZINC19665684	-7.9	7
ZINC12381483	-7.8	6
ZINC41386904	-7.8	6
ZINC19665487	-7.7	7
ZINC19664771	-7.7	7
ZINC20400777	-7.7	6
ZINC19665687	-7.7	7
ZINC41386883	-7.7	6
ZINC20266939	-7.7	6
ZINC41464388	-7.7	6
ZINC41464380	-7.7	6
ZINC78642836	-7.7	6
ZINC19667620	-7.6	6
ZINC41515126	-7.6	7
ZINC19665475	-7.6	7
ZINC41386895	-7.6	6
ZINC19664775	-7.6	7
ZINC19667618	-7.6	6
ZINC41464385	-7.6	6
ZINC41478396	-7.6	7
ZINC19667618	-7.6	6

ZINC41457945	-7.6	7
ZINC41464391	-7.6	6
ZINC20400978	-7.6	6
ZINC20401275	-7.5	6
ZINC41405540	-7.5	6
ZINC57569996	-7.5	5
ZINC57544211	-7.5	5
ZINC19665490	-7.5	7
ZINC02823337	-7.5	9
ZINC02932732	-7.5	6
ZINC41466926	-7.5	7
ZINC20400726	-7.5	6
ZINC41464382	-7.5	6
ZINC02823338	-7.5	9
ZINC19665478	-7.5	7
ZINC41466925	-7.5	7
ZINC41391031	-7.5	7
ZINC41478399	-7.5	7
ZINC41466927	-7.4	7
ZINC02901852	-7.4	6
ZINC41391033	-7.4	7
ZINC03001169	-7.4	8
ZINC29853671	-7.3	8
ZINC02823337	-7.3	9
ZINC02472344	-7.3	6
ZINC19665481	-7.3	7
ZINC41326252	-7.3	7
ZINC20401276	-7.3	6
ZINC02823521	-7.3	7
ZINC41466924	-7.3	7
ZINC19665478	-7.3	7
ZINC02932042	-7.3	7
ZINC20400517	-7.3	6
ZINC41324041	-7.3	6
ZINC02844495	-7.3	6
ZINC02933129	-7.3	8
ZINC57536698	-7.3	4
ZINC57533838	-7.2	5
ZINC19667606	-7.2	6
ZINC05023834	-7.2	6
ZINC05023736	-7.2	6
ZINC02823550	-7.2	8
ZINC02902919	-7.2	7

ZINC48598888	-7.2	7
ZINC20400515	-7.2	6
ZINC19667606	-7.2	6
ZINC02903663	-7.2	9
ZINC41466923	-7.2	7
ZINC02838943	-7.2	9
ZINC02903595	-7.2	8
ZINC20400724	-7.2	6
ZINC48599225	-7.2	7
ZINC41326254	-7.2	7
ZINC02823550	-7.2	8
ZINC19787533	-7.2	7
ZINC03003138	-7.2	6
ZINC48598885	-7.2	7
ZINC11862419	-7.2	7
ZINC20525277	-7.2	6
ZINC41466928	-7.2	7
ZINC41326264	-7.1	7
ZINC20525276	-7.1	6
ZINC19667604	-7.1	6
ZINC29852868	-7.1	7
ZINC02822544	-7.1	7
ZINC02821851	-7.1	7
ZINC02823521	-7.1	7
ZINC19667640	-7.1	6
ZINC57549033	-7.1	5
ZINC19667608	-7.1	6
ZINC02822304	-7.1	7
ZINC41287507	-7.1	7
ZINC57529062	-7.1	7
ZINC57517861	-7.1	4
ZINC02822544	-7.1	7
ZINC02931388	-7.1	8
ZINC02933271	-7.1	6
ZINC57533840	-7.1	5
ZINC02821851	-7.1	7
ZINC02901485	-7.1	6
ZINC41326262	-7.1	7
ZINC48599222	-7.1	7
ZINC02933016	-7.1	5
ZINC32111239	-7.1	6
ZINC41428888	-7.1	7
ZINC02825152	-7	5

ZINC02822725	-7	7
ZINC57549035	-7	5
ZINC19667602	-7	6
ZINC32111240	-7	6
ZINC02931939	-7	6
ZINC02931634	-7	8
ZINC02822525	-7	7
ZINC32112333	-7	6
ZINC19667636	-7	6
ZINC32112332	-7	6
ZINC02900150	-7	6
ZINC41414243	-7	7
ZINC33425135	-7	8
ZINC31424725	-7	6
ZINC02931639	-7	6
ZINC57549034	-6.9	5
ZINC41300347	-6.9	6
ZINC02901984	-6.9	8
ZINC03002092	-6.9	10
ZINC32112332	-6.9	6
ZINC03001021	-6.9	8
ZINC41414248	-6.9	7
ZINC02839666	-6.9	9
ZINC02822724	-6.9	7
ZINC20525230	-6.9	6
ZINC19667638	-6.9	6
ZINC57549031	-6.9	5
ZINC02490236	-6.9	7
ZINC41346279	-6.9	7
ZINC11884370	-6.9	5
ZINC48598879	-6.9	7
ZINC20524855	-6.9	6
ZINC02901194	-6.9	7
ZINC02898070	-6.9	6
ZINC33465077	-6.9	5
ZINC33465076	-6.9	5
ZINC29852865	-6.9	7
ZINC02932776	-6.9	8
ZINC02824116	-6.9	6
ZINC41326259	-6.9	7
ZINC57549036	-6.9	5
ZINC19667644	-6.9	6
ZINC52458071	-6.9	7

ZINC41249396	-6.9	5
ZINC41300333	-6.9	5
ZINC19667644	-6.9	6
ZINC32103464	-6.9	6
ZINC19667640	-6.9	6
ZINC19667628	-6.9	6
ZINC02822724	-6.9	7
ZINC75881532	-6.9	5
ZINC19667616	-6.9	6
ZINC02932247	-6.9	5
ZINC41300371	-6.9	5
ZINC41414251	-6.9	7
ZINC37902385	-6.9	6
ZINC20524856	-6.9	6
ZINC20418867	-6.9	8
ZINC20525429	-6.8	6
ZINC19667614	-6.8	6
ZINC02822304	-6.8	7
ZINC41249363	-6.8	5
ZINC02901867	-6.8	7
ZINC03003369	-6.8	10
ZINC41326255	-6.8	7
ZINC41352977	-6.8	6
ZINC41258319	-6.8	5
ZINC02839776	-6.8	9
ZINC02900887	-6.8	8
ZINC57516198	-6.8	6
ZINC33425168	-6.8	8
ZINC20525059	-6.8	6
ZINC02932898	-6.8	5
ZINC19664011	-6.8	7
ZINC02902105	-6.8	9
ZINC02825452	-6.8	6
ZINC02825452	-6.8	6
ZINC33425167	-6.8	8
ZINC19787450	-6.8	7
ZINC02899588	-6.8	8
ZINC19667626	-6.8	6
ZINC03001227	-6.8	8
ZINC41346517	-6.8	6
ZINC02497486	-6.8	7
ZINC20400218	-6.8	6
ZINC41300345	-6.8	6

ZINC32103466	-6.8	6
ZINC03002055	-6.8	7
ZINC05023554	-6.8	7
ZINC20525233	-6.8	6
ZINC33425129	-6.8	8
ZINC41300349	-6.8	5
ZINC23634179	-6.8	7
ZINC41249396	-6.8	5
ZINC32015516	-6.8	6
ZINC20360820	-6.8	5
ZINC19667642	-6.8	6
ZINC36814607	-6.8	6
ZINC57535322	-6.8	5
ZINC41300332	-6.8	5
ZINC02886584	-6.8	5
ZINC41414237	-6.8	7
ZINC33425128	-6.8	8
ZINC41352983	-6.8	6
ZINC02822525	-6.8	7
ZINC20361147	-6.8	5
ZINC19667604	-6.8	6
ZINC41300336	-6.8	5
ZINC19664023	-6.8	7
ZINC05024282	-6.8	7
ZINC52458093	-6.8	7
ZINC02932468	-6.8	8
ZINC20398816	-6.8	5
ZINC41414245	-6.8	7
ZINC33425219	-6.7	6
ZINC02823220	-6.7	6
ZINC06158473	-6.7	7
ZINC20361157	-6.7	7
ZINC41300336	-6.7	5
ZINC41243009	-6.7	7
ZINC02902826	-6.7	6
ZINC41243006	-6.7	7
ZINC32015516	-6.7	6
ZINC33425161	-6.7	8
ZINC20361256	-6.7	6
ZINC31979757	-6.7	8
ZINC36669776	-6.7	6
ZINC31979755	-6.7	8
ZINC41626027	-6.7	7

ZINC41227388	-6.7	5
ZINC19664021	-6.7	7
ZINC33425162	-6.7	8
ZINC41249363	-6.7	5
ZINC02932755	-6.7	7
ZINC03000883	-6.7	6
ZINC31978720	-6.7	6
ZINC20525432	-6.7	6
ZINC41329080	-6.7	5
ZINC33421316	-6.7	8
ZINC57517858	-6.7	5
ZINC33421350	-6.7	8
ZINC02493473	-6.7	7
ZINC02930956	-6.7	8
ZINC31978719	-6.7	6
ZINC32012900	-6.7	6
ZINC03000375	-6.7	7
ZINC95921481	-6.7	6
ZINC02901657	-6.7	6
ZINC19667636	-6.7	6
ZINC32103466	-6.7	6
ZINC41300388	-6.7	5
ZINC41286124	-6.7	7
ZINC20400206	-6.7	6
ZINC33425135	-6.7	8
ZINC33421316	-6.7	8
ZINC41300390	-6.7	5
ZINC02821991	-6.7	6
ZINC41300352	-6.7	5
ZINC03460854	-6.7	7
ZINC33421383	-6.7	8
ZINC04568374	-6.7	8
ZINC12370625	-6.7	6
ZINC41300372	-6.7	5
ZINC04568365	-6.7	7
ZINC20525168	-6.7	6
ZINC41286136	-6.7	7
ZINC38001550	-6.7	6
ZINC02900942	-6.7	7
ZINC41414240	-6.7	7
ZINC41352975	-6.7	6
ZINC19667632	-6.7	6
ZINC20525278	-6.7	7

ZINC06701876	-6.7	5
ZINC41300373	-6.7	5
ZINC33425134	-6.7	8
ZINC57517856	-6.7	5
ZINC38001549	-6.7	6
ZINC02898111	-6.7	8
ZINC19667634	-6.7	6
ZINC02931637	-6.7	8
ZINC03461383	-6.6	7
ZINC02845311	-6.6	5
ZINC41581921	-6.6	7
ZINC04989636	-6.6	6
ZINC04870016	-6.6	6
ZINC20398714	-6.6	5
ZINC19667422	-6.6	6
ZINC02271477	-6.6	7
ZINC20524979	-6.6	6
ZINC33421389	-6.6	6
ZINC19664017	-6.6	7
ZINC20524873	-6.6	6
ZINC19851411	-6.6	7
ZINC02844361	-6.6	5
ZINC33425214	-6.6	6
ZINC02900388	-6.6	7
ZINC06681784	-6.6	6
ZINC20524858	-6.6	6
ZINC20524857	-6.6	7
ZINC03000784	-6.6	8
ZINC41581922	-6.6	7
ZINC02494394	-6.6	8
ZINC20401697	-6.6	7
ZINC02822349	-6.6	5
ZINC19667632	-6.6	6
ZINC02898632	-6.6	8
ZINC19669867	-6.6	5
ZINC33425148	-6.6	6
ZINC41300339	-6.6	5
ZINC02822546	-6.6	7
ZINC20525174	-6.6	6
ZINC33421382	-6.6	8
ZINC41581921	-6.6	7
ZINC19667630	-6.6	6
ZINC04105118	-6.6	4

ZINC41258323	-6.6	5
ZINC41227394	-6.6	5
ZINC41300353	-6.6	5
ZINC19664035	-6.6	7
ZINC41300319	-6.6	5
ZINC36750137	-6.6	6
ZINC41300391	-6.6	5
ZINC03000682	-6.6	9
ZINC33434927	-6.6	7
ZINC03001215	-6.6	8
ZINC02493502	-6.6	7
ZINC20525279	-6.6	6
ZINC41286130	-6.6	7
ZINC33421317	-6.6	8
ZINC41243044	-6.5	7
ZINC02822439	-6.5	7
ZINC41300355	-6.5	5
ZINC20525062	-6.5	6
ZINC20400210	-6.5	6
ZINC41300387	-6.5	5
ZINC20524876	-6.5	5
ZINC03000926	-6.5	8
ZINC20400202	-6.5	6
ZINC20525143	-6.5	7
ZINC33425144	-6.5	6
ZINC33425209	-6.5	6
ZINC02898659	-6.5	8
ZINC19667424	-6.5	6
ZINC20360825	-6.5	6
ZINC41227392	-6.5	5
ZINC19669881	-6.5	5
ZINC33425125	-6.5	8
ZINC35726711	-6.5	5
ZINC41243041	-6.5	7
ZINC20400216	-6.5	6
ZINC02825153	-6.5	5
ZINC36985171	-6.5	6
ZINC02823164	-6.5	5
ZINC19667424	-6.5	6
ZINC02822546	-6.5	7
ZINC19776853	-6.5	5
ZINC19731914	-6.5	8
ZINC33425205	-6.5	6

ZINC20361135	-6.5	6
ZINC19776858	-6.5	5
ZINC35726711	-6.5	5
ZINC12370629	-6.5	6
ZINC41300317	-6.5	5
ZINC02823418	-6.5	5
ZINC31978719	-6.5	6
ZINC41582007	-6.4	7
ZINC19669883	-6.4	5
ZINC41218725	-6.4	6
ZINC20525177	-6.4	7
ZINC19663708	-6.4	7
ZINC37854536	-6.4	6
ZINC20361061	-6.4	7
ZINC02494416	-6.4	7
ZINC33425145	-6.4	6
ZINC19669879	-6.4	5
34508__FLUKA	-6.4	6
ZINC33425146	-6.4	6
ZINC41218749	-6.4	6
ZINC38001551	-6.4	7
ZINC20525240	-6.4	6
ZINC05008033	-6.4	7
ZINC02824784	-6.4	6
ZINC33425146	-6.4	6
ZINC11888214	-6.4	7
ZINC03106077	-6.4	7
ZINC19776850	-6.4	5
ZINC02497206	-6.4	7
ZINC41329078	-6.4	5
ZINC41258323	-6.4	5
ZINC02885660	-6.4	7
ZINC41227398	-6.4	5
ZINC20525219	-6.4	6
ZINC33425147	-6.4	6
ZINC02903104	-6.4	8
ZINC20418745	-6.4	8
ZINC20400204	-6.4	6
ZINC02824110	-6.4	5
ZINC20399998	-6.4	6
ZINC02901750	-6.4	9
ZINC33425149	-6.4	6
ZINC33425145	-6.4	6

ZINC19663708	-6.4	7
ZINC11860063	-6.4	6
ZINC20525171	-6.4	6
ZINC57497037	-6.4	4
ZINC32012900	-6.4	6
ZINC41249339	-6.4	6
ZINC14630003	-6.4	6
ZINC19776890	-6.4	6
ZINC32012901	-6.4	6
ZINC20361058	-6.4	6
ZINC20524905	-6.4	6
ZINC09261605	-6.4	6
ZINC06681873	-6.3	5
ZINC20361268	-6.3	7
ZINC20400201	-6.3	6
ZINC03460874	-6.3	7
ZINC19669871	-6.3	5
ZINC20525220	-6.3	6
ZINC19731942	-6.3	8
ZINC20360830	-6.3	6
ZINC20361059	-6.3	6
ZINC02845102	-6.3	5
ZINC20360828	-6.3	7
ZINC14629331	-6.3	6
ZINC20525222	-6.3	6
ZINC41209086	-6.3	5
ZINC41227390	-6.3	5
ZINC19663705	-6.3	7
ZINC33435107	-6.3	6
ZINC31978712	-6.3	8
ZINC33421389	-6.3	6
ZINC41218727	-6.3	6
ZINC20399996	-6.3	6
ZINC20361160	-6.3	6
ZINC41227368	-6.3	5
ZINC41218751	-6.3	6
ZINC20525317	-6.3	6
ZINC19669877	-6.3	5
ZINC20361154	-6.3	6
ZINC33435108	-6.3	6
ZINC02497115	-6.3	7
ZINC41209063	-6.3	5
ZINC19776851	-6.3	5

ZINC20525241	-6.3	6
ZINC20360814	-6.3	6
ZINC20400206	-6.3	6
ZINC41227370	-6.2	5
ZINC20525242	-6.2	7
ZINC05013446	-6.2	5
ZINC20361063	-6.2	6
ZINC20525221	-6.2	7
ZINC19776852	-6.2	5
ZINC41249342	-6.2	6
ZINC20525243	-6.2	6
ZINC20525235	-6.2	7
ZINC36750139	-6.2	6
ZINC20361262	-6.2	7
ZINC20361249	-6.1	6
ZINC16941939	-6.1	5
ZINC02825472	-6.1	5
ZINC05005468	-6.1	7
ZINC14630113	-6.1	6
ZINC33425110	-6.1	6
ZINC03621216	-6.1	5
ZINC20525213	-6	6
ZINC52664913	-6	7
ZINC02496622	-6	7
ZINC41582068	-6	7
ZINC04568357	-6	7
ZINC19731969	-6	8
ZINC15019948	-5.9	5
ZINC20361243	-5.8	7
ZINC96328060	-5.7	8

-Procarbazine

Compound	Energy	nRot
0031-	-12	0
<b>0003177742</b>		
ZINC23132817	-11.8	0
0031-	-11.8	0
<b>0003177780</b>		
0047-	-11.6	5
<b>0010308727</b>		
ZINC23433853	-11.5	5
ZINC23433850	-11.5	5
0033-	-11.5	0
<b>0039401056</b>		
ZINC18124709	-11.4	0

<b>0047-</b>	-11.4	5
<b>0004213296</b>		
<b>ZINC23433850</b>	-11.4	5
<b>ZINC23144048</b>	-11.2	4
<b>ZINC00054796</b>	-11.2	6
<b>0030-</b>	-11.2	6
<b>0005154225</b>		
<b>0047-</b>	-11.2	4
<b>0013808655</b>		
<b>0047-</b>	-11.1	0
<b>0028602712</b>		
<b>0047-</b>	-11.1	5
<b>0054558641</b>		
<b>ZINC18124708</b>	-11.1	0
<b>ZINC23134123</b>	-11	0
<b>ZINC03411037</b>	-11	0
<b>ZINC00267406</b>	-11	0
<b>ZINC34050537</b>	-10.9	0
<b>ZINC00036042</b>	-10.9	4
<b>0030-</b>	-10.9	0
<b>0004161325</b>		
<b>0030-</b>	-10.9	6
<b>0021645634</b>		
<b>0031-</b>	-10.9	0
<b>0004060368</b>		
<b>ZINC01723188</b>	-10.8	3
<b>ZINC03447321</b>	-10.8	0
<b>0030-</b>	-10.8	0
<b>0004158930</b>		
<b>ZINC17323278</b>	-10.8	0
<b>ZINC32905508</b>	-10.8	0
<b>0031-</b>	-10.8	0
<b>0005060876</b>		
<b>ZINC29143470</b>	-10.7	4
<b>ZINC71834380</b>	-10.7	4
<b>0033-</b>	-10.7	0
<b>0039401009</b>		
<b>0047-</b>	-10.7	6
<b>0044564653</b>		
<b>0030-</b>	-10.7	6
<b>0021628927</b>		
<b>ZINC23144045</b>	-10.7	4
<b>0047-</b>	-10.6	0
<b>0009881749</b>		
<b>ZINC00211374</b>	-10.6	0
<b>0047-</b>	-10.6	6
<b>0035153771</b>		
<b>0047-</b>	-10.6	0
<b>0009883586</b>		
<b>0047-</b>	-10.6	0

<b>0008431406</b>		
<b>0047-</b>	-10.6	6
<b>0044562699</b>		
<b>ZINC05571690</b>	-10.5	6
<b>ZINC01723190</b>	-10.5	3
<b>ZINC18834037</b>	-10.5	0
<b>ZINC17323276</b>	-10.5	0
<b>0047-</b>	-10.5	0
<b>0044556148</b>		
<b>0047-</b>	-10.5	0
<b>0028595700</b>		
<b>0047-</b>	-10.5	0
<b>0044558701</b>		
<b>0030-</b>	-10.5	0
<b>0000181936</b>		
<b>ZINC15636549</b>	-10.4	0
<b>0047-</b>	-10.4	6
<b>0028604144</b>		
<b>0047-</b>	-10.4	6
<b>0035153869</b>		
<b>ZINC23144165</b>	-10.4	0
<b>0047-</b>	-10.4	0
<b>0000398343</b>		
<b>0047-</b>	-10.4	0
<b>0011730800</b>		
<b>0047-</b>	-10.4	0
<b>0009881310</b>		
<b>ZINC23143773</b>	-10.4	0
<b>ZINC04279565</b>	-10.4	0
<b>ZINC78597755</b>	-10.4	0
<b>ZINC16640565</b>	-10.3	0
<b>ZINC19488476</b>	-10.3	0
<b>ZINC72687024</b>	-10.3	5
<b>ZINC30463472</b>	-10.3	0
<b>0047-</b>	-10.3	0
<b>0028597255</b>		
<b>0047-</b>	-10.3	5
<b>0044560116</b>		
<b>0047-</b>	-10.2	8
<b>0035160399</b>		
<b>0047-</b>	-10.2	6
<b>0028602200</b>		
<b>ZINC31166228</b>	-10.2	0
<b>0047-</b>	-10.2	0
<b>0005792859</b>		
<b>ZINC44515576</b>	-10.2	0
<b>0047-</b>	-10.2	5
<b>0008436315</b>		
<b>0047-</b>	-10.2	0
<b>0050748881</b>		

ZINC29259658	-10.2	0
ZINC45223693	-10.2	5
0047- 0044557717	-10.2	0
ZINC21555883	-10.2	5
ZINC40462898	-10.2	6
0047- 0051282594	-10.1	9
ZINC37982047	-10.1	0
0047- 0027681774	-10.1	3
0047- 0005791319	-10.1	0
ZINC21556519	-10.1	5
ZINC25614560	-10.1	5
0047- 0010302165	-10.1	4
0047- 0000395081	-10.1	0
ZINC66992744	-10.1	0
ZINC09114471	-10.1	5
0047- 0044563575	-10.1	5
ZINC12868042	-10.1	5
0047- 0050750320	-10.1	7
ZINC72687024	-10.1	5
0047- 0008428517	-10.1	0
0047- 0008433785	-10.1	0
ZINC25614565	-10.1	5
ZINC09114470	-10.1	5
ZINC12331391	-10.1	0
0047- 0044563214	-10	0
ZINC00315844	-10	3
ZINC32736285	-10	5
0047- 0044559649	-10	5
ZINC30463576	-10	0
ZINC23144166	-10	0
ZINC32896930	-10	0
0047- 0044556160	-10	5
0047- 0005798283	-10	0
ZINC00143103	-10	3
ZINC09691196	-10	0

ZINC27222681	-10	6
ZINC72680503	-10	5
ZINC25333106	-10	4
0047- 0051280612	-10	9
0047- 0035155386	-10	6
0047- 0011730361	-10	0
ZINC23118257	-10	0
0047- 0028599638	-10	5
ZINC30463354	-10	0
0047- 0011733237	-9.9	5
ZINC09114471	-9.9	5
ZINC24094473	-9.9	0
0047- 0035160915	-9.9	6
0047- 0019420479	-9.9	3
0047- 0050748366	-9.9	7
0047- 0008434399	-9.9	5
0031- 0003730069	-9.9	3
ZINC09337875	-9.9	0
ZINC19440768	-9.9	0
ZINC32128489	-9.9	0
ZINC78945868	-9.9	5
ZINC06427076	-9.9	3
ZINC24666024	-9.9	5
0047- 0035157800	-9.9	7
ZINC19488722	-9.9	0
0047- 0044562073	-9.9	5
ZINC41786622	-9.9	0
0047- 0000394642	-9.9	0
ZINC05273407	-9.9	3
0047- 0035161276	-9.9	7
0047- 0009884186	-9.8	5
ZINC00051022	-9.8	4
0047- 0008431871	-9.8	0
0030-	-9.8	6

<b>0004160836</b>		
<b>0047-</b>	-9.8	0
<b>0050743382</b>		
<b>0047-</b>	-9.8	8
<b>0051281498</b>		
<b>0047-</b>	-9.8	5
<b>0028599171</b>		
<b>0047-</b>	-9.8	0
<b>0000396918</b>		
<b>0047-</b>	-9.8	0
<b>0011732637</b>		
<b>ZINC20892075</b>	-9.8	5
<b>0030-</b>	-9.8	0
<b>0000181629</b>		
<b>0047-</b>	-9.8	7
<b>0035157333</b>		
<b>ZINC23146297</b>	-9.8	5
<b>0030-</b>	-9.8	0
<b>0004159247</b>		
<b>ZINC45172999</b>	-9.8	5
<b>0047-</b>	-9.8	5
<b>0028603071</b>		
<b>ZINC23786582</b>	-9.8	5
<b>ZINC18008795</b>	-9.7	0
<b>ZINC09516544</b>	-9.7	0
<b>ZINC71588624</b>	-9.7	2
<b>ZINC26117943</b>	-9.7	5
<b>0047-</b>	-9.7	7
<b>0035159772</b>		
<b>0047-</b>	-9.7	6
<b>0050745783</b>		
<b>ZINC23142841</b>	-9.7	0
<b>0047-</b>	-9.7	0
<b>0050741811</b>		
<b>0047-</b>	-9.7	7
<b>0035154184</b>		
<b>ZINC22197932</b>	-9.7	6
<b>0047-</b>	-9.7	7
<b>0005799708</b>		
<b>ZINC72680504</b>	-9.7	5
<b>ZINC11638293</b>	-9.7	0
<b>ZINC42353058</b>	-9.7	0
<b>0047-</b>	-9.7	5
<b>0000397518</b>		
<b>0047-</b>	-9.7	8
<b>0051277995</b>		
<b>0047-</b>	-9.7	0
<b>0010311088</b>		
<b>ZINC19680454</b>	-9.7	4
<b>ZINC41385266</b>	-9.7	0

ZINC00437226	-9.6	4
0047-	-9.6	1
0010306795		
0047-	-9.6	8
0051277526		
0047-	-9.6	7
0051281130		
ZINC00485414	-9.6	3
0047-	-9.6	5
0028595712		
0047-	-9.6	0
0011734062		
ZINC32896356	-9.6	5
ZINC32736345	-9.6	5
ZINC05331664	-9.6	0
0030-	-9.6	8
0010922487		
0047-	-9.6	7
0005797773		
0047-	-9.6	0
0005793820		
0047-	-9.6	7
0035153817		
0047-	-9.6	4
0008428380		
ZINC25375776	-9.6	5
ZINC10270200	-9.5	0
ZINC29259610	-9.5	0
0047-	-9.5	6
0050745316		
ZINC25102201	-9.5	4
ZINC32736345	-9.5	5
ZINC00226739	-9.5	3
ZINC05423599	-9.5	4
ZINC00244426	-9.5	3
ZINC32108308	-9.5	4
ZINC31192296	-9.5	5
0047-	-9.5	6
0050747740		
0047-	-9.5	3
0008429538		
0047-	-9.5	6
0035153805		
0047-	-9.5	6
0050749242		
0047-	-9.5	5
0028601579		
ZINC25614560	-9.5	5
0047-	-9.5	5
0044556529		

<b>0047-</b>	-9.5	0
<b>0050744368</b>		
<b>ZINC32901123</b>	-9.5	4
<b>0047-</b>	-9.5	6
<b>0035156379</b>		
<b>0047-</b>	-9.4	6
<b>0044556664</b>		
<b>ZINC68925675</b>	-9.4	3
<b>0047-</b>	-9.4	7
<b>0051275553</b>		
<b>ZINC12729222</b>	-9.4	4
<b>ZINC68925676</b>	-9.4	3
<b>ZINC58289357</b>	-9.4	6
<b>ZINC24325332</b>	-9.4	7
<b>0047-</b>	-9.4	7
<b>0035153768</b>		
<b>ZINC07845754</b>	-9.4	0
<b>0047-</b>	-9.4	6
<b>0005795225</b>		
<b>0047-</b>	-9.3	3
<b>0008434904</b>		
<b>0047-</b>	-9.3	8
<b>0051279982</b>		
<b>0047-</b>	-9.3	3
<b>0008430475</b>		
<b>ZINC22869473</b>	-9.3	6
<b>ZINC58241176</b>	-9.3	0
<b>ZINC17334244</b>	-9.3	0
<b>0047-</b>	-9.3	5
<b>0028596079</b>		
<b>0047-</b>	-9.3	5
<b>0044556111</b>		
<b>0047-</b>	-9.3	0
<b>0009885011</b>		
<b>ZINC78611467</b>	-9.3	4
<b>ZINC32764970</b>	-9.3	4
<b>0030-</b>	-9.3	0
<b>0000183911</b>		
<b>0047-</b>	-9.3	6
<b>0005798639</b>		
<b>ZINC00318703</b>	-9.3	4
<b>ZINC85477503</b>	-9.3	3
<b>ZINC32601152</b>	-9.3	4
<b>0030-</b>	-9.3	7
<b>0010920864</b>		
<b>ZINC32999480</b>	-9.2	4
<b>ZINC00036994</b>	-9.2	6
<b>0047-</b>	-9.2	6
<b>0005794759</b>		
<b>ZINC48234682</b>	-9.2	0

<b>0047-</b>	-9.2	8
<b>0051273923</b>		
<b>ZINC32896330</b>	-9.2	0
<b>0047-</b>	-9.2	6
<b>0050741774</b>		
<b>ZINC04834029</b>	-9.2	5
<b>ZINC06945935</b>	-9.2	4
<b>ZINC32578198</b>	-9.2	3
<b>0047-</b>	-9.2	7
<b>0051276562</b>		
<b>0030-</b>	-9.2	7
<b>0010920543</b>		
<b>0047-</b>	-9.2	8
<b>0035154319</b>		
<b>ZINC45864527</b>	-9.2	6
<b>ZINC37807858</b>	-9.1	4
<b>ZINC20264194</b>	-9.1	4
<b>0047-</b>	-9.1	2
<b>0010302288</b>		
<b>ZINC41413044</b>	-9.1	3
<b>0047-</b>	-9.1	2
<b>0010302938</b>		
<b>ZINC07670966</b>	-9.1	4
<b>ZINC00121156</b>	-9.1	4
<b>ZINC20193018</b>	-9.1	4
<b>ZINC71621634</b>	-9.1	3
<b>0030-</b>	-9.1	6
<b>0000183443</b>		
<b>ZINC01693351</b>	-9.1	5
<b>ZINC20264200</b>	-9.1	4
<b>ZINC33468997</b>	-9.1	4
<b>ZINC78945253</b>	-9.1	4
<b>0047-</b>	-9.1	4
<b>0008427970</b>		
<b>0047-</b>	-9.1	2
<b>0010302937</b>		
<b>ZINC49838492</b>	-9.1	3
<b>CHEBI_38452</b>	-9	5
<b>ZINC12697777</b>	-9	3
<b>ZINC32896635</b>	-9	2
<b>ZINC20193339</b>	-9	4
<b>0047-</b>	-9	6
<b>0005797157</b>		
<b>ZINC17301591</b>	-9	2
<b>ZINC74938302</b>	-9	3
<b>ZINC04792371</b>	-9	2
<b>ZINC00476346</b>	-9	4
<b>ZINC00030037</b>	-9	3

ZINC01762263	-9	3
ZINC17301591	-9	2
ZINC65129691	-9	4
ZINC46633233	-9	5
ZINC19389569	-9	4
ZINC24187041	-9	4
0047- 0028596214	-9	6
0030- 0010922994	-9	7
CHEBI_38453	-8.9	3
0047- 0010301857	-8.9	2
ZINC17301591	-8.9	2
0047- 0044560773	-8.9	2
0047- 0008428018	-8.9	4
ZINC33468999	-8.9	4
0047- 0008428006	-8.9	3
0047- 0051273960	-8.9	7
ZINC78944346	-8.9	4
ZINC71834376	-8.9	5
ZINC72295619	-8.9	5
0047- 0050742327	-8.9	7
ZINC14139041	-8.9	5
ZINC41323258	-8.9	4
ZINC49838492	-8.8	3
ZINC71587841	-8.8	3
0047- 0044505404	-8.8	4
0047- 0051274475	-8.8	9
ZINC03316254	-8.8	4
0047- 0010302532	-8.8	4
0047- 0044508000	-8.8	4
0047- 0005791282	-8.8	6
0047- 0008435255	-8.8	0
ZINC00041035	-8.8	0
0047- 0028595663	-8.8	5
ZINC49276351	-8.8	5

<b>0047-</b>	-8.8	8
<b>0051274339</b>		
<b>ZINC08906954</b>	-8.8	4
<b>0047-</b>	-8.8	4
<b>0010306761</b>		
<b>0047-</b>	-8.8	4
<b>0010303247</b>		
<b>ZINC05059906</b>	-8.8	2
<b>0047-</b>	-8.8	3
<b>0010301936</b>		
<b>0047-</b>	-8.8	6
<b>0050742192</b>		
<b>ZINC04792372</b>	-8.8	2
<b>ZINC00293878</b>	-8.8	5
<b>0047-</b>	-8.8	3
<b>0010302993</b>		
<b>0047-</b>	-8.7	2
<b>0010302267</b>		
<b>ZINC20112114</b>	-8.7	5
<b>ZINC25592744</b>	-8.7	5
<b>ZINC25592744</b>	-8.7	5
<b>ZINC02451331</b>	-8.7	4
<b>0047-</b>	-8.7	4
<b>0035158462</b>		
<b>0047-</b>	-8.7	5
<b>0010302784</b>		
<b>ZINC17301591</b>	-8.7	2
<b>0047-</b>	-8.7	2
<b>0010302693</b>		
<b>0047-</b>	-8.7	5
<b>0005126446</b>		
<b>ZINC20112114</b>	-8.7	5
<b>ZINC32579482</b>	-8.7	5
<b>0030-</b>	-8.7	7
<b>0002577491</b>		
<b>ZINC32579481</b>	-8.7	5
<b>ZINC09057923</b>	-8.7	5
<b>ZINC22690929</b>	-8.7	4
<b>ZINC78874957</b>	-8.7	5
<b>0047-</b>	-8.7	5
<b>0044507335</b>		
<b>ZINC05632331</b>	-8.7	4
<b>ZINC45151411</b>	-8.7	5
<b>0047-</b>	-8.6	6
<b>0005791331</b>		
<b>ZINC30463421</b>	-8.6	4
<b>0030-</b>	-8.6	6
<b>0003592240</b>		
<b>0047-</b>	-8.6	6
<b>0005791698</b>		

ZINC02903658	-8.6	2
ZINC32626895	-8.6	4
ZINC32747753	-8.6	6
0047- 0010301928	-8.6	3
ZINC40545218	-8.6	4
0047- 0044505118	-8.6	4
ZINC24583463	-8.6	3
0047- 0044556988	-8.6	4
ZINC12901107	-8.6	4
0047- 0051273972	-8.6	8
ZINC26106049	-8.6	6
0047- 0005124489	-8.6	4
ZINC20112112	-8.6	5
0047- 0010303017	-8.6	3
0047- 0044557467	-8.6	5
ZINC32901122	-8.6	4
ZINC49276328	-8.5	4
0047- 0044556932	-8.5	3
ZINC03476676	-8.5	5
ZINC78944963	-8.5	3
ZINC45469437	-8.5	5
ZINC25592739	-8.5	5
ZINC30463421	-8.5	4
ZINC02569194	-8.5	3
ZINC00029545	-8.5	4
ZINC30463417	-8.5	4
ZINC32675805	-8.5	3
ZINC30463475	-8.5	4
ZINC32015194	-8.5	4
ZINC00484427	-8.5	4
0047- 0044562343	-8.5	3
0047- 0010306211	-8.5	3
0047- 0001244403	-8.5	4
0047- 0044560739	-8.5	5
ZINC12739961	-8.5	4
0030- 0002577491	-8.5	7

ZINC04834028	-8.5	5
ZINC49277574	-8.5	4
ZINC00299514	-8.5	4
ZINC42703642	-8.5	6
ZINC40161011	-8.5	4
ZINC00121415	-8.5	4
ZINC30463421	-8.5	4
ZINC30463421	-8.4	4
ZINC42703642	-8.4	6
ZINC71872479	-8.4	6
ZINC02100925	-8.4	6
ZINC22756806	-8.4	5
0030- 0003592240	-8.4	6
0047- 0035154645	-8.4	6
ZINC58241325	-8.4	6
0047- 0044561116	-8.4	5
ZINC13012318	-8.4	4
0030- 0002576194	-8.4	6
0047- 0044560191	-8.4	4
ZINC09057922	-8.4	5
ZINC36724775	-8.4	4
ZINC12976304	-8.4	3
ZINC12923530	-8.4	4
0047- 0028600293	-8.4	2
0030- 0002576194	-8.4	6
ZINC37207183	-8.4	3
ZINC03265546	-8.4	4
ZINC32779649	-8.4	4
0047- 0050741823	-8.4	6
0030- 0003591086	-8.4	5
ZINC72680625	-8.4	6
ZINC32796130	-8.4	4
0047- 0005791833	-8.4	7
ZINC02745043	-8.3	4
0047- 0051278663	-8.3	5
ZINC60878209	-8.3	7
0030-	-8.3	6

<b>0002576391</b>		
ZINC78944179	-8.3	7
ZINC37207185	-8.3	3
ZINC41299033	-8.3	3
ZINC19414184	-8.3	5
ZINC00641094	-8.3	8
ZINC71521341	-8.3	0
ZINC71834374	-8.3	4
ZINC49276490	-8.3	3
<b>0047-</b>	-8.3	4
<b>0044506814</b>		
<b>0047-</b>	-8.3	4
<b>0028596535</b>		
<b>0030-</b>	-8.3	6
<b>0002576391</b>		
<b>0047-</b>	-8.3	7
<b>0051274799</b>		
<b>0047-</b>	-8.3	7
<b>0035158428</b>		
ZINC00295801	-8.3	5
ZINC68916707	-8.3	4
ZINC69219461	-8.3	4
ZINC41351045	-8.2	3
<b>0030-</b>	-8.2	5
<b>0001580780</b>		
ZINC82293365	-8.2	4
ZINC70243042	-8.2	5
ZINC32736293	-8.2	4
ZINC48355677	-8.2	3
ZINC23388218	-8.2	5
ZINC32736099	-8.2	4
<b>0030-</b>	-8.2	5
<b>0003590879</b>		
ZINC58162919	-8.2	6
<b>0047-</b>	-8.2	3
<b>0005795878</b>		
ZINC17055495	-8.2	4
ZINC01583714	-8.2	2
<b>0047-</b>	-8.2	7
<b>0035158807</b>		
<b>0047-</b>	-8.2	5
<b>0044557243</b>		
ZINC00086680	-8.2	5
<b>0047-</b>	-8.2	6
<b>0044556781</b>		
ZINC70243040	-8.2	5
<b>0047-</b>	-8.2	5
<b>0035153940</b>		

ZINC19834566	-8.2	6
0047-	-8.2	0
0008428138		
ZINC04201778	-8.2	4
0047-	-8.2	5
0050742651		
0047-	-8.2	4
0044557012		
0047-	-8.2	3
0050746440		
0047-	-8.2	0
0008428774		
0047-	-8.2	6
0035157875		
ZINC25678772	-8.2	6
0047-	-8.2	4
0005124191		
0047-	-8.1	6
0051274095		
0047-	-8.1	5
0028600260		
0047-	-8.1	6
0051274743		
ZINC36728051	-8.1	4
0047-	-8.1	8
0051278629		
ZINC29259647	-8.1	4
ZINC12948695	-8.1	4
ZINC31531007	-8.1	4
0047-	-8.1	4
0044565056		
0047-	-8.1	0
0008432518		
ZINC17055498	-8.1	4
0030-	-8.1	5
0003590879		
ZINC00121379	-8.1	4
0047-	-8.1	3
0028596479		
0047-	-8.1	4
0028599713		
ZINC02741822	-8.1	4
ZINC13001283	-8.1	4
0047-	-8.1	5
0028597009		
0047-	-8.1	6
0050746406		
ZINC25186473	-8.1	6
ZINC95954966	-8.1	5
0047-	-8.1	3
0001242415		

<b>0030-</b>	-8.1	5
<b>0001580780</b>		
<b>ZINC17172518</b>	-8.1	5
<b>ZINC25181071</b>	-8.1	7
<b>0047-</b>	-8.1	3
<b>0044556262</b>		
<b>ZINC02451327</b>	-8.1	4
<b>ZINC32579482</b>	-8.1	5
<b>0047-</b>	-8.1	5
<b>0028600633</b>		
<b>ZINC21555836</b>	-8.1	5
<b>0047-</b>	-8.1	5
<b>0035154589</b>		
<b>ZINC58241140</b>	-8.1	5
<b>0047-</b>	-8	4
<b>0044555931</b>		
<b>0047-</b>	-8	4
<b>0028604541</b>		
<b>0047-</b>	-8	4
<b>0050742595</b>		
<b>ZINC32747775</b>	-8	5
<b>ZINC00474962</b>	-8	6
<b>ZINC12906506</b>	-8	4
<b>ZINC60866700</b>	-8	5
<b>0047-</b>	-8	6
<b>0028596331</b>		
<b>ZINC19519524</b>	-8	6
<b>0047-</b>	-8	4
<b>0050748010</b>		
<b>0047-</b>	-8	7
<b>0051273743</b>		
<b>0047-</b>	-8	6
<b>0035154669</b>		
<b>ZINC13023021</b>	-8	4
<b>0030-</b>	-8	5
<b>0003591086</b>		
<b>0047-</b>	-8	6
<b>0035153588</b>		
<b>0047-</b>	-8	7
<b>0035155128</b>		
<b>0047-</b>	-8	3
<b>0044556933</b>		
<b>0047-</b>	-8	4
<b>0005127118</b>		
<b>0047-</b>	-8	7
<b>0051278070</b>		
<b>ZINC00485203</b>	-8	3
<b>ZINC45000081</b>	-8	5
<b>0047-</b>	-8	5
<b>0050745858</b>		
<b>0047-</b>	-8	5

<b>0035154590</b>		
0047-	-8	3
<b>0008428830</b>		
0047-	-8	8
<b>0035154436</b>		
<b>ZINC06946103</b>	-8	4
<b>ZINC70243040</b>	-8	5
0047-	-8	3
<b>0028595834</b>		
0047-	-7.9	5
<b>0028596790</b>		
0047-	-7.9	4
<b>0005125913</b>		
<b>ZINC83358529</b>	-7.9	5
<b>ZINC45151066</b>	-7.9	4
<b>ZINC57568270</b>	-7.9	4
<b>ZINC22757156</b>	-7.9	5
<b>ZINC13024090</b>	-7.9	4
<b>ZINC19425186</b>	-7.9	3
<b>ZINC36754862</b>	-7.9	4
0047-	-7.9	8
<b>0051279009</b>		
0047-	-7.9	6
<b>0035162768</b>		
<b>ZINC12905463</b>	-7.9	3
<b>ZINC02472239</b>	-7.9	6
0030-	-7.9	5
<b>0000002295</b>		
0047-	-7.9	5
<b>0035153919</b>		
<b>ZINC95954967</b>	-7.9	5
0047-	-7.9	6
<b>0051274744</b>		
0047-	-7.9	5
<b>0050741594</b>		
<b>ZINC00296910</b>	-7.9	5
<b>ZINC36775593</b>	-7.9	4
<b>ZINC22004500</b>	-7.9	3
<b>ZINC32736141</b>	-7.9	5
<b>ZINC32747764</b>	-7.9	3
0047-	-7.9	4
<b>0050741946</b>		
<b>ZINC02676385</b>	-7.9	5
<b>ZINC07845567</b>	-7.9	4
<b>ZINC13015309</b>	-7.9	4
0047-	-7.9	8
<b>0051275290</b>		
<b>ZINC32896146</b>	-7.8	4
0047-	-7.8	4

<b>0008432852</b>		
ZINC19519257	-7.8	5
<b>0047-</b>	-7.8	4
<b>0008432485</b>		
<b>0030-</b>	-7.8	6
<b>0002443247</b>		
<b>0047-</b>	-7.8	0
<b>0011727889</b>		
ZINC20193372	-7.8	4
<b>ZINC12911197</b>	-7.8	4
ZINC17127832	-7.8	4
<b>ZINC32736140</b>	-7.8	4
<b>0047-</b>	-7.8	7
<b>0050742444</b>		
ZINC54158128	-7.8	4
<b>ZINC32896146</b>	-7.8	4
<b>0047-</b>	-7.8	9
<b>0051274592</b>		
ZINC54158154	-7.8	4
<b>0047-</b>	-7.8	4
<b>0008429297</b>		
<b>0047-</b>	-7.8	6
<b>0050746783</b>		
<b>0047-</b>	-7.8	7
<b>0051274823</b>		
<b>0047-</b>	-7.8	3
<b>0001242103</b>		
ZINC32896147	-7.8	4
<b>ZINC54158128</b>	-7.8	4
<b>0047-</b>	-7.8	5
<b>0005792150</b>		
<b>0047-</b>	-7.8	0
<b>0000392171</b>		
ZINC54158154	-7.8	4
<b>ZINC00029544</b>	-7.8	6
<b>ZINC19429330</b>	-7.8	6
<b>0047-</b>	-7.8	0
<b>0008428775</b>		
<b>CHEBI_71431</b>	-7.7	5
<b>ZINC41727156</b>	-7.7	5
<b>0047-</b>	-7.7	3
<b>0001245070</b>		
<b>0047-</b>	-7.7	6
<b>0005792617</b>		
<b>0047-</b>	-7.7	5
<b>0050742675</b>		
<b>0047-</b>	-7.7	6
<b>0050743132</b>		
<b>0047-</b>	-7.7	0
<b>0008428543</b>		

ZINC19429728	-7.7	7
ZINC17322391	-7.7	6
ZINC00476363	-7.7	4
ZINC41214665	-7.7	4
ZINC58241521	-7.7	5
0047- 0051275057	-7.7	8
0047- 0035154345	-7.7	5
0047- 0008431946	-7.7	3
0047- 0028596480	-7.7	3
ZINC03085988	-7.7	5
0030- 0022734343	-7.7	6
0047- 0035154900	-7.7	7
0047- 0008428628	-7.7	5
ZINC08731208	-7.7	6
ZINC22004538	-7.7	3
0047- 0008434050	-7.7	2
0047- 0050742906	-7.7	6
0047- 0051274074	-7.7	6
ZINC00035756	-7.7	4
ZINC05456514	-7.7	4
ZINC58241358	-7.6	5
0047- 0035153580	-7.6	6
0047- 0050742596	-7.6	4
0047- 0035153589	-7.6	4
0047- 0008436705	-7.6	3
ZINC25333049	-7.6	4
0047- 0005791948	-7.6	7
ZINC19426126	-7.6	7
0047- 0028595482	-7.6	4
0047- 0044555855	-7.6	3
0047- 0008427786	-7.6	3
ZINC14232487	-7.6	3
0047-	-7.6	7

<b>0051273735</b>		
<b>0047-</b>	-7.6	3
<b>0044556690</b>		
<b>ZINC19782692</b>	-7.6	4
<b>ZINC23081550</b>	-7.6	4
<b>0047-</b>	-7.6	4
<b>0028596559</b>		
<b>0047-</b>	-7.6	0
<b>0000391584</b>		
<b>0030-</b>	-7.6	4
<b>0000001116</b>		
<b>0047-</b>	-7.6	0
<b>0008427710</b>		
<b>ZINC01563276</b>	-7.6	5
<b>0047-</b>	-7.6	6
<b>0051274501</b>		
<b>0047-</b>	-7.6	3
<b>0028595814</b>		
<b>ZINC14230325</b>	-7.6	7
<b>0047-</b>	-7.5	0
<b>0008428118</b>		
<b>0047-</b>	-7.5	4
<b>0008429082</b>		
<b>ZINC19483407</b>	-7.5	6
<b>ZINC01565275</b>	-7.5	5
<b>0047-</b>	-7.5	4
<b>0044555923</b>		
<b>0047-</b>	-7.5	5
<b>0005800104</b>		
<b>0047-</b>	-7.5	0
<b>0011727890</b>		
<b>ZINC19429576</b>	-7.5	7
<b>0047-</b>	-7.5	3
<b>0001243868</b>		
<b>ZINC39233485</b>	-7.5	4
<b>0047-</b>	-7.5	0
<b>0009878253</b>		
<b>ZINC58241345</b>	-7.5	6
<b>ZINC12818425</b>	-7.5	5
<b>ZINC11895733</b>	-7.5	5
<b>0047-</b>	-7.5	7
<b>0051283001</b>		
<b>ZINC95942138</b>	-7.5	5
<b>0047-</b>	-7.5	0
<b>0011727302</b>		
<b>ZINC57563050</b>	-7.5	4
<b>0047-</b>	-7.5	4
<b>0050741925</b>		
<b>0047-</b>	-7.5	5
<b>0035153512</b>		
<b>0047-</b>	-7.5	4

<b>0005792094</b>		
ZINC16639735	-7.5	4
<b>0047-</b>	-7.5	0
<b>0009878235</b>		
<b>0047-</b>	-7.5	5
<b>0005795300</b>		
<b>0047-</b>	-7.5	6
<b>0005795845</b>		
<b>0047-</b>	-7.4	5
<b>0051273744</b>		
ZINC00035755	-7.4	4
<b>0047-</b>	-7.4	0
<b>0000392172</b>		
<b>0047-</b>	-7.4	4
<b>0035154237</b>		
ZINC01956154	-7.4	3
<b>0047-</b>	-7.4	6
<b>0005796216</b>		
ZINC71789530	-7.4	5
<b>0047-</b>	-7.4	4
<b>0028595474</b>		
<b>0047-</b>	-7.4	4
<b>0005791455</b>		
<b>0047-</b>	-7.4	5
<b>0050750723</b>		
ZINC28920179	-7.4	5
<b>0047-</b>	-7.4	6
<b>0051273667</b>		
ZINC02513819	-7.4	3
<b>0047-</b>	-7.4	5
<b>0050741586</b>		
<b>0047-</b>	-7.4	5
<b>0005791101</b>		
<b>0047-</b>	-7.3	3
<b>0028596240</b>		
ZINC19479595	-7.3	5
ZINC32772182	-7.3	5
ZINC12847193	-7.3	4
<b>0047-</b>	-7.3	3
<b>0008428854</b>		
ZINC54158106	-7.3	4
ZINC39594528	-7.3	3
<b>0047-</b>	-7.3	6
<b>0005792401</b>		
<b>0047-</b>	-7.3	0
<b>0000391566</b>		
ZINC58241362	-7.3	5
<b>0047-</b>	-7.2	4
<b>0050742353</b>		
ZINC54158106	-7.2	4
<b>0047-</b>	-7.2	0

<b>0009878840</b>		
ZINC19836934	-7.2	4
<b>0047-</b>	-7.2	3
<b>0009881815</b>		
<b>0030-</b>	-7.2	4
<b>0000000900</b>		
ZINC19274975	-7.2	5
ZINC47268271	-7.2	5
ZINC03166273	-7.2	4
<b>0047-</b>	-7.2	5
<b>0005792174</b>		
<b>0047-</b>	-7.2	3
<b>0028595404</b>		
<b>0047-</b>	-7.2	5
<b>0051274392</b>		
<b>0047-</b>	-7.2	3
<b>0009877925</b>		
ZINC05645317	-7.2	5
ZINC19517789	-7.1	4
<b>0047-</b>	-7.1	4
<b>0005791435</b>		
<b>0047-</b>	-7.1	4
<b>0050741518</b>		
ZINC19780526	-7.1	4
ZINC54158104	-7.1	4
ZINC54158103	-7.1	4
<b>0047-</b>	-7.1	3
<b>0000391256</b>		
<b>0047-</b>	-7.1	3
<b>0000395147</b>		
ZINC06734612	-7.1	5
<b>0047-</b>	-7.1	0
<b>0011727284</b>		
<b>0047-</b>	-7.1	4
<b>0005792095</b>		
<b>0047-</b>	-7.1	3
<b>0011730866</b>		
<b>0047-</b>	-7	3
<b>0008427778</b>		
<b>0047-</b>	-7	5
<b>0005791093</b>		
<b>0030-</b>	-7	4
<b>0000057173</b>		
ZINC36746229	-7	5
<b>0047-</b>	-7	0
<b>0009878841</b>		
ZINC03101750	-7	4
<b>0047-</b>	-6.9	3
<b>0011726974</b>		
<b>0030-</b>	-6.9	4
<b>0000001989</b>		

<b>ZINC05283500</b>	-6.9	4
<b>ZINC34111215</b>	-6.9	3
<b>ZINC12138063</b>	-6.8	5
<b>0047-</b>	-6.8	4
<b>0005791859</b>		
<b>ZINC95917793</b>	-6.8	5
<b>ZINC36984748</b>	-6.8	4
<b>0047-</b>	-6.8	4
<b>0005791022</b>		
<b>ZINC01762230</b>	-6.7	4
<b>0047-</b>	-6.7	3
<b>0000392248</b>		
<b>0047-</b>	-6.6	3
<b>0011727966</b>		
<b>0047-</b>	-6.6	3
<b>0009878917</b>		
<b>0047-</b>	-6.5	0
<b>0035162360</b>		